

# **Elektrochemická analýza NK a jejich složek**

## **METODY ELEKTROCHEMICKÉ ANALÝZY**

- POLAROGRAFIE
- VOLTAMETRIE
- PULZNÍ METODY
- CHRONOPOTECIOMETRIE
- ROZPOUŠTĚCÍ VOLTAMETRIE

## **NUKLEOVÉ KYSELINY**

### a) KVANTITATIVNÍ ANALÝZA

přímá detekce

nepřímá

značky – OsO<sub>4</sub>, echinomycin, ferocen

borátové struktury

depurinace

### b) STRUKTURNÍ ANALÝZA

– rozvíjení na elektrodě

– detekce hybridizace

## **BÁZE NUKLEOVÝCH KYSELIN**

Báze NK -rozpuštěcí voltametrije

Stanovení bází NK v přítomnosti Cu(II)

# LABORATOŘ BIOFYZIKÁLNÍ CHEMIE A MOLEKULÁRNÍ ONKOLOGIE

Zabývá se :

1. elektrochemií nukleových kyselin a bílkovin
2. elektrochemickými biosensory DNA
3. novými mikrometodami pro analýzu bílkovin
4. tumor-supresorovými bílkovinami: jejich interakcemi in vitro a v buňkách

## P53: kontrola nádorového bujení

Gen p53 hraje důležitou úlohu při kontrole buněčného cyklu: při poškození buněčné DNA zabrání dělení buňky, dokud nedojde k opravě, nebo ji dovede k apoptóze. Tím také brání dělení malformovaných nádorových buněk a růstu nádoru. Mutace genu p53, která vede ke ztrátě jeho regulační funkce a antionkogenní aktivity, je nacházena u velké části lidských malignit a je považována za nejčastější genetickou poruchu vedoucí ke vzniku nádoru.

**Proteiny (bílkoviny) jsou z aminokyselin** složené vysokomolekulární přírodní látky s relativní molekulární hmotností 103 až 106. Proteiny jsou podstatou všech živých organismů. V proteinech jsou aminokyseliny vzájemně vázány aminoskupinami – NH<sub>2</sub> a karboxylovými skupinami – COOH amidovou vazbou –NH–CO– (amidy), která se v případě proteinů nazývá peptidická vazba. Podle počtu aminokyselin v molekule rozlišujeme oligopeptidy (2–10 aminokyselin), polypeptidy (11–100 a proteiny (více než 100 aminokyselin)).

**Nukleové kyseliny jsou makromolekulární látky** tvořené polymerním řetězcem, který ve své struktuře uchovává genetickou informaci. Nukleové kyseliny se nalézají ve všech živých buňkách a virech. Nejběžnějšími nukleovými kyselinami jsou kyselina deoxyribonukleová (**DNA**) a kyselina ribonukleová (**RNA**). Polynukleotidový řetězec je z chemického hlediska polymerem nukleotidů. Tyto nukleotidy jak pro DNA, tak i pro RNA jsou vždy složeny ze čtyř druhů a jejich různým pořadím v řetězci lze dosáhnout nezměrného počtu kombinací. Právě sekvence (různý sled) jednotlivých druhů nukleotidů, který se nazývá tzv. primární strukturou, v sobě uchovává genetickou informaci.

Nukleotidy RNA obsahují a jsou zde kombinovány tyto čtyři báze: Cytosin (**C**), guanin (**G**), adenin (**A**) a uracil (**U**). Nukleotidy DNA obsahují a v DNA jsou kombinovány tyto čtyři báze: Cytosin (**C**), guanin (**G**), adenin (**A**) a tymin (**T**).

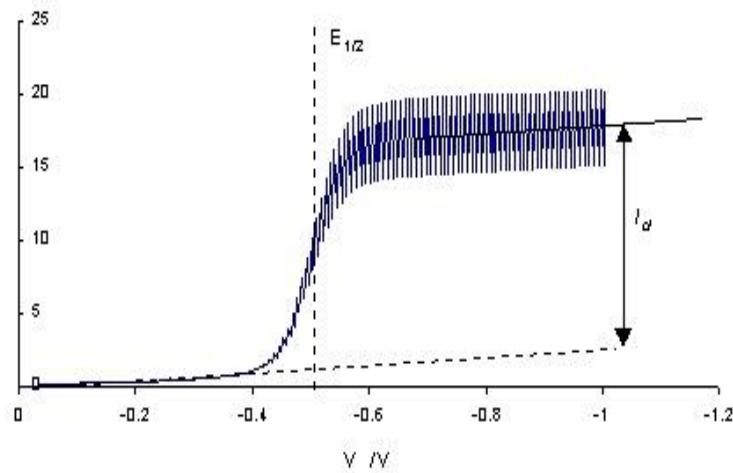
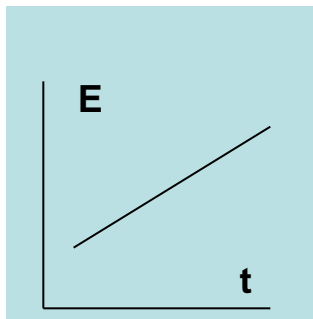
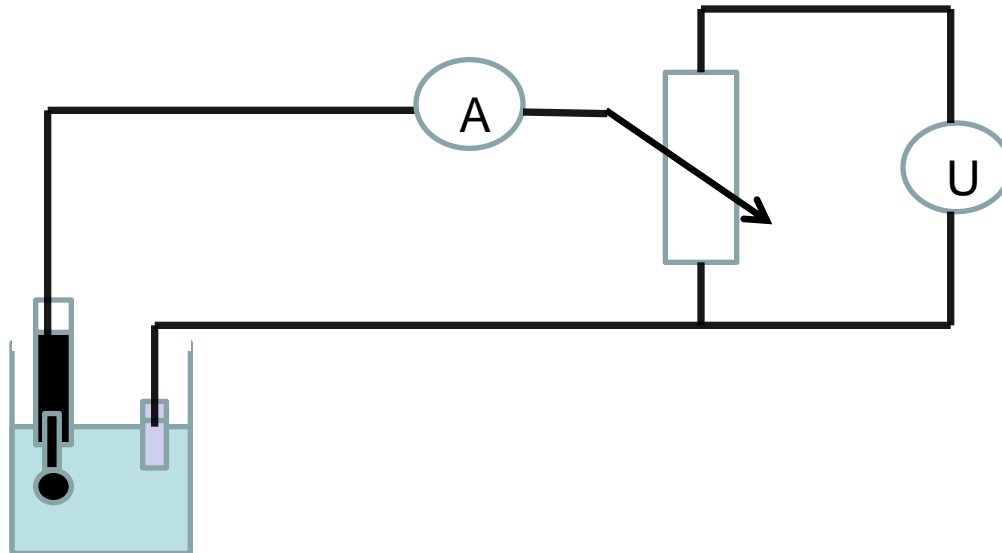
**Vedoucí laboratoře:**  
**Doc. RNDr. Miroslav Fojta, PhD**

# POLAROGRAFIE

METODY

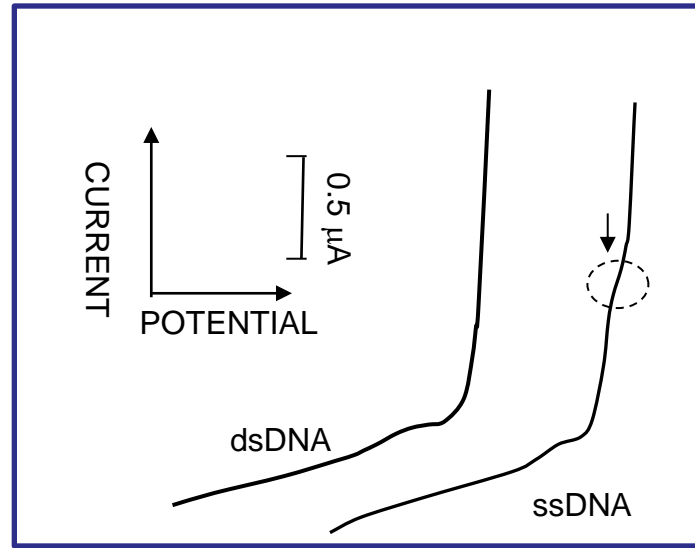
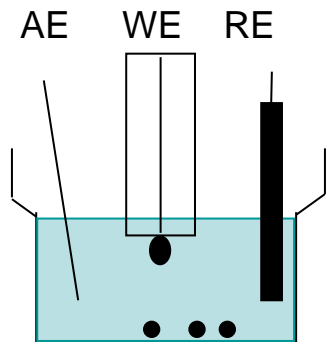
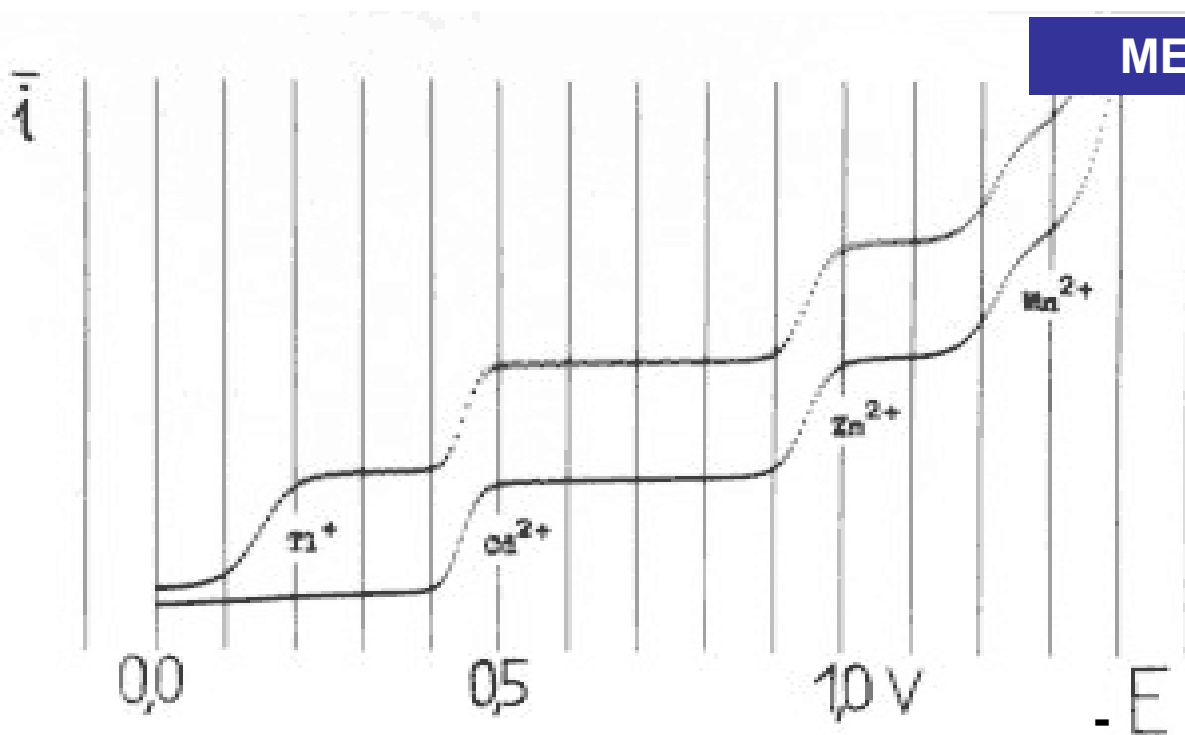
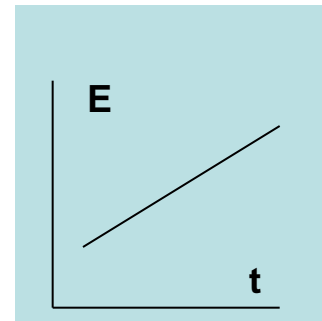


1890-1967



## d.c. polarografie

## METODY

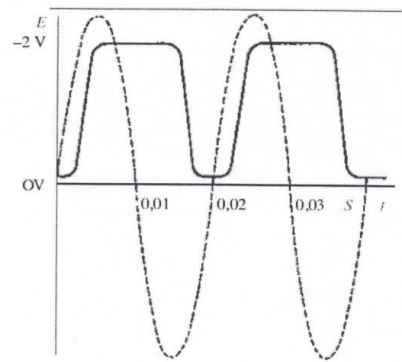


$$i_d = 708nD^{1/2}m^{2/3}t^{1/6}c$$

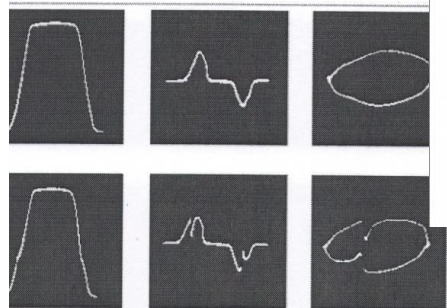
ILKOVIČOVA ROVNICE

# OSCILOPOLAROGRAFIE

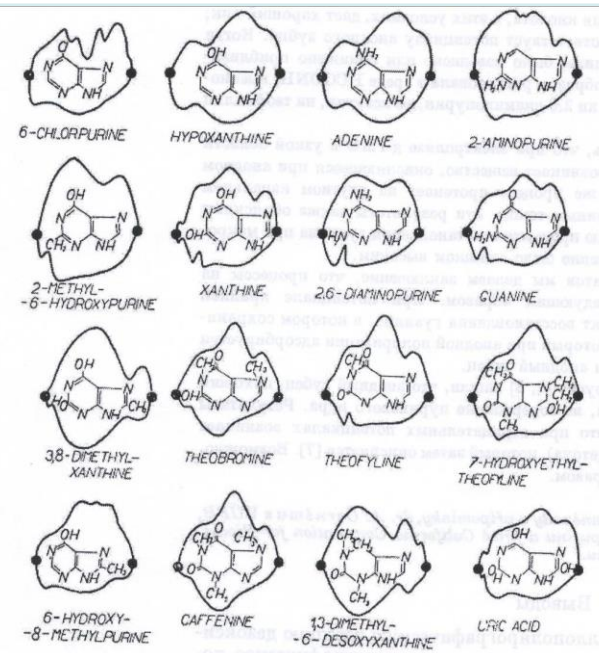
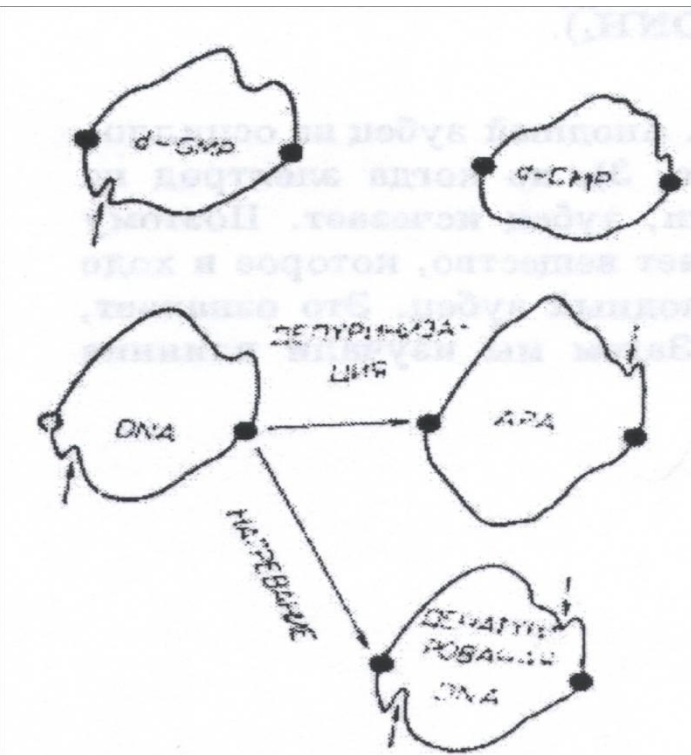
METODY



r. 1. Schematické naznačení vzniku křivky  $E = f(t)$  při polarizaci elektrody střídavým průběhem (průběh střídavého proudu kované)<sup>8</sup>

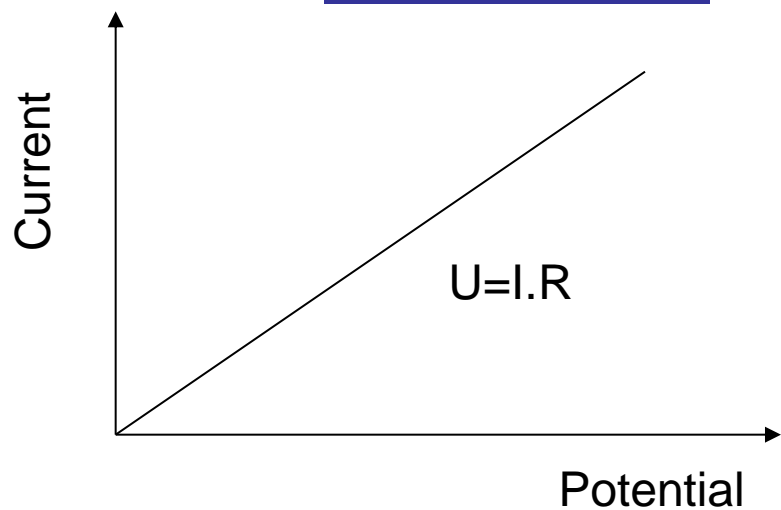
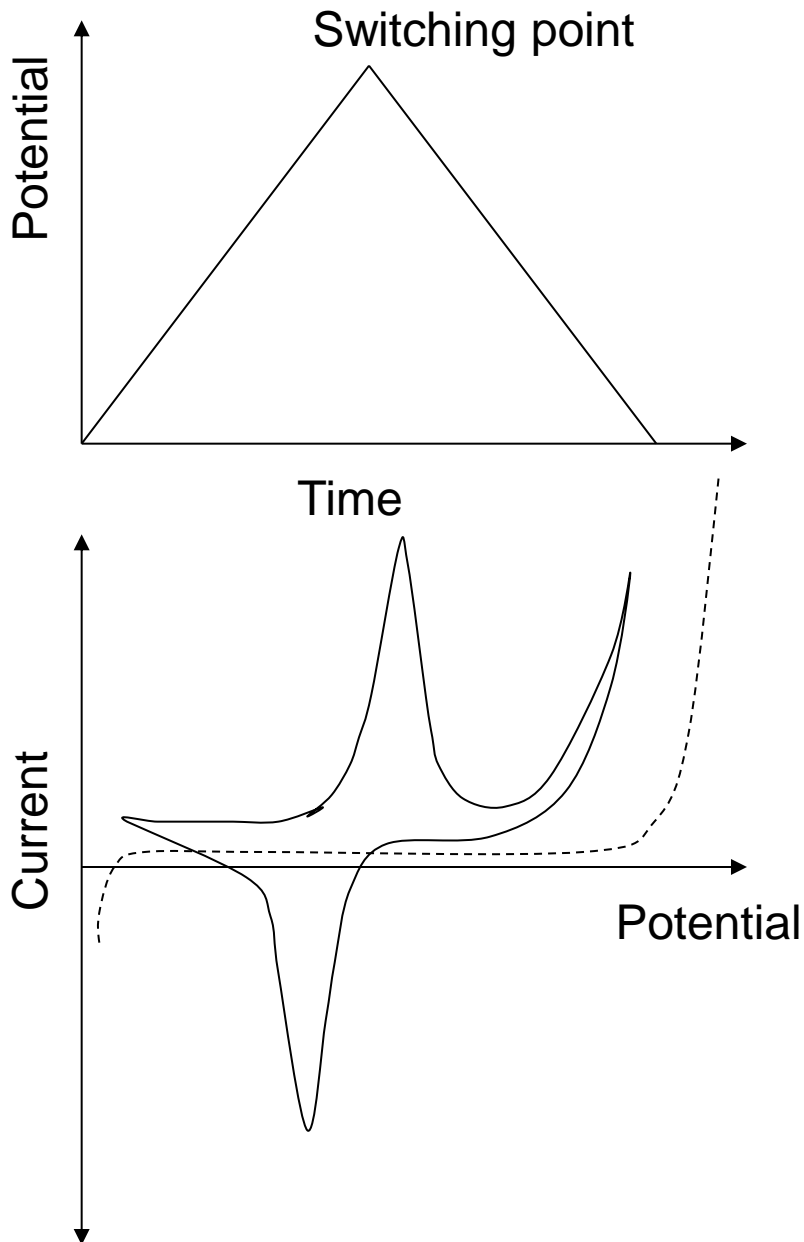


r. 2. Oscilogramy funkcí  $E = f(t)$ ,  $dE/dt = f(t)$  a  $dE/dt = f(E)$ :  
oře křivky 1 M-KOH, dole křivky 1 M-KOH s  $10^{-3}$  M-PbO<sub>2</sub><sup>2-</sup> (cit.)<sup>8</sup>

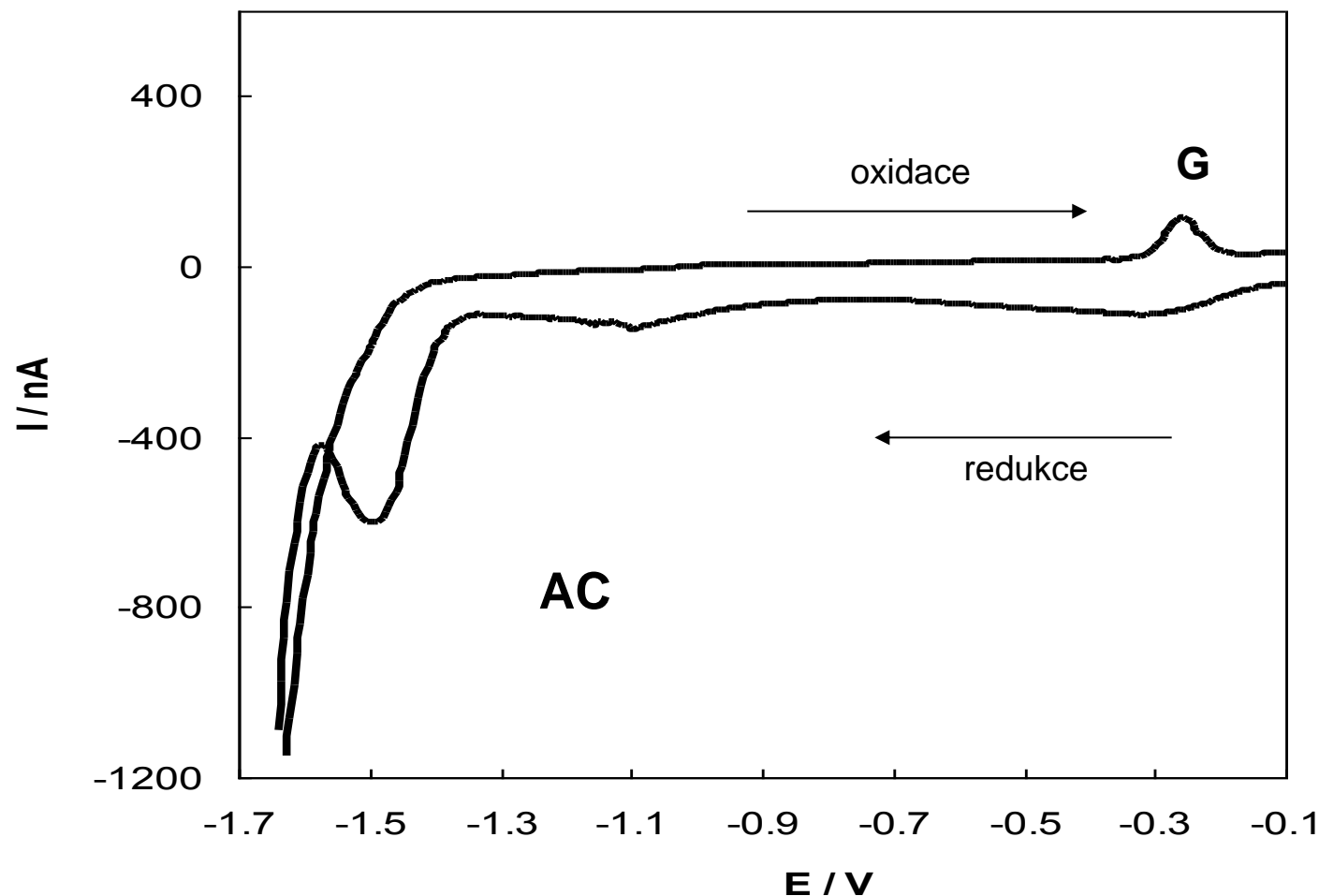


# CYKlická VOLTAMMETRIE

## METODY



## REDUKČNÍ SIGNÁLY DNA



# VOLTAMETRICKÉ METODY

## 60 – 90 léta

Moderní voltametrické metody

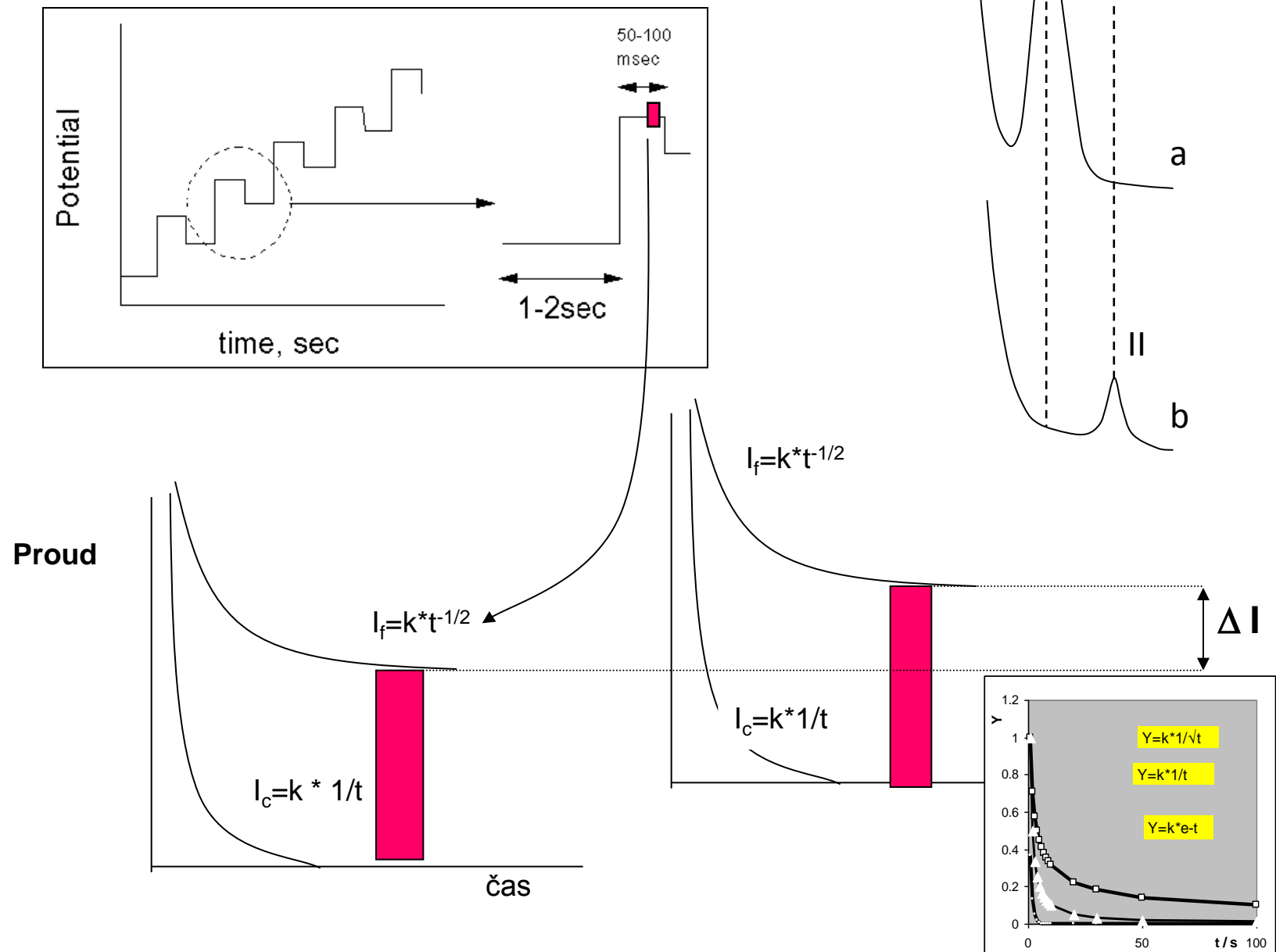
- pulzní metody = difereční pulzní voltamtrie  
= square wave voltamtrie
- chronopotenciometrické metody

Použití HMDE (hanging mercury drop electrode)

Rozpouštěcí (stripping) voltamtrie

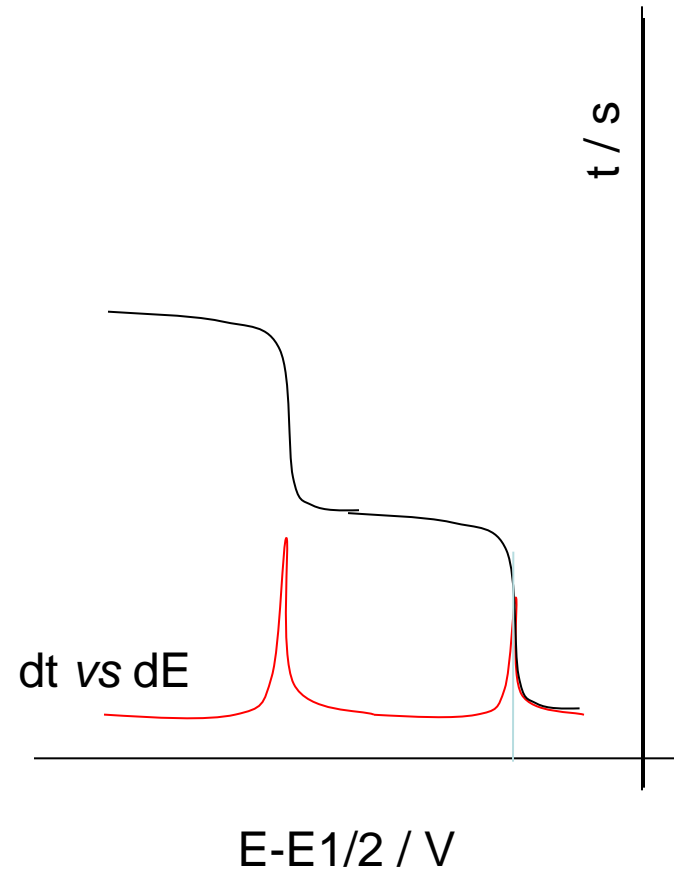
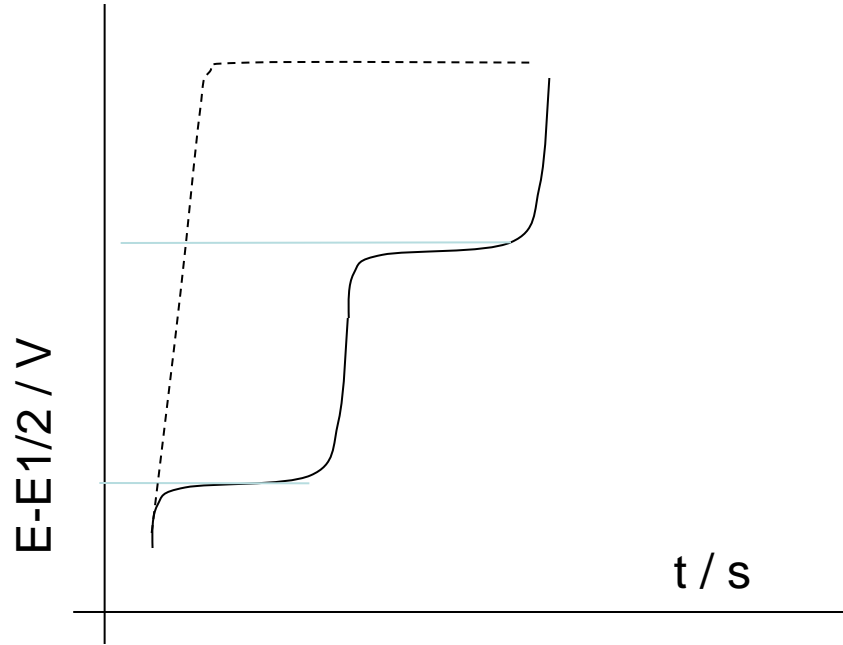
Přenosová voltamtrie

# DIFFERENČNÍ (DERIVAČNÍ) PULZNÍ VOLTAMMETRIE

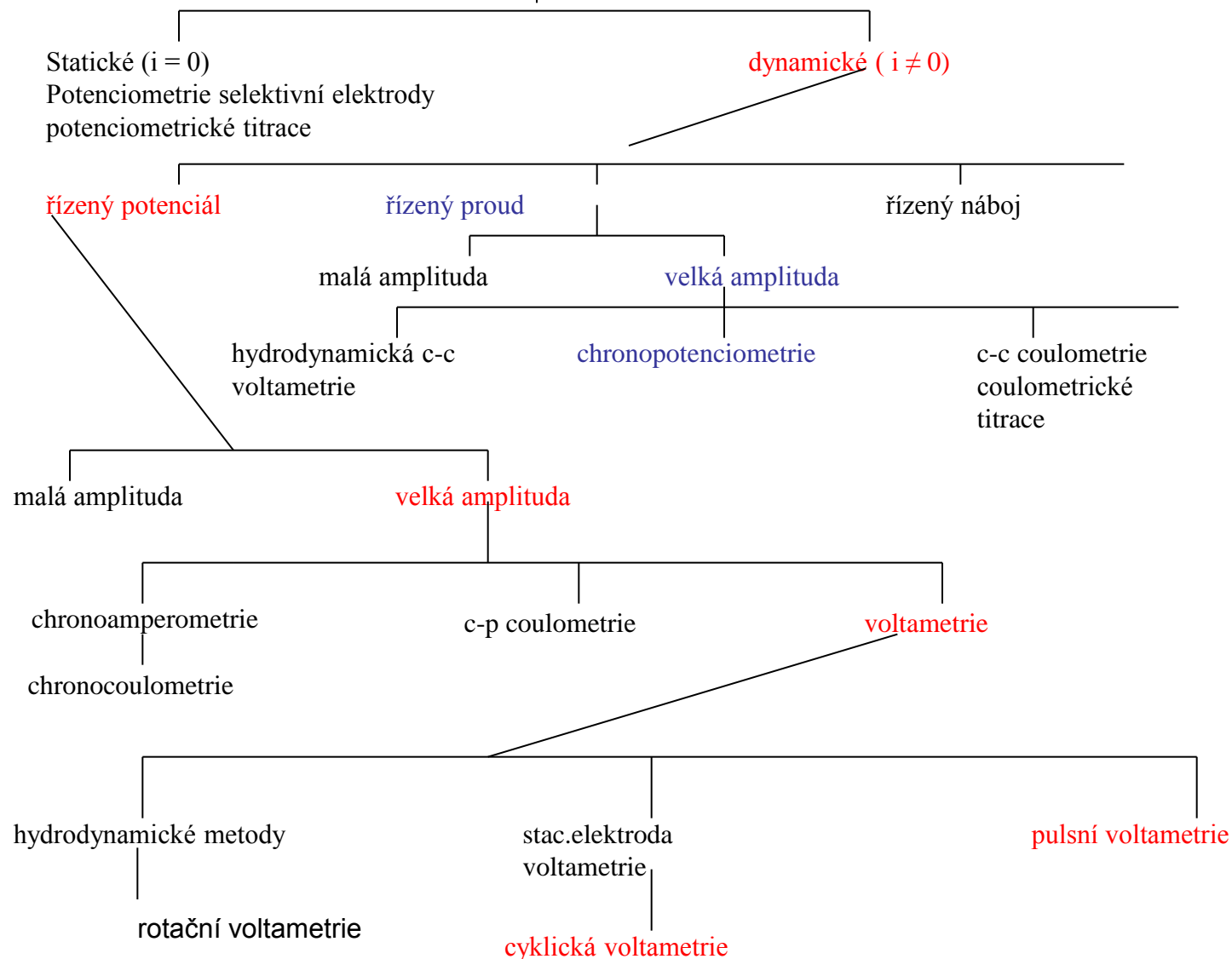


## CHRONOPOTENCIOMETRIE

$i = \text{konst.}$



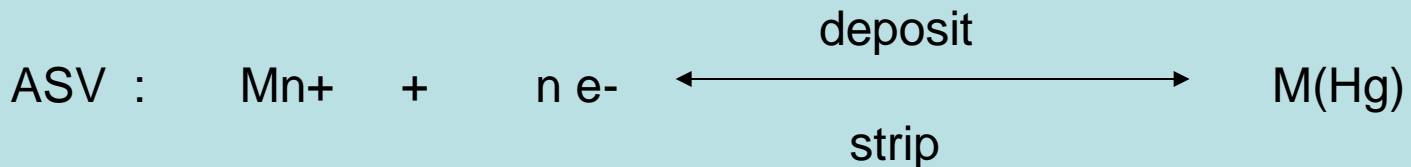
# VYBRANÉ ELEKTROANALYTICKÉ METODY



## ROZPOUŠTĚCÍ VOLTAMETRIE

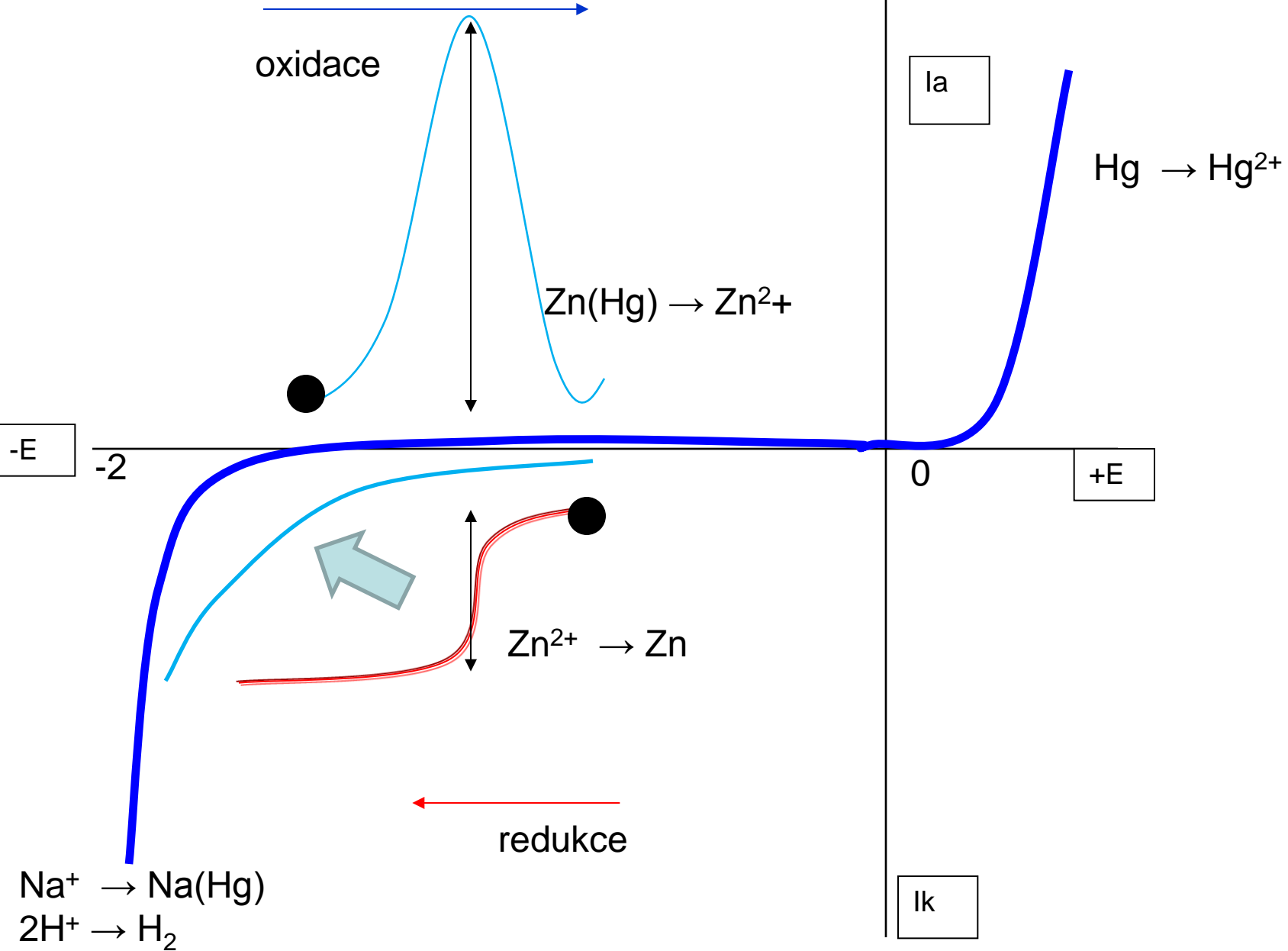
Rozpouštěcí voltametrie je elektrochemická metoda, která se s úspěchem používá tehdy, když koncentrace látky je velmi nízká a nelze ji standardním postupem stanovit. Podmínkou je, aby stanovovaná látka tvořila s elektrodou amalgamu, nebo na druhé straně špatně rozpustnou sůl. V prvním případě hovoříme o anodické rozpouštěcí voltametrii - ASV, ve druhé o katodické rozpouštěcí voltametrii - CSV.

V obou případech stanovovanou látku nahromadíme elektrochemicky na elektrodě buď ve formě amalgamy nebo ve formě sraženiny (špatně rozpustné soli) a posléze tyto formy elektrochemicky zrušíme, tím, že obrátíme směr polarizace. V obou případech začínáme měřit za půlvlnovým potenciálech reakce a platí následující rovnice:



Hg elektroda

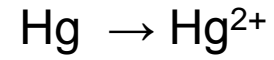
## ANODIC STRIPPING VOLTAMMETRY



# Hg elektroda

oxidace

I<sub>a</sub>

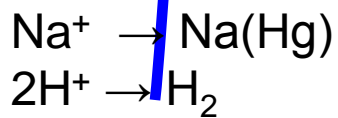


-E

-2

0

+E



redukce

I<sub>k</sub>

CATHODIC STRIPPING VOLTAMMETRY

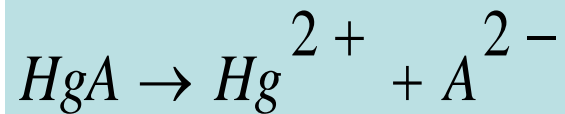


## KATODICKÁ ROZPOUŠTĚCÍ VOLTAMETRIE

Citlivost metody se mění s množtvím látky vyloučené za jednotku času na elektrodě. Jak je to s polohou signálu, tj. s potenciálem píku.

Je dán rovnicí

$$E_p = E_{0,Hg^{2+}/Hg} + (RT/2F) \ln [Hg^{2+}]$$



Asoc. konstanta  $K_1 = [HA^-]/[H^+][A^{2-}]$   
Produkt rozpustnosti  $K_s = [Hg^{2+}][A^{2-}]$

Po úpravách dostaneme

$$E_p = E_{0,Hg^{2+}/Hg} + 0.030(\log K_s + \log K_1 + pH + \log [HA^-])$$

Z rovnice vyplývá,

poloha bude negativnější - s rostoucím pH

s rostoucí koncentrací aniontu

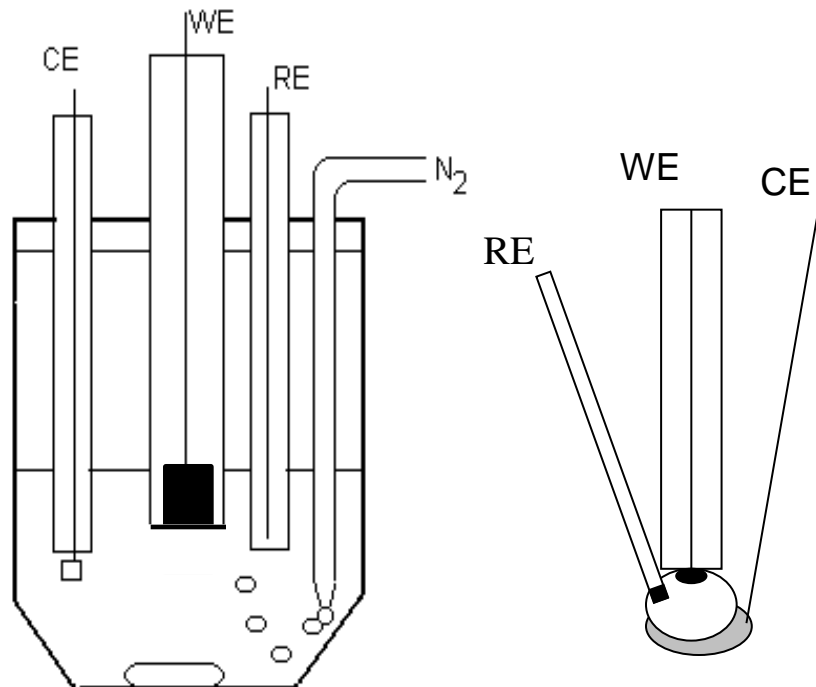
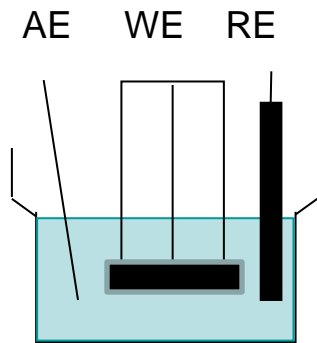
s klesající rozpustností sloučeniny

poloha bude pozitivnější - s vyšší hodnotou asoc. konstanty

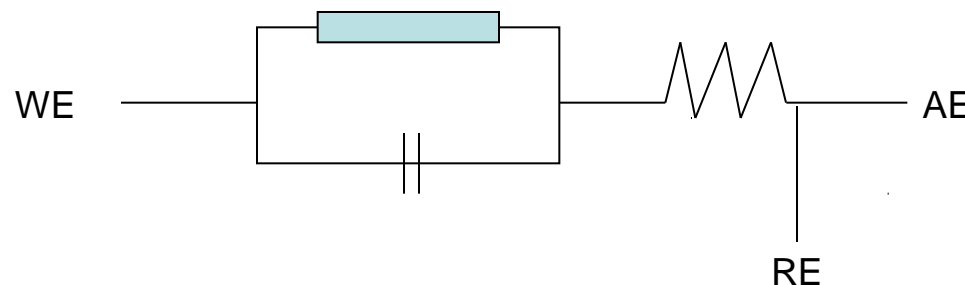
# Elektrochemický měřící systém

Elektrodový systém - pracovní elektroda WE  
- referenční elektroda R  
- pomocná elektroda Al

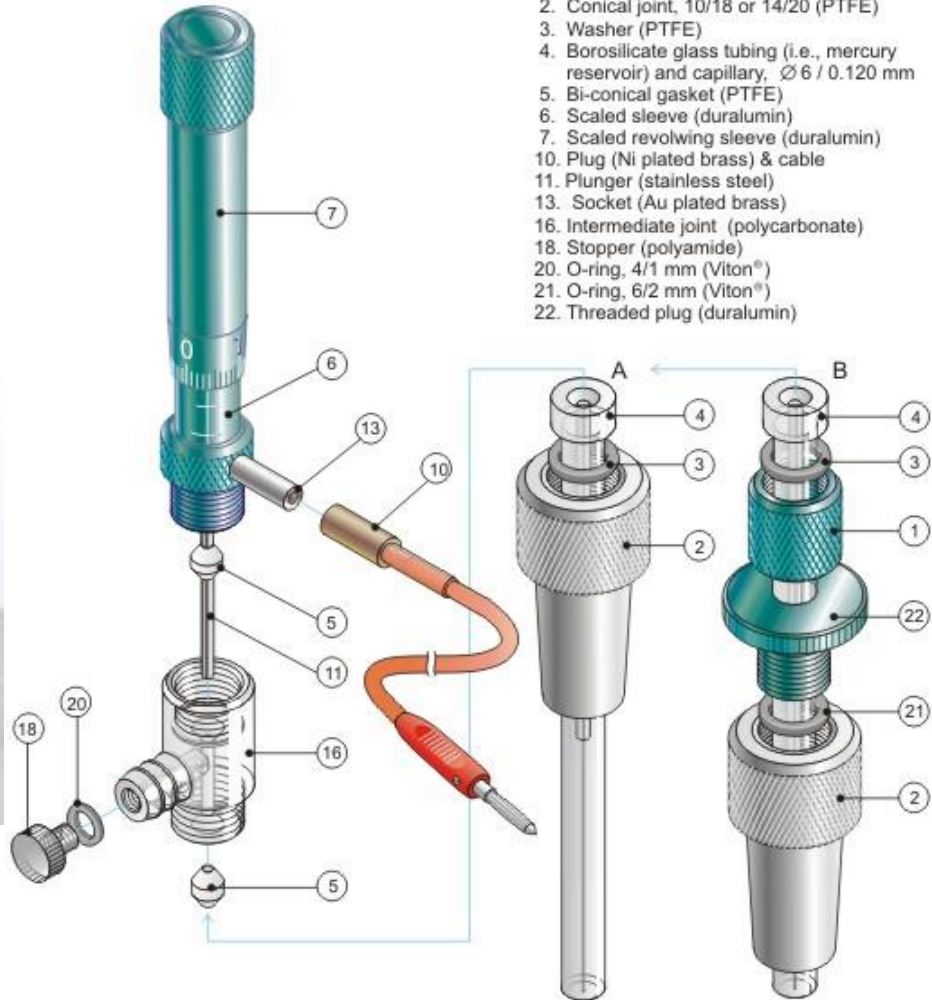
Elektrochemická nádobka



Náhradní elektrodové schéma



# HMDE



- † Expanded view of the hanging mercury drop electrode HMDE WK 2
1. Nut, 11x1 (duralumin)
  2. Conical joint, 10/18 or 14/20 (PTFE)
  3. Washer (PTFE)
  4. Borosilicate glass tubing (i.e., mercury reservoir) and capillary, Ø 6 / 0.120 mm
  5. Bi-conical gasket (PTFE)
  6. Scaled sleeve (duralumin)
  7. Scaled revolving sleeve (duralumin)
  10. Plug (Ni plated brass) & cable
  11. Plunger (stainless steel)
  13. Socket (Au plated brass)
  16. Intermediate joint (polycarbonate)
  18. Stopper (polyamide)
  20. O-ring, 4/1 mm (Viton®)
  21. O-ring, 6/2 mm (Viton®)
  22. Threaded plug (duralumin)

# ELEKTRODY

## 1. ELEKTRODY V KONTAKTU S ROZTOKEM VLASTNÍCH IONTŮ

Dva případy



$$E = E^0 + \frac{RT}{F} \ln a_{M^{n+}}$$

(Nernstova rovnice)



$$E = E^0 + \frac{RT}{F} \ln \frac{p_{H_2}^{1/2}}{a_{H^+}}$$

## 2. KOVOVÉ ELEKTRODY v kontaktu aniontů, které tvoří špatně rozpustné soli



$$E = E^0 - \frac{RT}{F} \ln a_{Cl^-}$$

## 3. REDOXNÍ (INERTNÍ) ELEKTRODY

donor nebo akceptor elektronů, např. Hg, Au, Pt, carbonové el., oxidy polovodičů, atd.

## 4. MODIFIKOVANÉ ELEKTRODY

např. enzymové, přenos elektronů je zprostředkován

# REDOXNÍ ELEKTRODY

ELEKTRODY

Materiál pracovních elektrod pro voltametrii

Výběr materiálu elektrody závisí na

- potenciálové oblasti, ve které bychom měli měřit
- na použitém rozpouštědle
- kvalitě a čistotě materiálu.

Výběr potenciálové oblasti souvisí s:

- rozkladem rozpouštědla
- rozkladem základního elektrolytu
- rozpouštěním elektrody

## Rtut':

**Výhody:**

**Velmi vysoké záporné vodíkové přepětí**

**(měření k negativnějším potenciálům než ostatní elektrody)**

**Reprodukčnost měření**

**Hladkost povrchu**

**Nevýhody:**

**Patří mezi jedy**

**Vliv na životní prostředí**

# Uhlík

Uhlík existuje v různých vodivých formách. Elektrochemické reakce jsou pomalejší ve srovnání s kovovými, kinetika přenosu náboje je závislá na struktuře povrchu a jeho úpravě

Různé typy elektrod:

glassy carbon (příprava: karbonizace fenol-formaldehydových polymerů při 1000-3000 °C a vysokém tlaku, amorfní charakter, není vždy homogenní)

uhlíková vlákna (2-20 mm)

uhlíková čerň

různé formy grafitu

- např. pastová elektroda

- pyrolytický grafit (PG nebo HOPG, anisotropní vlastnosti, edge and basal plane)

# UHLÍKOVÉ PASTOVÉ ELEKTRODY (CPE)

-příprava CPE

- směs uhlíkového prášku a minerálního oleje

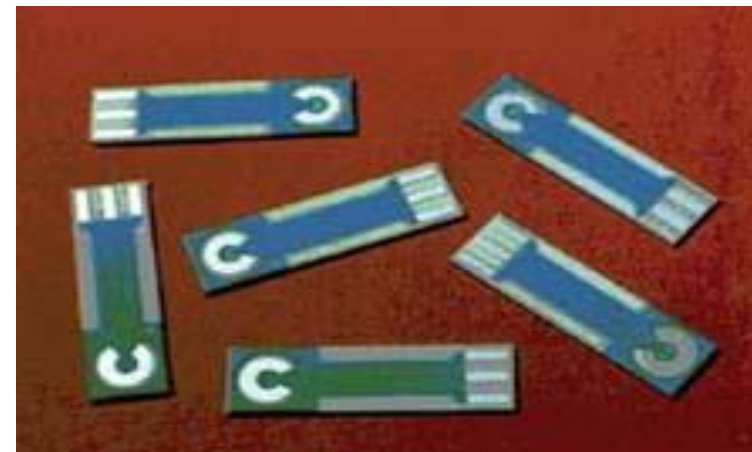
-modifikátory

- chemické sloučeniny a analytické reagenty
- ion-exchangers
- jílové minerály (zeolites)
- matrice obsahující křemík
- substraty z živých organizmů

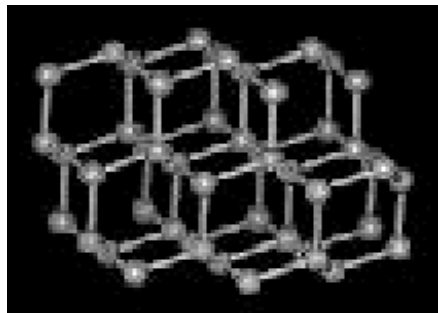
-charakteristiky

- |                      |  |
|----------------------|--|
| - fyzikálně-chemické | <ul style="list-style-type: none"><li>- heterogenita (kompositní charakter)</li><li>- lipofilita (hydrofobicita)</li><li>- nízký ohmický odpor (vysoká vodivost)</li><li>- nestabilita v nevodných prostředích (desintegrace)</li><li>- časové efekty (limitovaná životnost)</li></ul> |
|----------------------|--|

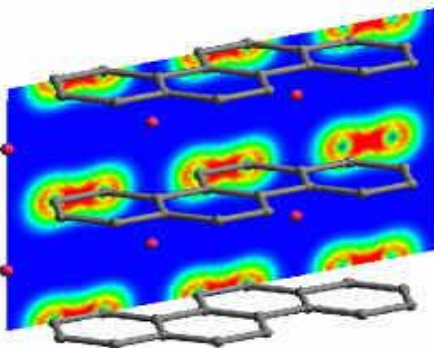
## Screen-printed elektrody



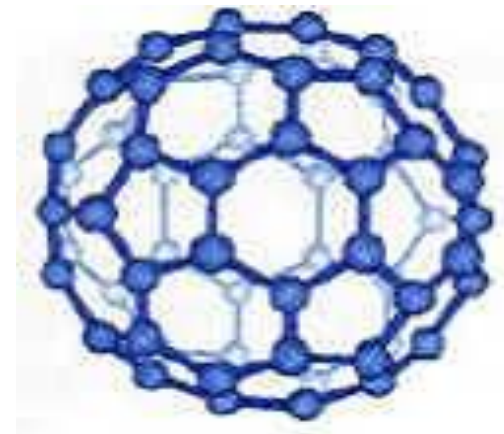
# UHLÍKOVÉ NANOTRUBIČKY



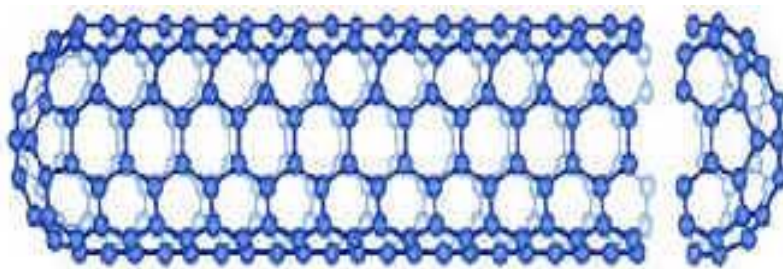
Diamond sp<sub>3</sub>  
bonding, hard  
and insulating



Graphite: sp<sub>2</sub> Bonding  
soft between graphene  
layers

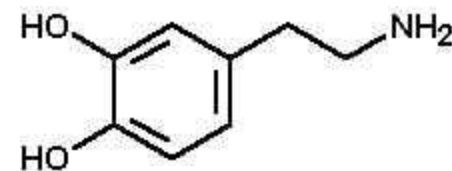
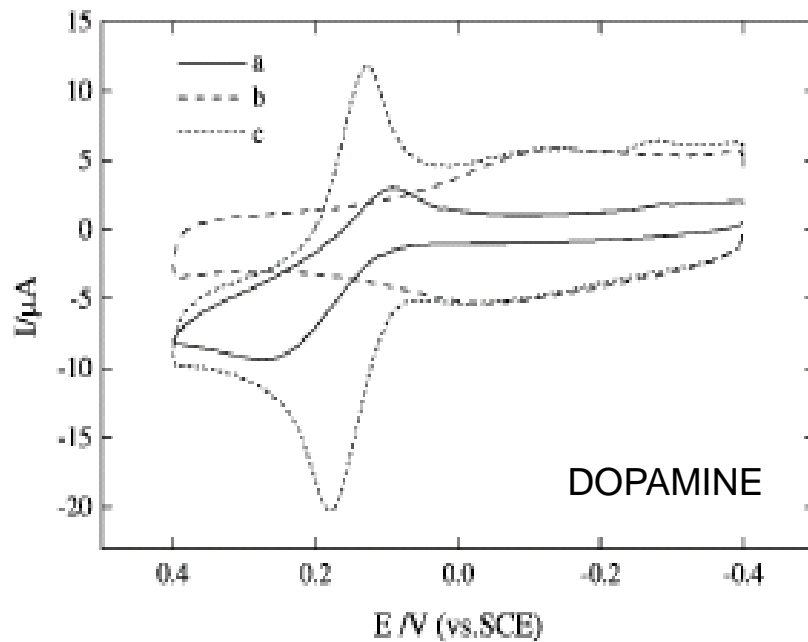


C<sub>60</sub> “bucky-ball”: hollow sphere  
~ $1 \times 10^{-9}$  m (1nm) in diameter



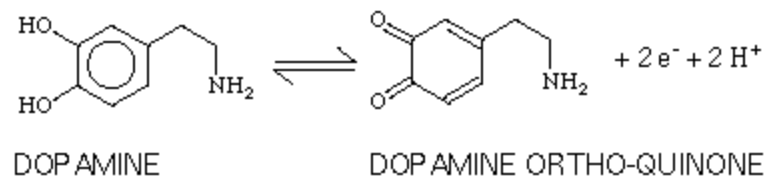
Carbon Nanotube:  
1-50nm in diameter,  
10 - 100  
micrometer long

# SWNT AND BIOMOLECULES



3,4 dihydroxyphenylethylamine

## Electro-Oxidation of Dopamine



## VIZMUTOVÉ ELEKTRODY

Charakteristika - nahrazují rtuťové elektrody

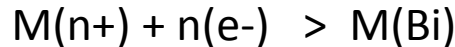
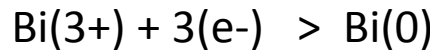
- stripping analýza
- nízkoteplotní amalgámy s mnoha kovy (např. Pb, Cd, Tl, Sb, In, Ga)

Konstrukce – ve většině případů uhlík jako podložka pro bizmutový film

- ve většině případů je to glassy carbon

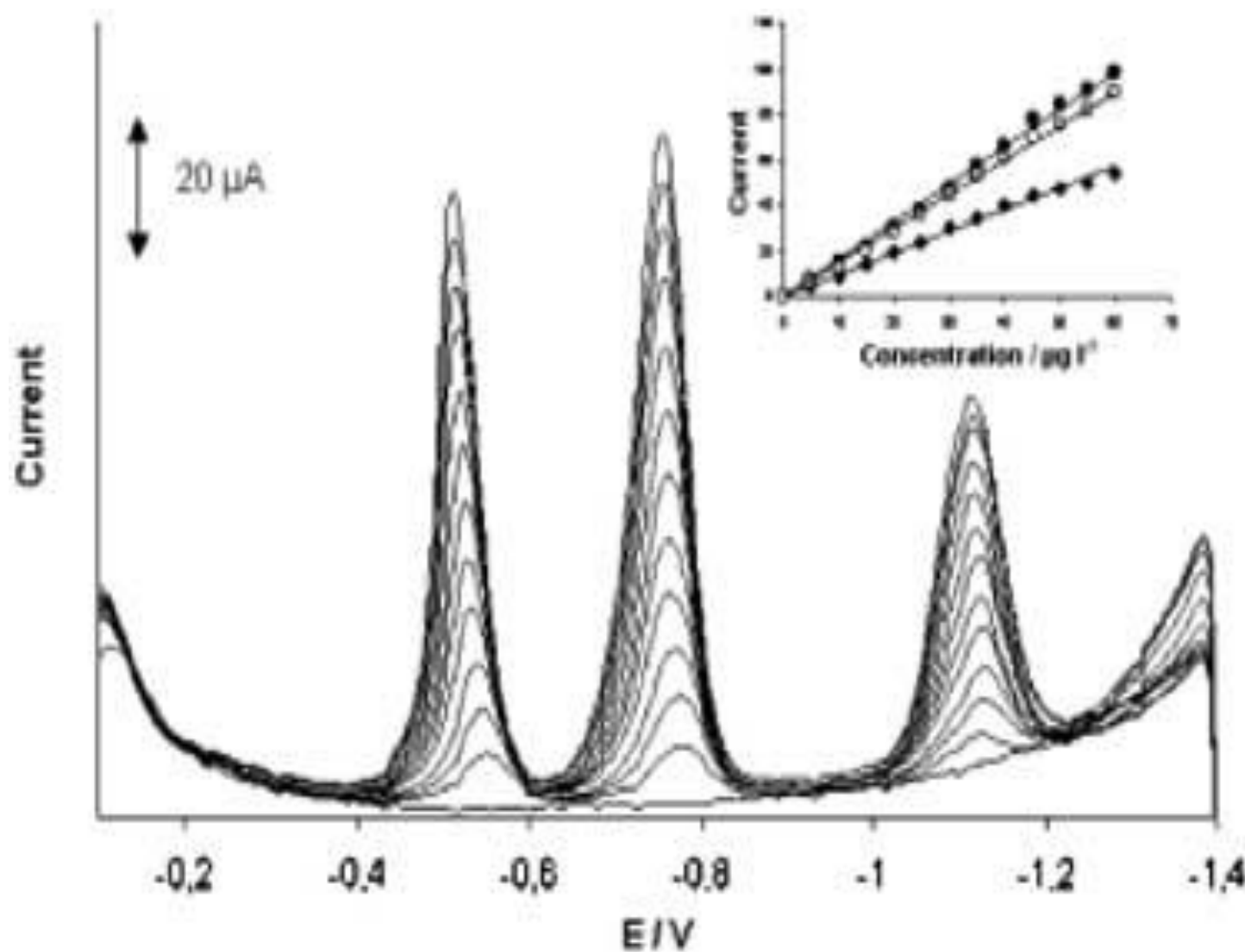
Film – se připravuje ex situ (prepokovování-preplated)

- nebo in situ (přidáním 0.25 – 1.0 ppm vizmutu(III) přímo ke vzorku za současné redukce vizmutu



Uhlíková pastová elektroda + Bi<sub>2</sub>O<sub>3</sub> (preplated nebo mix s pastou)

„Hot“ vizmut elektroda



# DIAMANTOVÉ, BOREM DOPOVANÉ ELEKTRODY - BDD

Charakteristika – jedná se o diamantový film dopovaný borem

- mechanická i chemická stabilita, nízký zbytkový proud a biokompatibilita (měření v živých tkáních)
- široké potenciálové okno, hodnoty kolem 3,5 V
- stanovení organických látek

Při elektrochemickém stanovení organických látek na pevných elektrodách dochází velmi často k ireverzibilní adsorpci reakčních produktů či některých složek vzorku na povrchu elektrody, což má za následek její pasivaci. Na adsorpci polárních látek jsou citlivé téměř všechny sp2 uhlíkové elektrody. Je to způsobeno hlavně přítomností polárních skupin na jejich povrchu. BDD je díky svému sp3 charakteru vůči adsorpci polárních látek na jeho povrchu značně rezistentní.

Pro použití BDDFE v elektrochemii organických látek existují dva hlavní směry: elektrochemická oxidace organických látek obsažených v odpadních vodách na BDD anodě založená na jejich úplné konverzi nebo destrukci a užití BDDFE jako elektrochemických senzorů ve voltametrii nebo při ampérometrické detekci v průtokových metodách (HPLC, průtoková injekční analýza, kapilární elektroforéza).

### Indium-cín oxid - ITO

Velký potenciálový rozsah poskytuje elektroda připravená vakuovým nanesením indium-cín oxidu – ITO na křemenné substrátu.

Byly studovány oxidační odezvy DNA měřené ITO elektrodami modifikovanými nitrocelulózovými nebo nylonovými membránami nebo se samoorganizovanými monovrstvami dikarboxylátu . V těchto experimentech byla DNA navázána na elektrodu buď kovalentní vazbou nebo adsorpčními sílami v modifikované vrstvě. Čistá ITO elektroda DNA neadsorbovala.

Oxidace guaninu v DNA byla zprostředkována redoxním chelátem kovu [Ru(bipy)3], který přenášel elektrony na povrch elektrody z DNA buď v roztoku nebo jako fixovaný na film modifikátoru. Rovněž byla použita metoda fixace redoxního mediátoru na ITO elektrodu modifikovanou elektro polymerizovaným poly[Ru(bipy)3] filmem.

### TITANOVÉ ELEKTRODY

Polymorfy  $\text{TiO}_2$  – anatas, rutil, brookit,

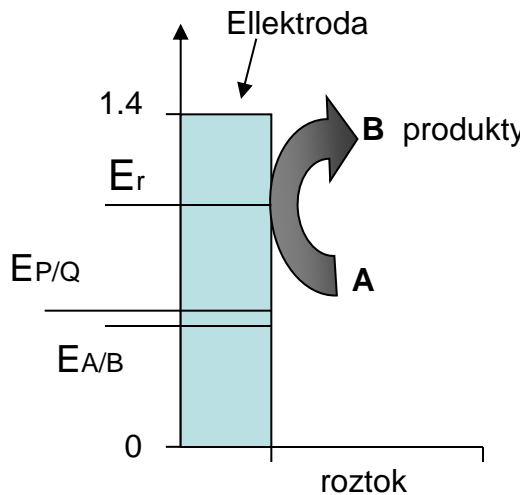
Zpravidla se používá single-krystal anatasu s vysokým stupněm čistoty. Dají se připravit vypalované nanopásy  $\text{TiO}_2$  (nanobelts)

Byly studovány oxidační odezvy adeninu a guaninu měřené uhlíkovými elektrodami modifikovanými směsí anatasu a rutitu (3:1). V těchto experimentech byly nukleobáze navázány na elektrodu adsorpčními silami. Byl navržen mechanismus katalytické oxidace.

## CHEMICKY MODIFIKOVANÉ ELEKTRODY

## A. NEMODIFIKOVANÉ

E/V vs. NHE



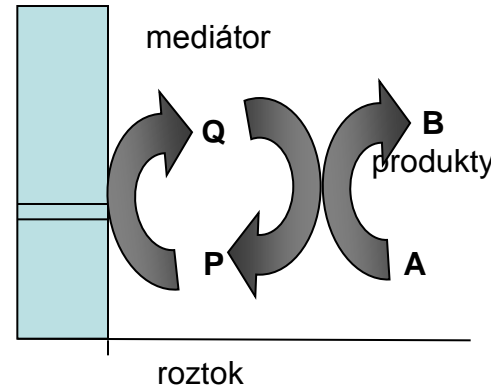
$$E_r - E_{A/B} = \eta_1$$

$$E_{P/Q} - E_{A/B} = \eta_2$$

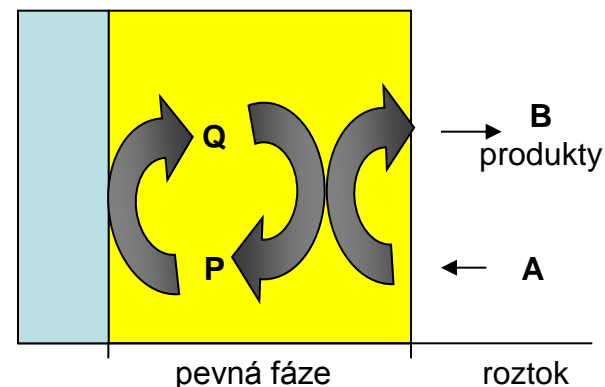
Bez katalýzy

$$(\eta_1 \gg \eta_2)$$

## B. HOMOGENNÍ



## C. HETEROGENNÍ

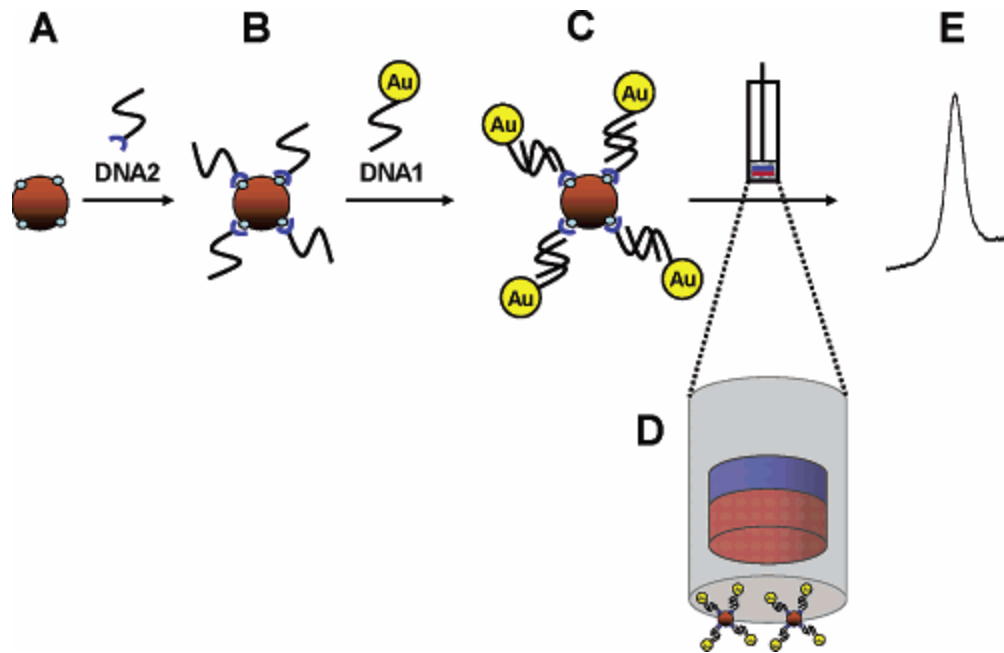


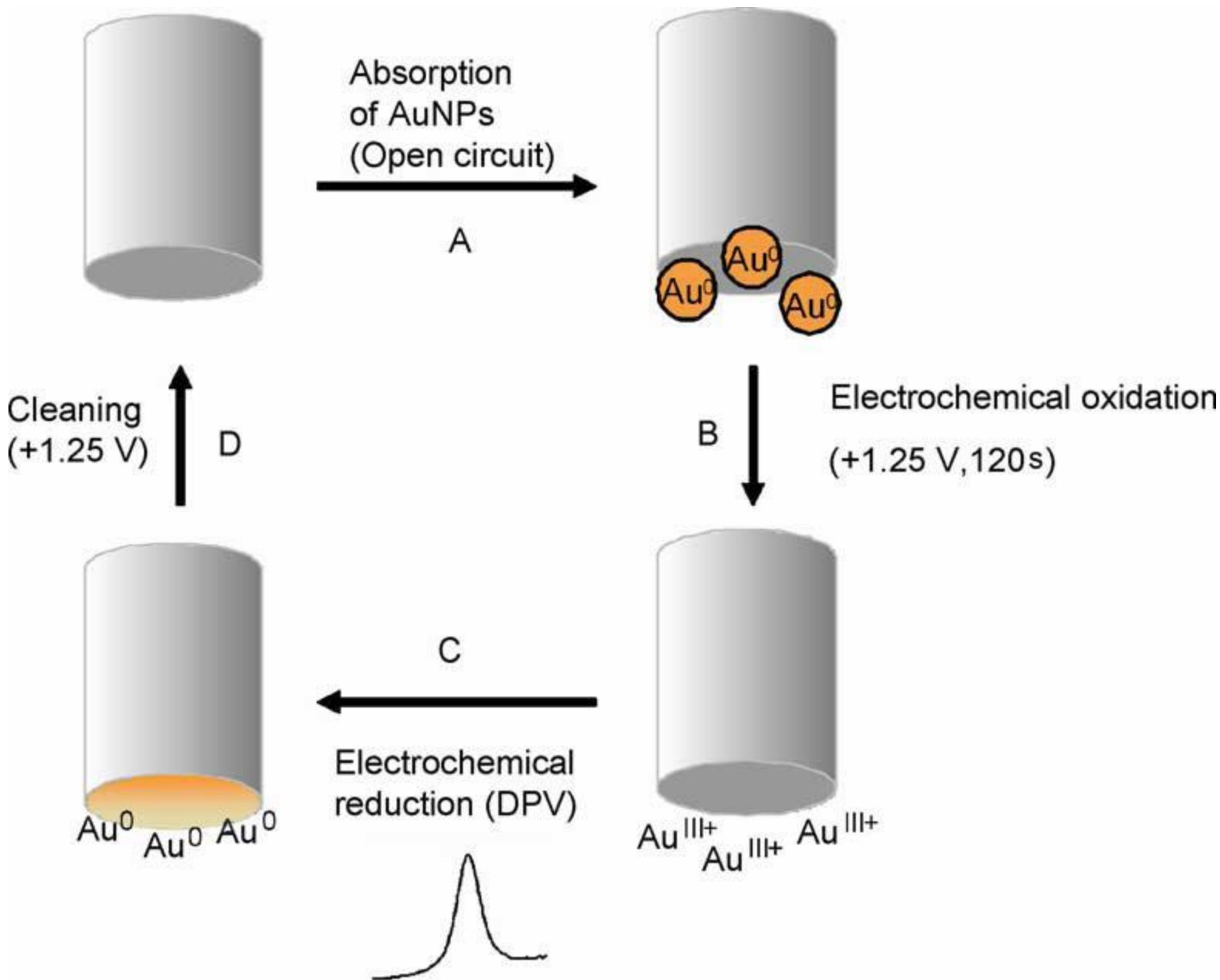
$$E_r = E_{P/Q} - E_{A/B}$$

katalýza

$$(\eta_1 = \eta_2)$$

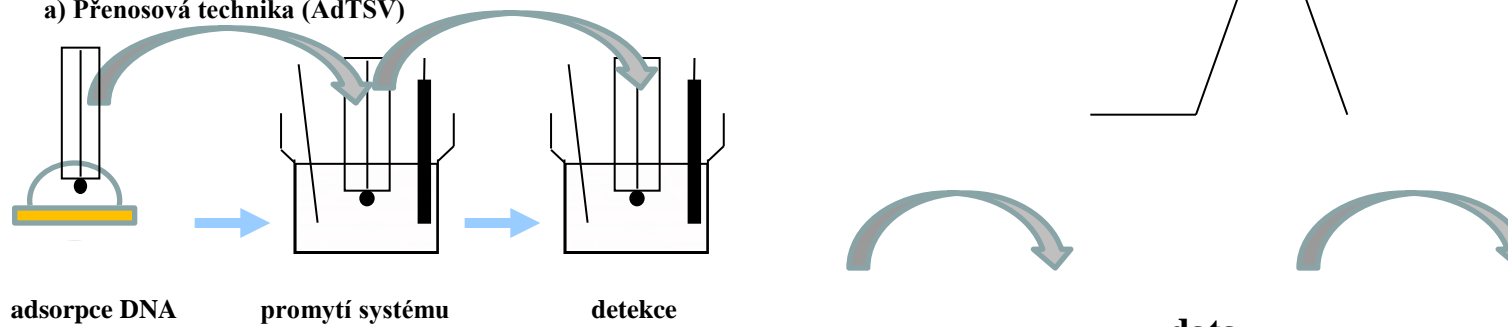
## NANOČÁSTICE



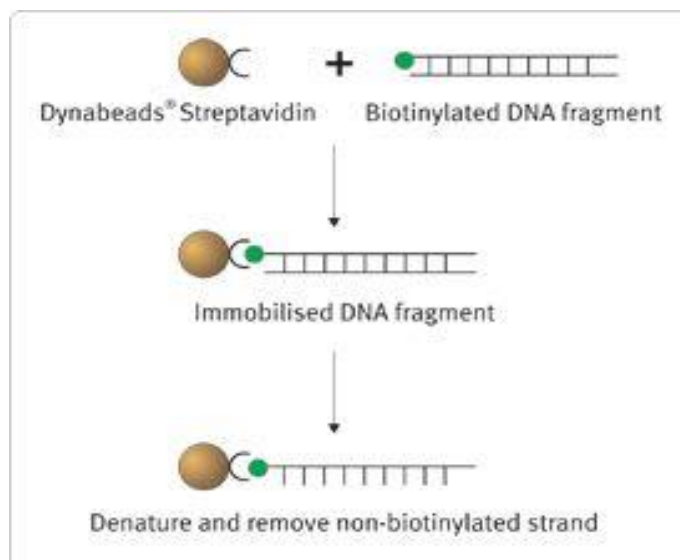
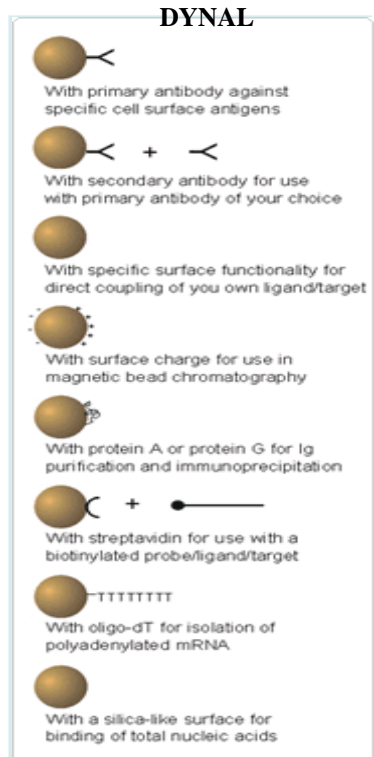


## Separační metody před vlastním měření

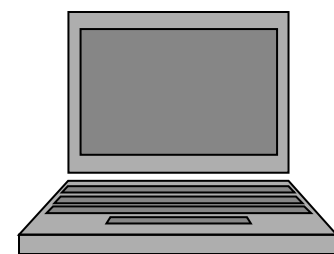
### a) Přenosová technika (AdTSV)



### b) Magnetické kuličky



voltamogram

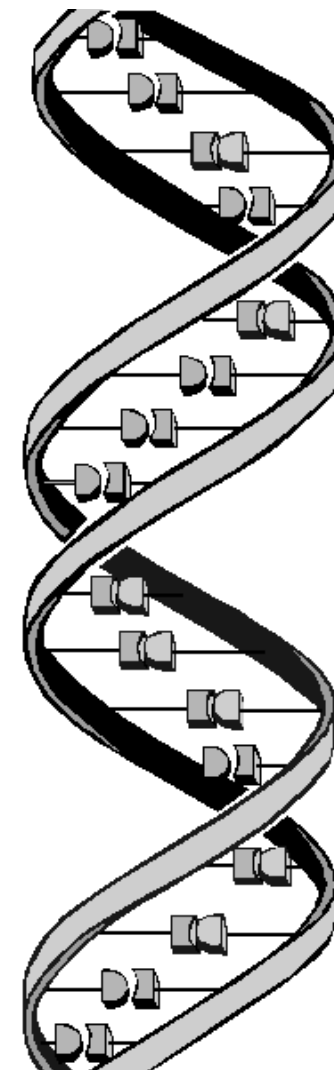
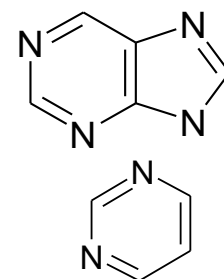


## NUKLEOVÉ KYSELINY

- DNA
- RNA
- PNA

## Báze NK

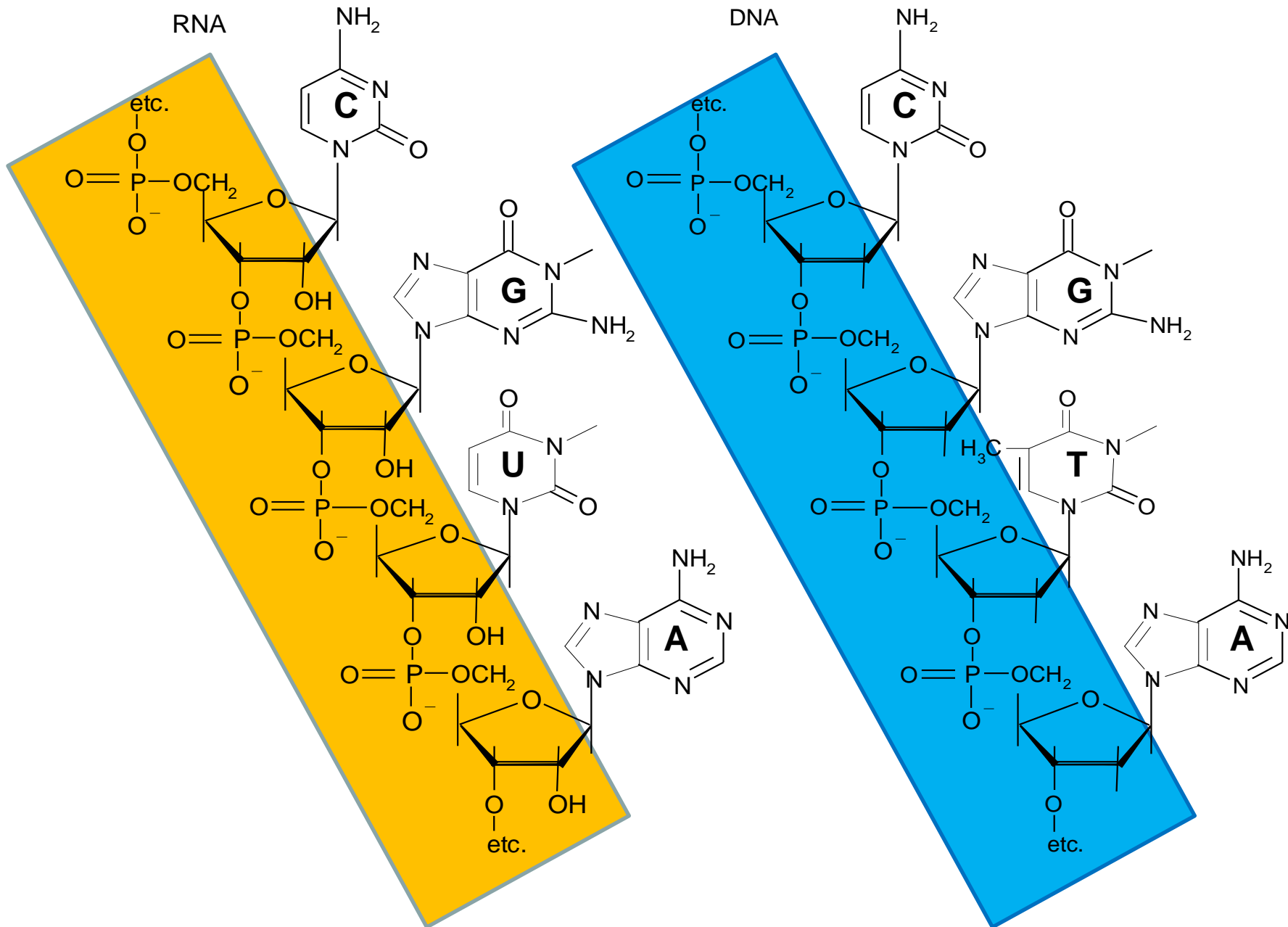
Adenin, A	puriny
Guanin, G	
Cytosin, C	pyrimidiny
Thymin, T	
Uracil, U	



Ribonucleic acid

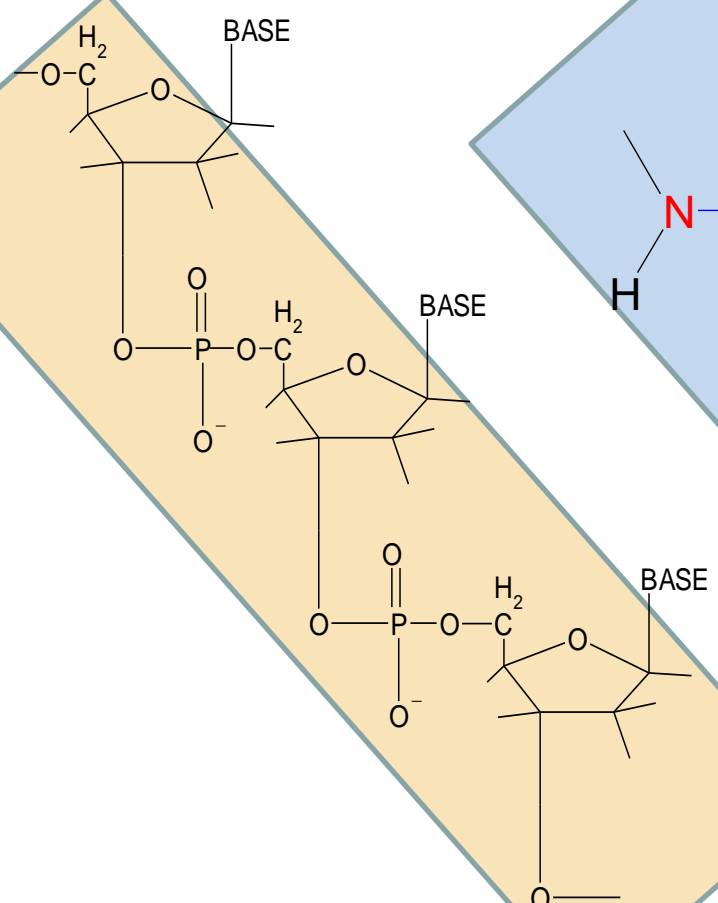
# RNA vs DNA

Deoxyribonucleic acid



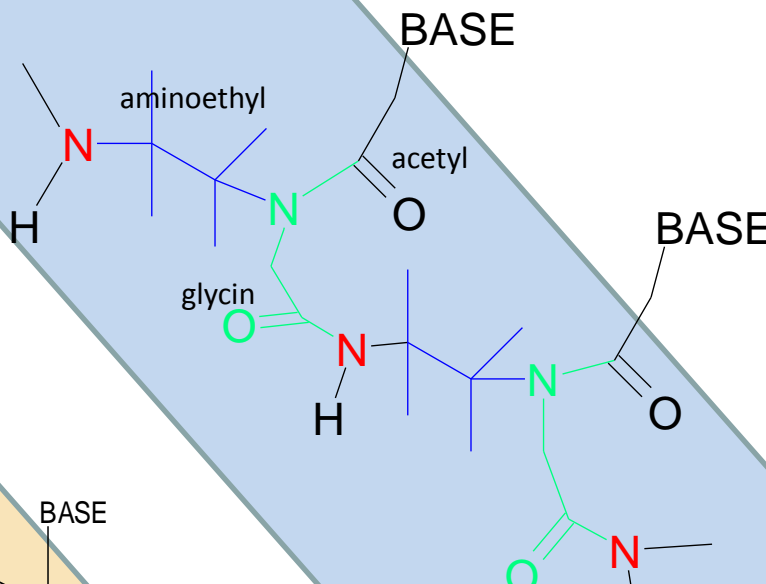
# DNA x PNA

DNA

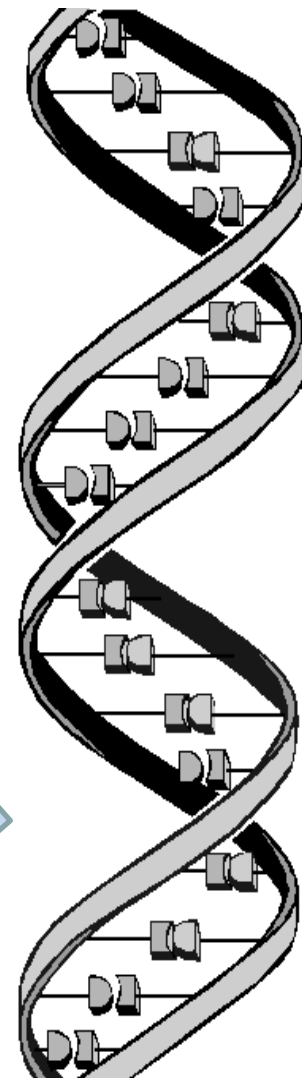


POLYDEOXYRIBÓZO FOSFÁT

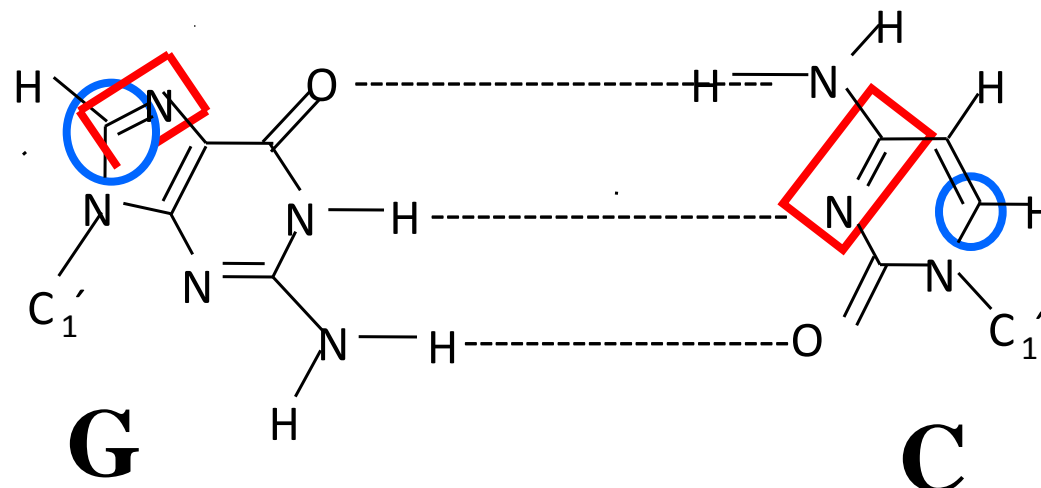
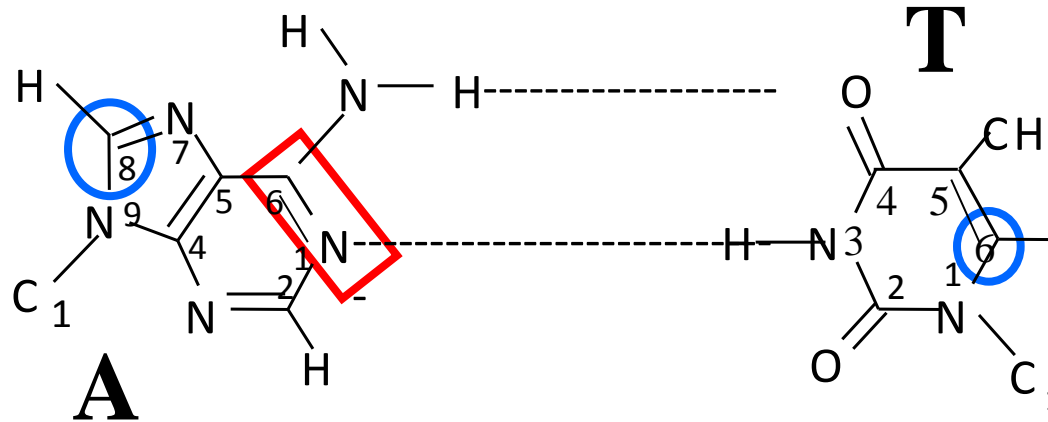
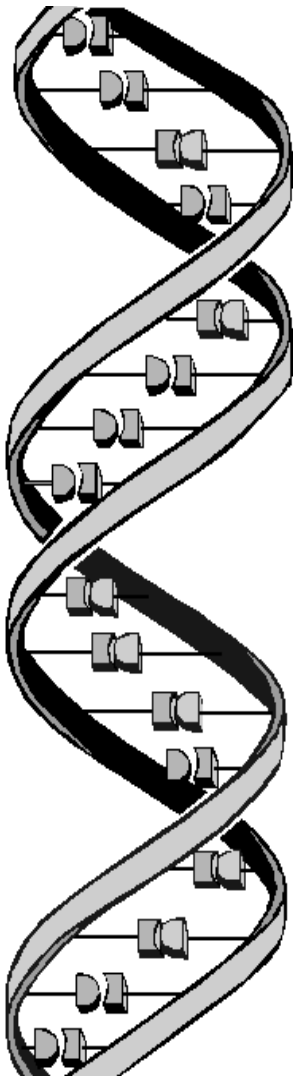
PNA



POLYAMINOETHYLGlyCIN



# PÁROVÁNÍ BÁZÍ A REDOXNÍ MÍSTA

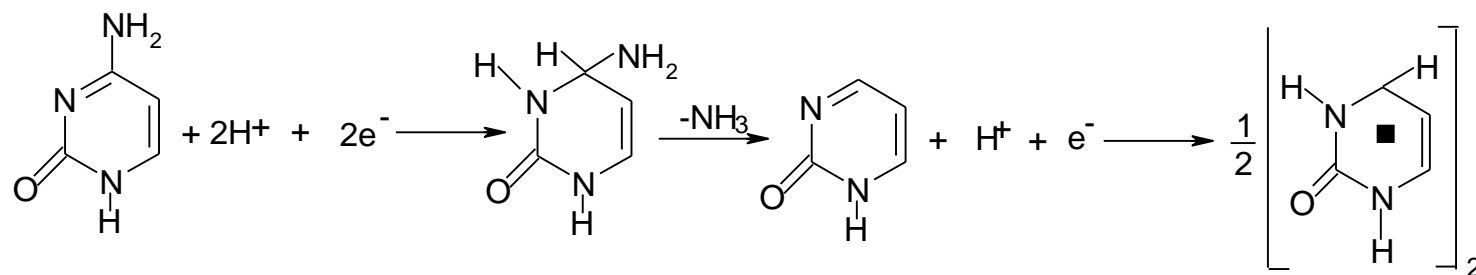


REDUKČNÍ MÍSTA

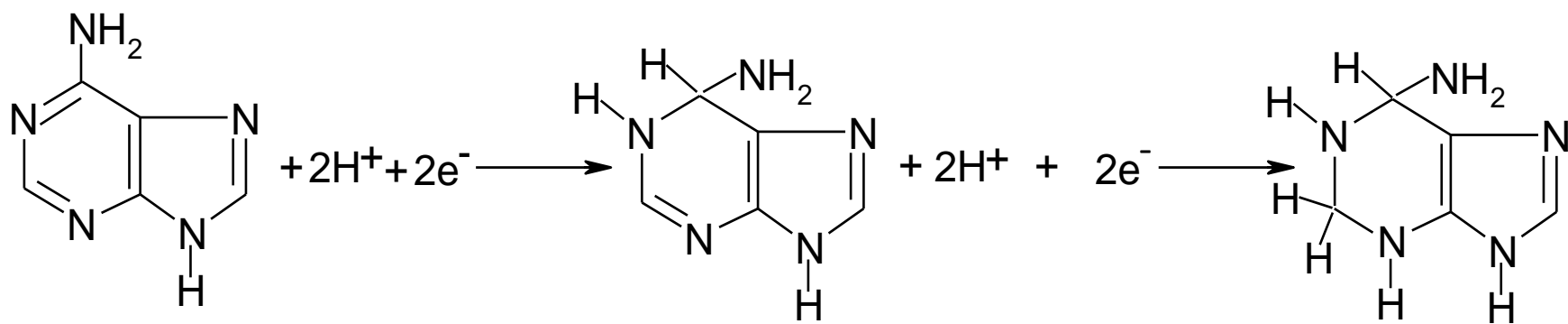
OXIDAČNÍ MÍSTA

## REDUKCE

### C -CYTOSIN

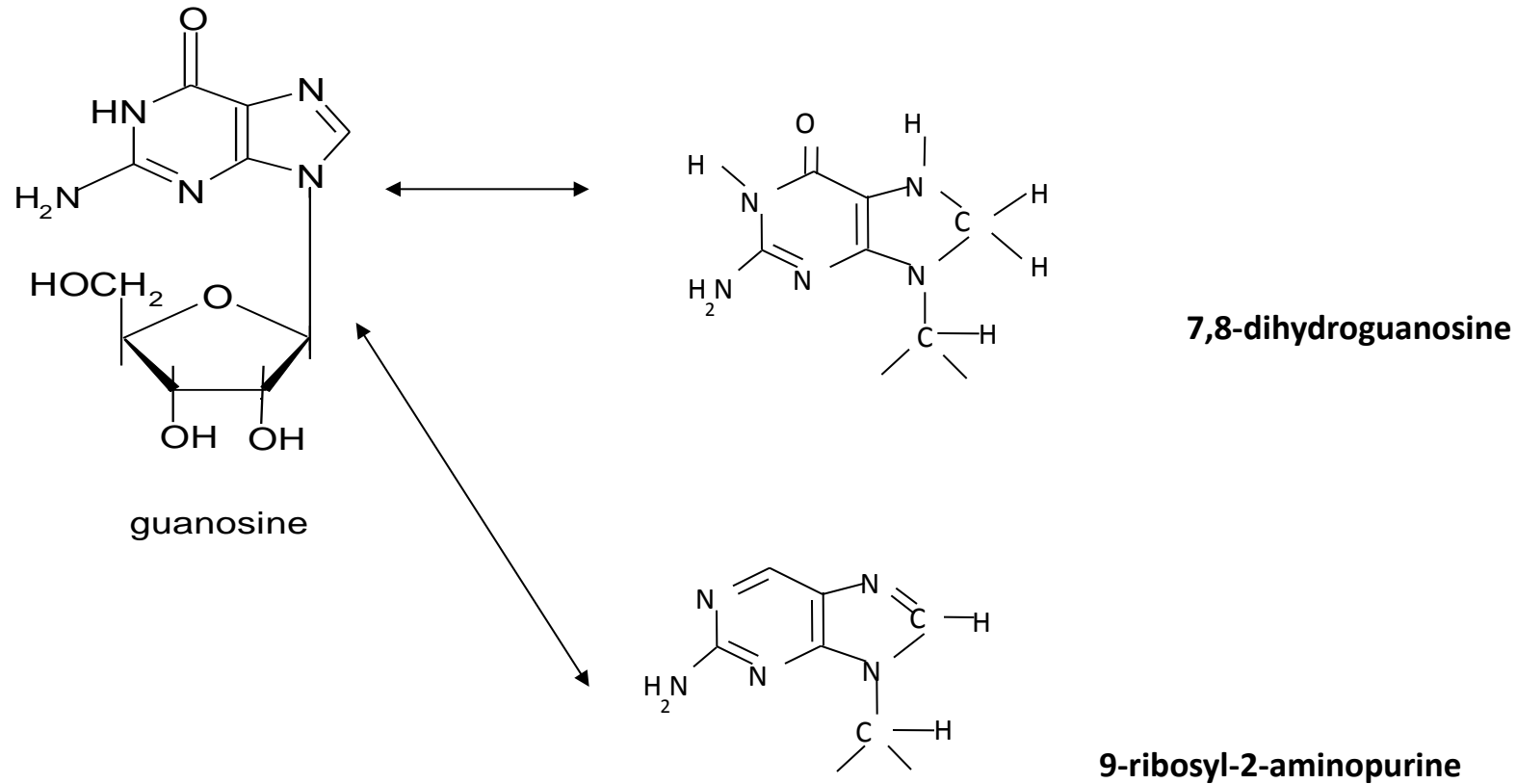


### A -ADENIN

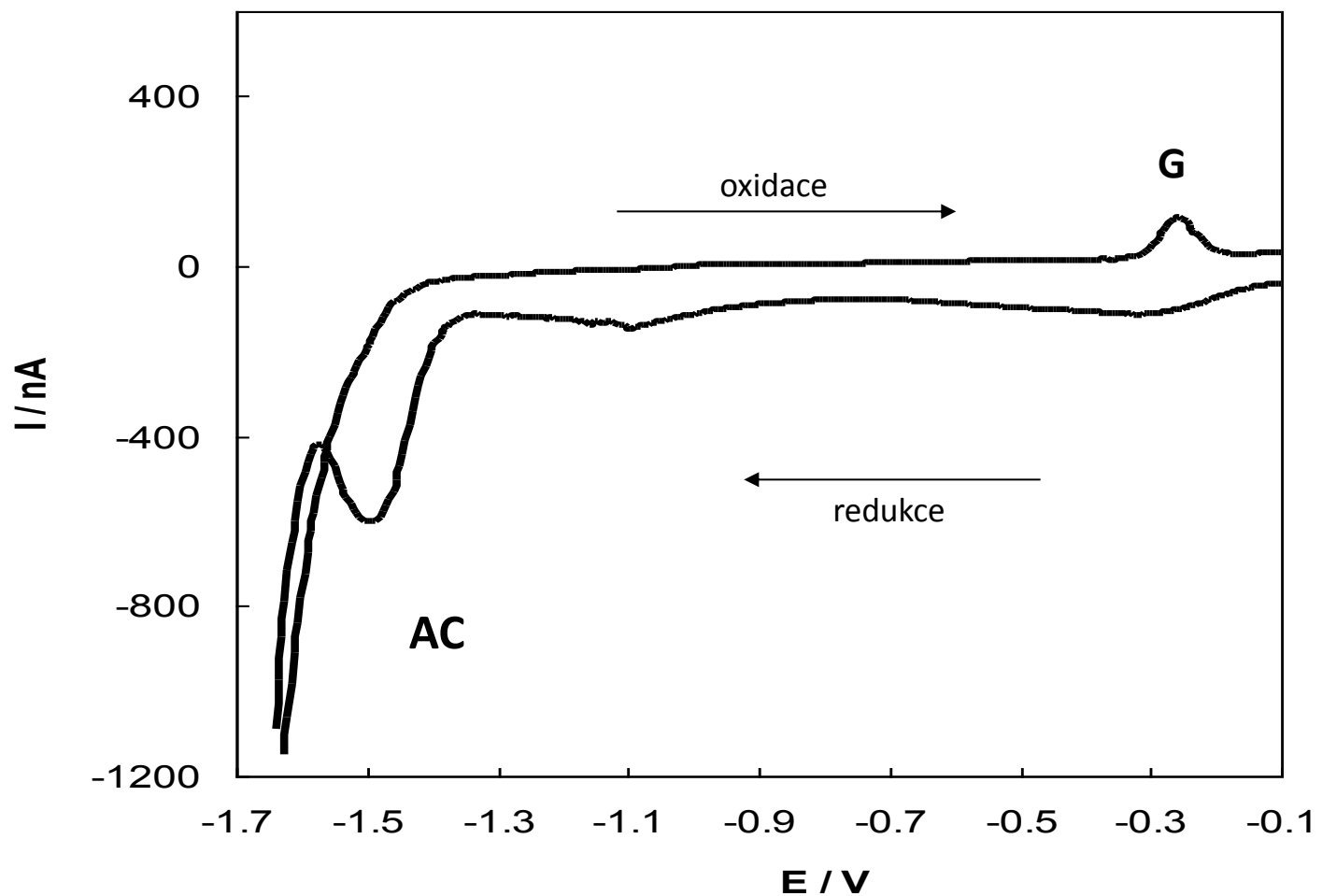


## REDUKCE

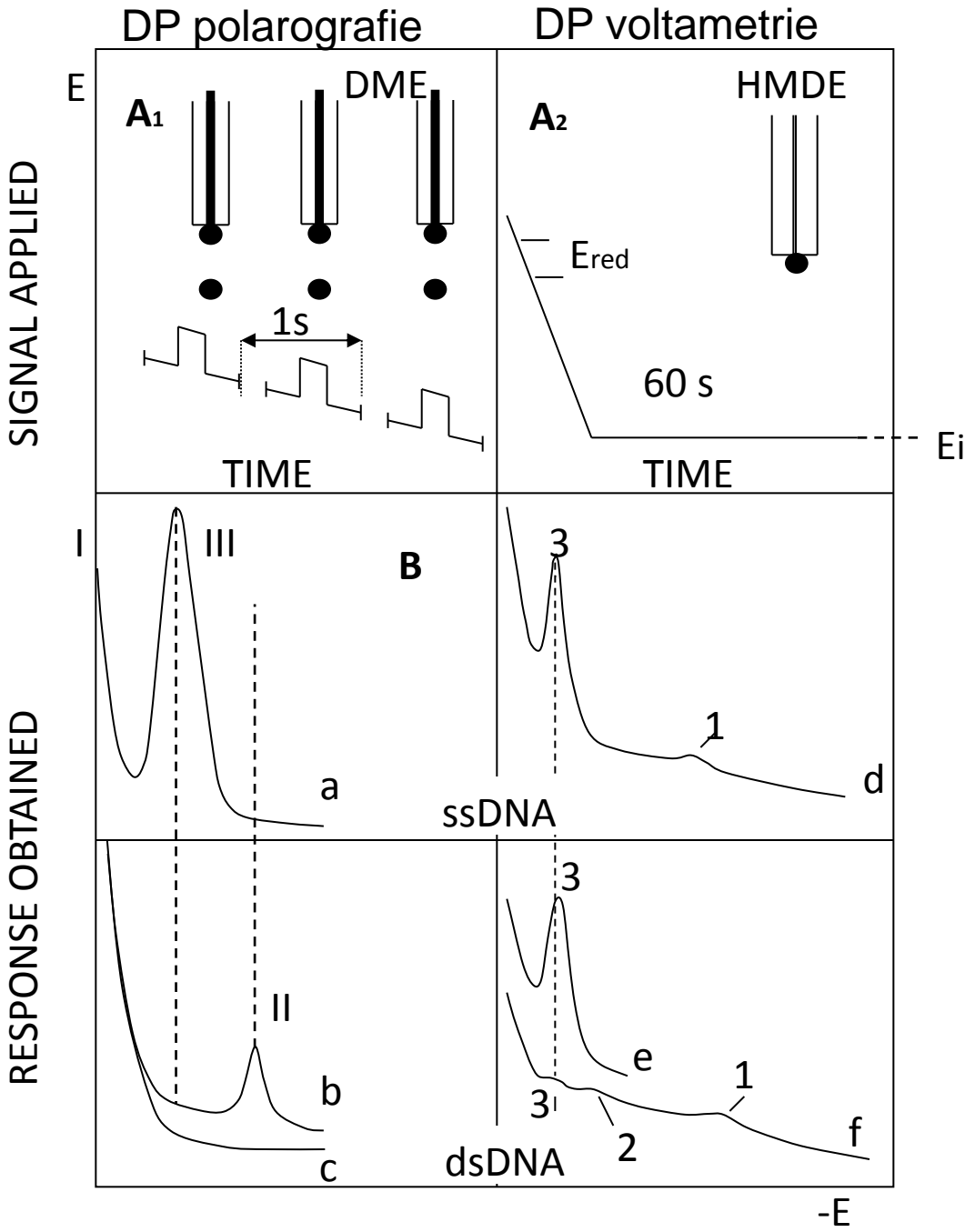
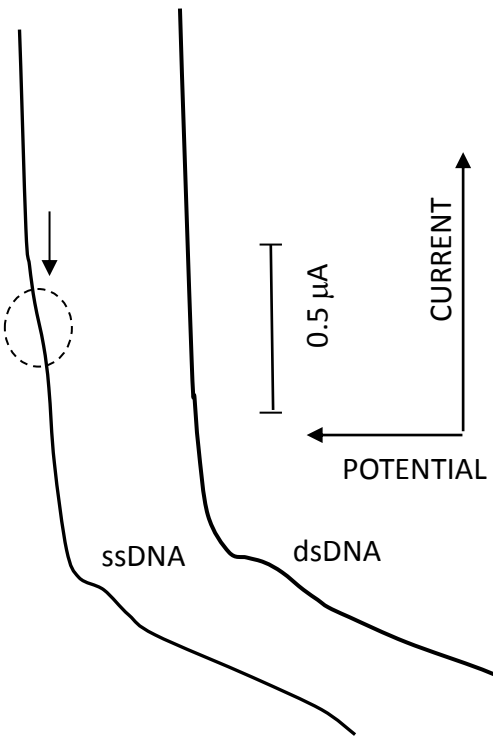
### Gua -GUANOSIN

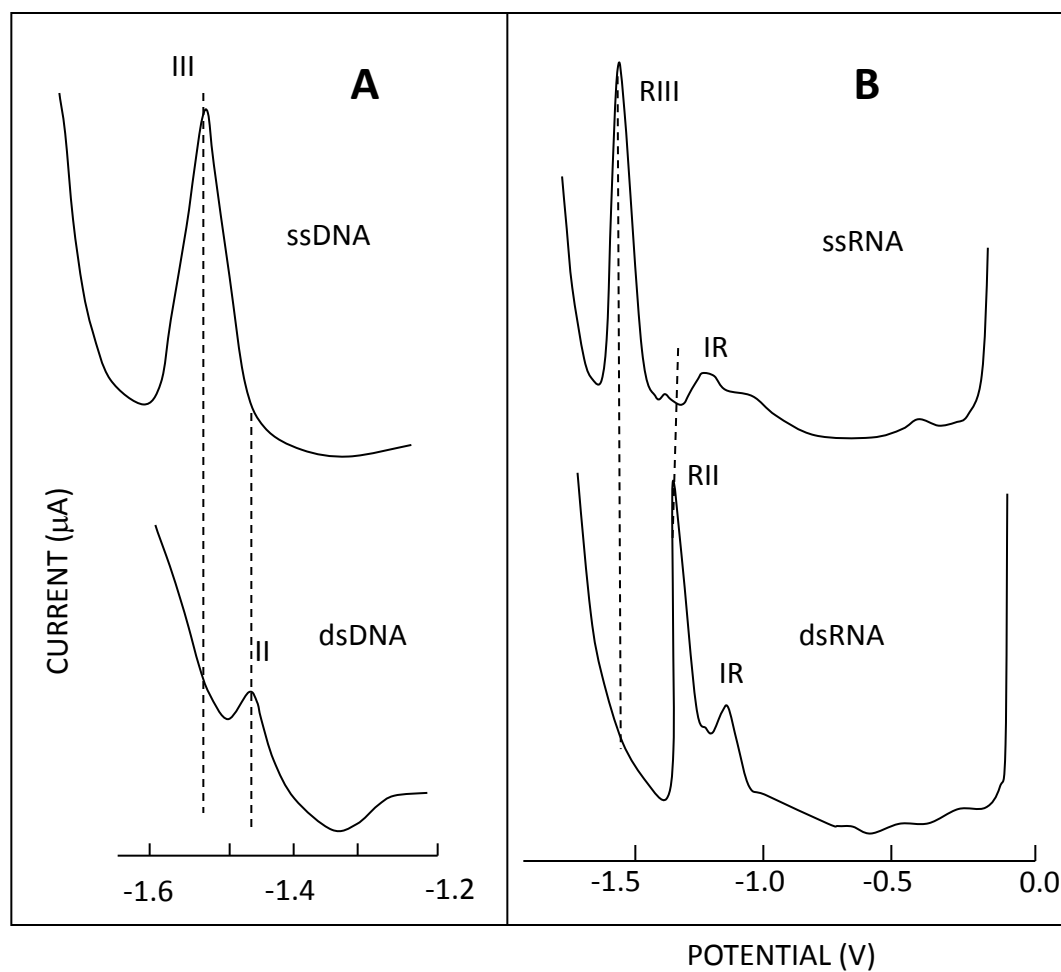


# REDUKČNÍ SIGNÁLY



## DC polarografie

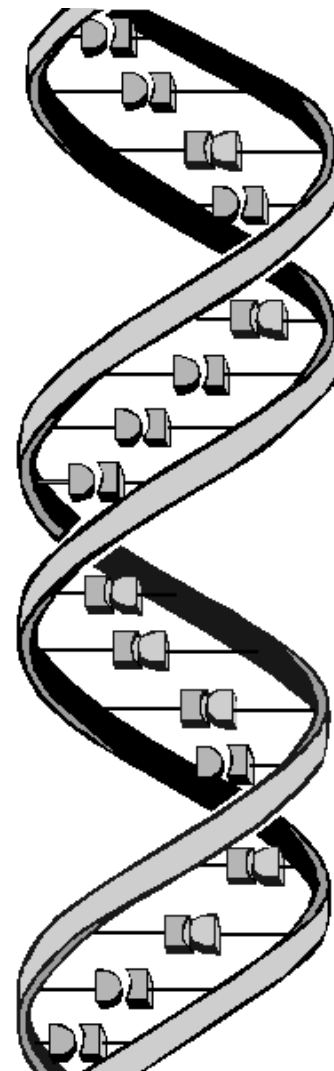




5'-TCCAGTAGTTCTAGAAAGGGAGTT-3'  
5'-AACTCCCTTCTAGAAACTACTGGA-3'

5'-TCCAGTAGTTCTAGAAAGGGAGTT-3'  
|||||  
3'-AGGTCAATCAAGATCTTCCCTCAA-5'

- A) Denaturace
- B) Hybridizace
- C) Depurinace
- D) Adsorpce

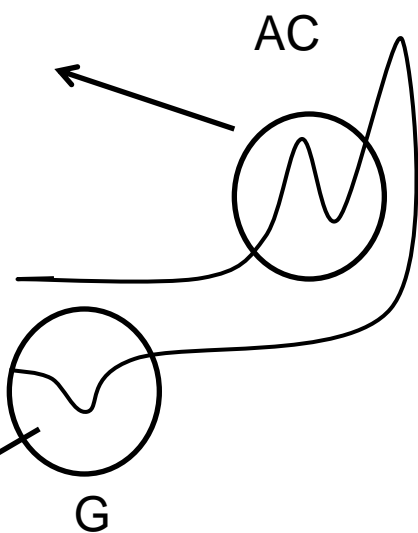
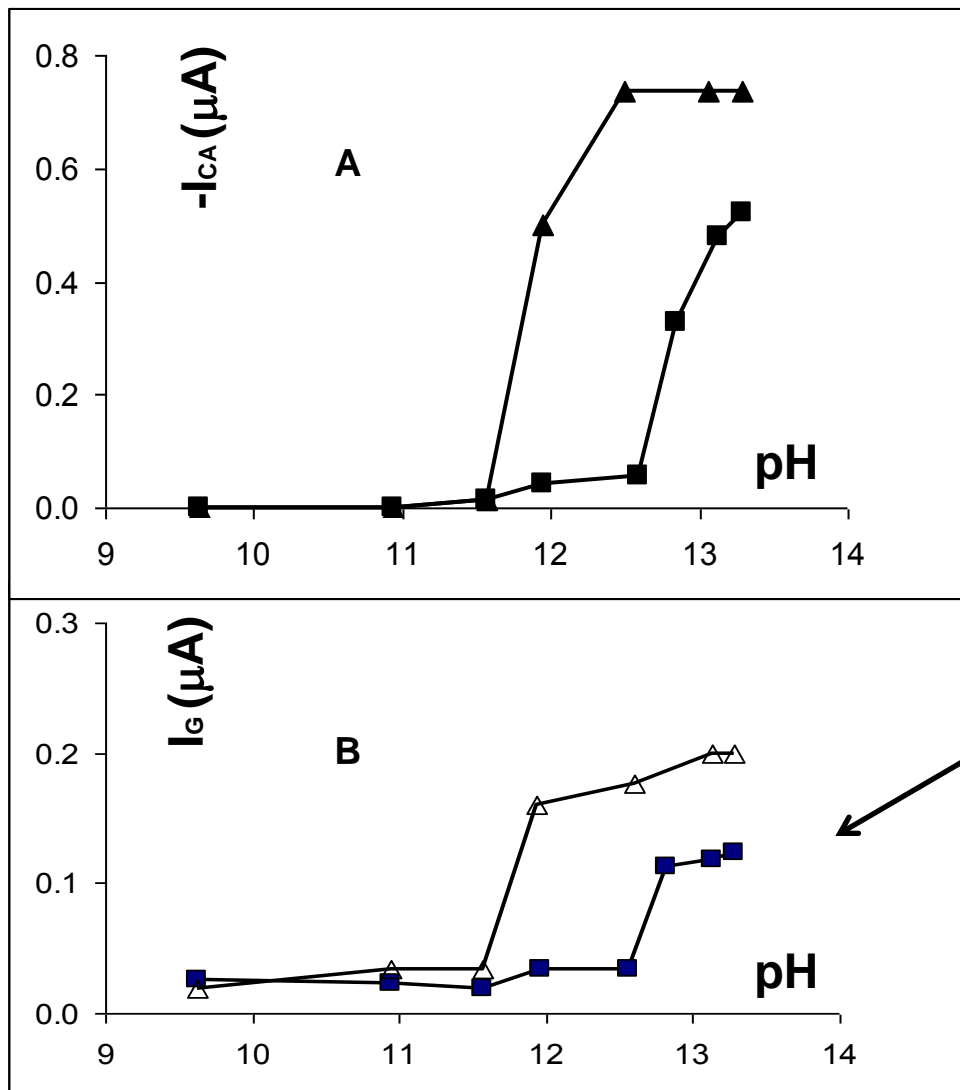


# Denaturace

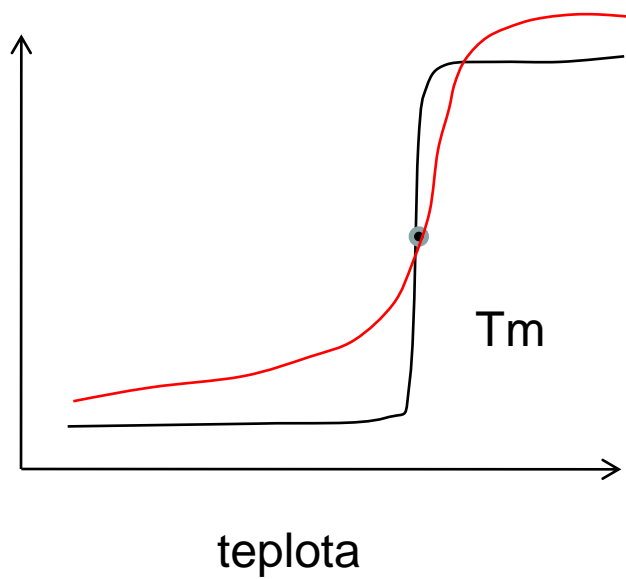
5'-TCCAGGTAGTTCTAGAAAGGGAGTT-3'  
3'-AGGTCATCAAGATCTTCCCTCAA-5'

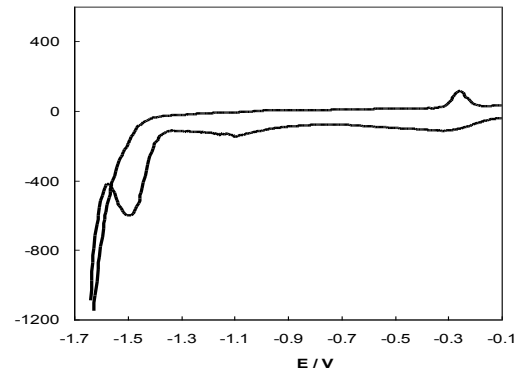
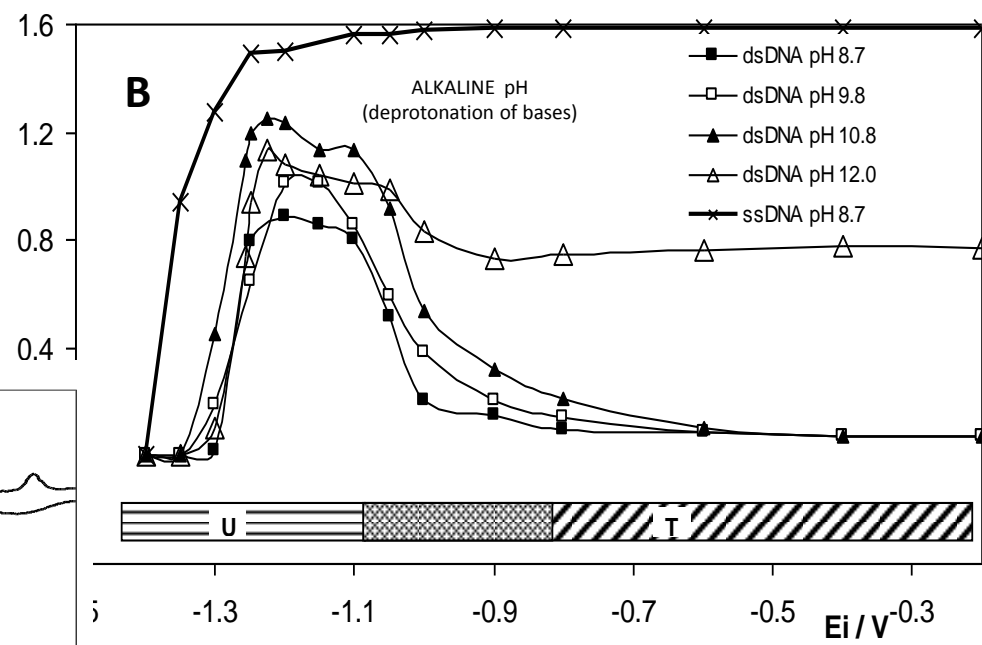
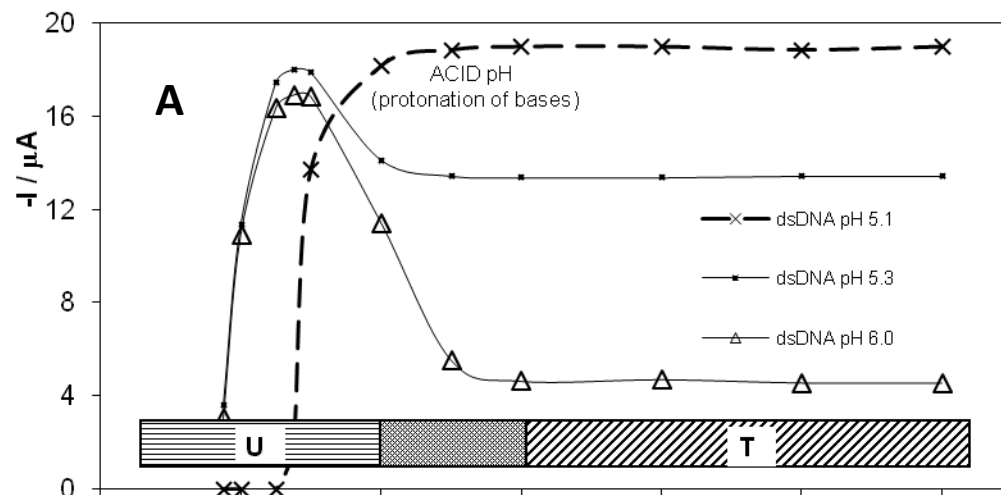


a) změna pH (alkalická denaturace)



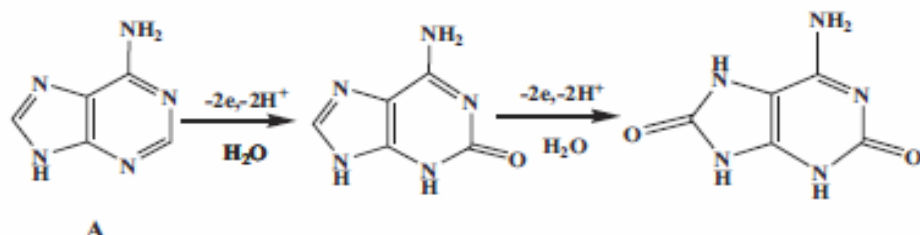
## Denaturace



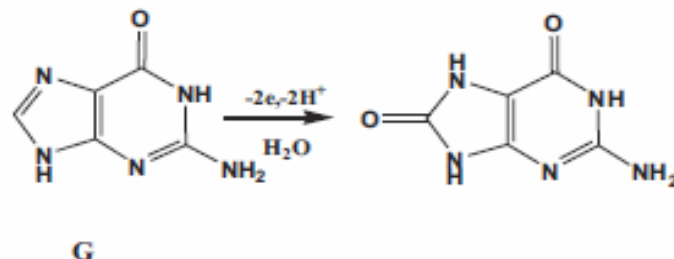


## OXIDACE

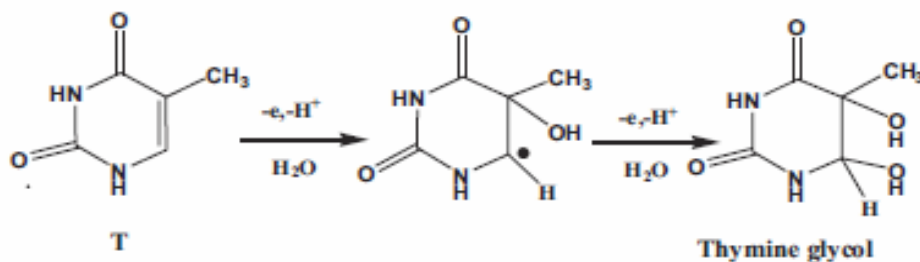
**A - ADENINE**



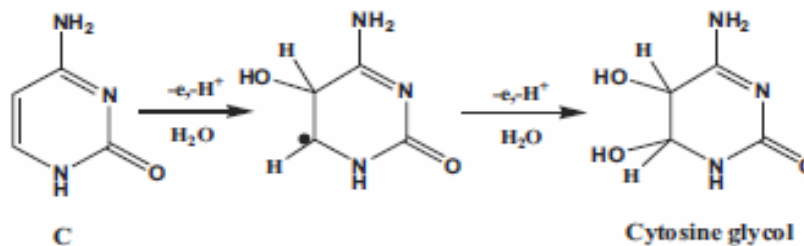
**G - GUANINE**



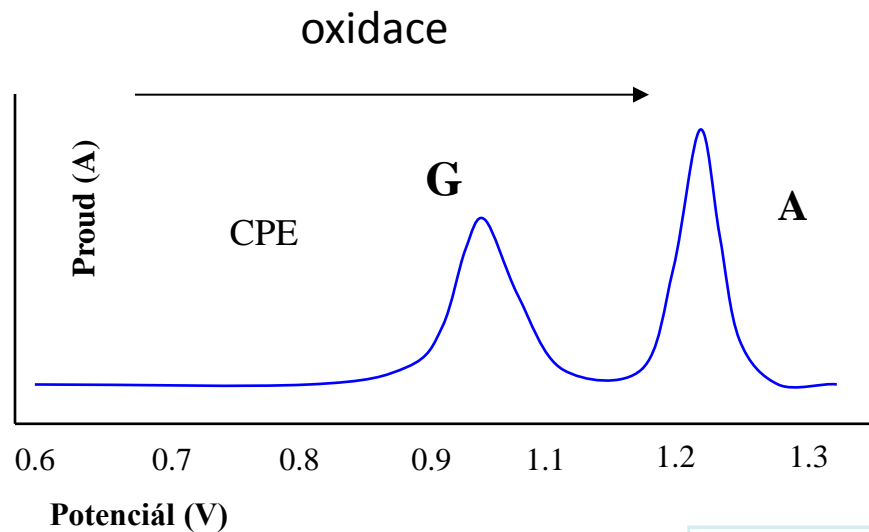
**T - THYMINE**



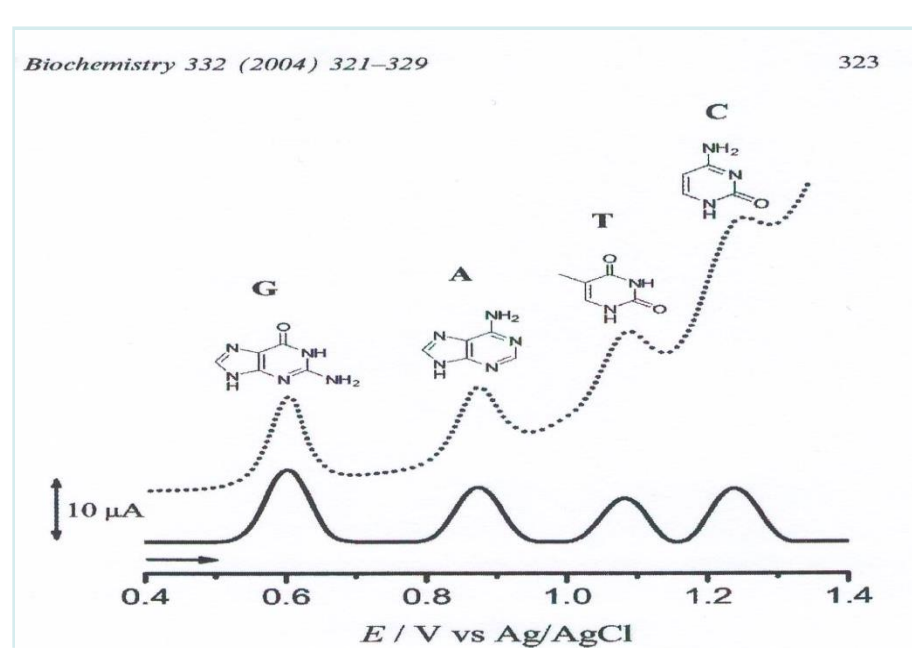
**C - CYTOSIN**



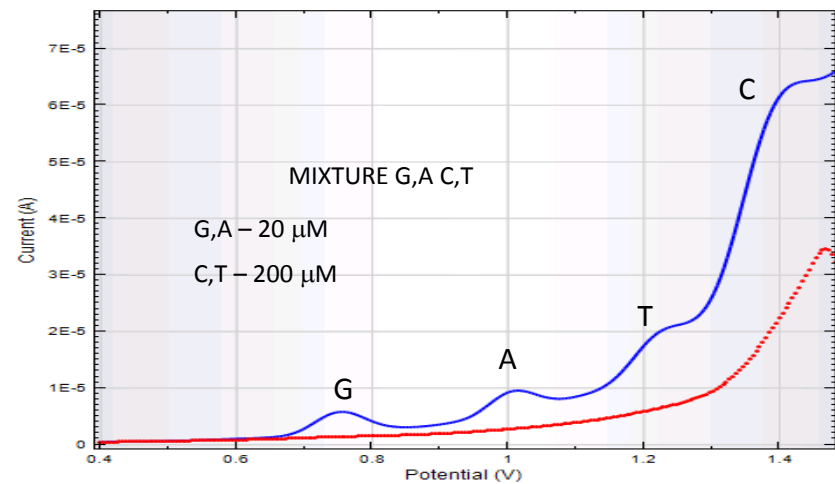
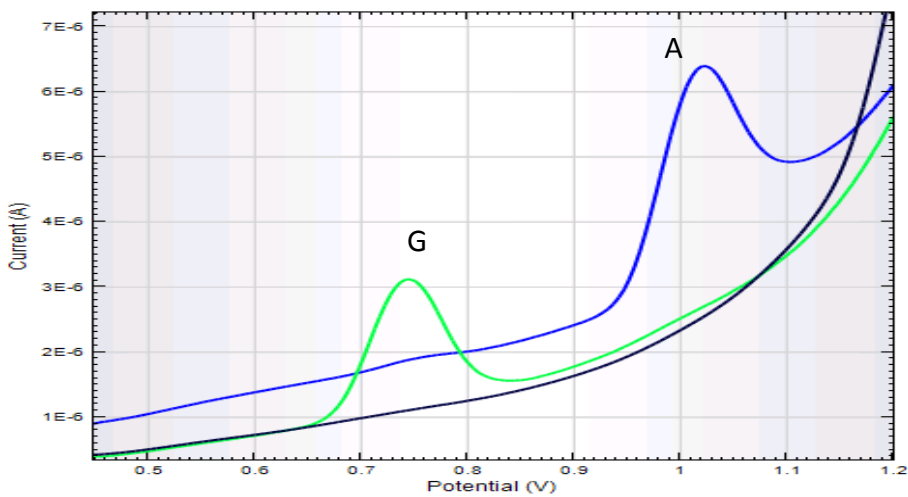
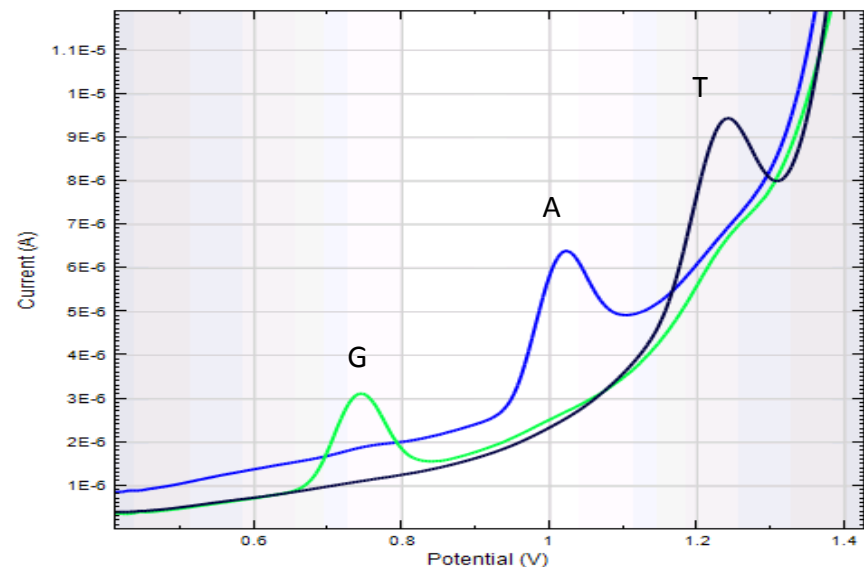
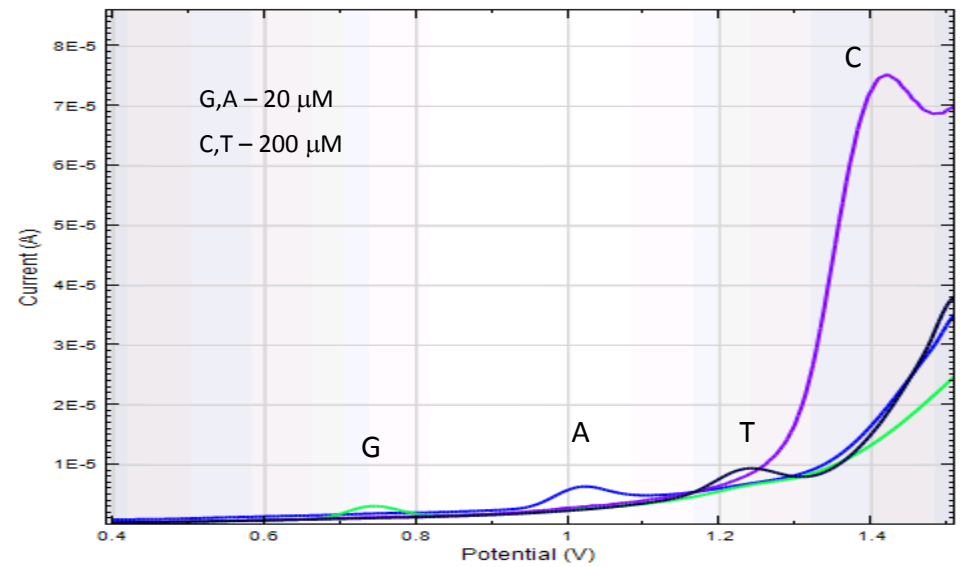
# OXIDAČNÍ SIGNÁLY

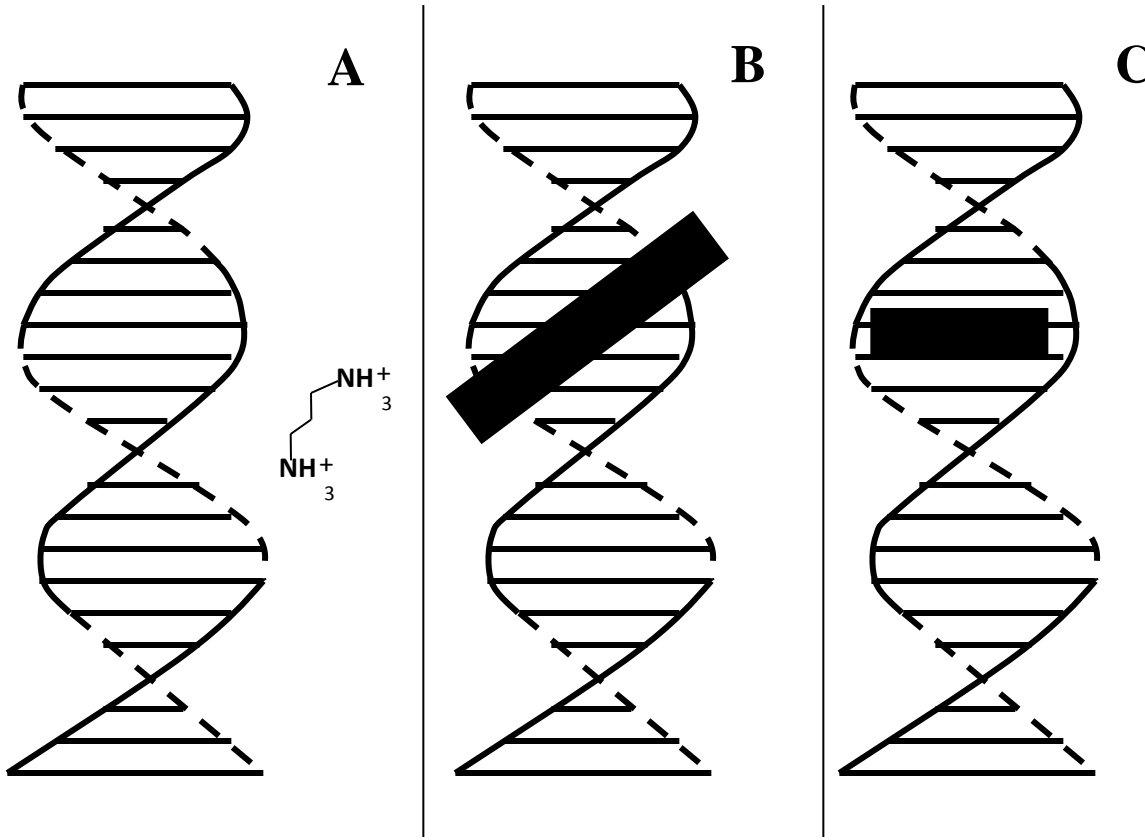


Brett A.M. et al., Anal Biochem. 332 (2004) 321 Differential pulse voltammogram obtained with a 3-mm diameter GCE electrode for the mixture of  $2 \cdot 10^{-5}$  M guanine (G) and adenine (A),  $2 \cdot 10^{-4}$  M thymine (T) and cytosine (C) in pH 7.4, 0.1 M phosphate buffer supporting electrolyte. ( . . ) Recorded voltammogram; (—) baseline-corrected voltammogram. Pulse amplitude 50 mV; pulse width 70 ms; scan rate 5 m Vs<sup>-1</sup>.



BÁZE, CPE, SQW-80 Hz, 0.1M fosfát pufr pH=6.4, tA 120s





- (A) elektrostatická interakce
- (B) vazba do malého žlábku dvoušroubovice DNA
- (C) interkalace do dvoušroubovice

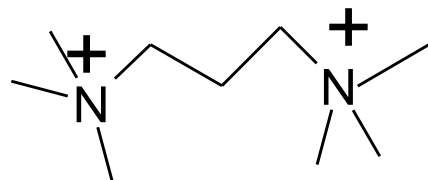
## A. ELEKTROSTATICKÁ INTERAKCE

- externí interakce podél dvoušroubovic
- příčinou jsou elektrostatické síly

Příklady:

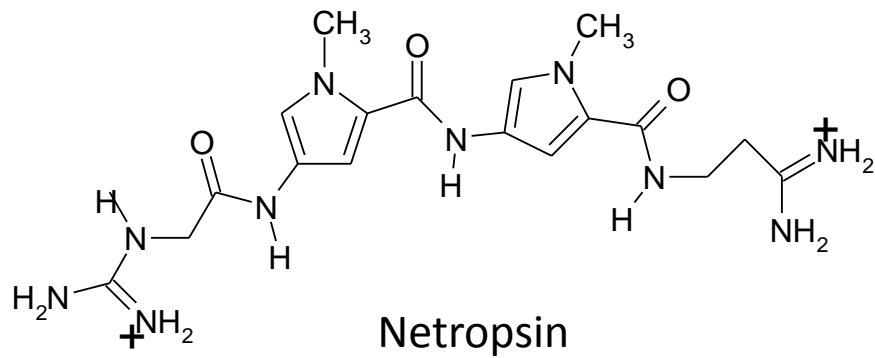
Ionty  $\text{Na}^+$ ,  $\text{Mg}^{2+}$ ,

Nebo látky typu:



## B. VAZBA DO ŽLÁBKU (GROOVE-BINDING INTERACTION)

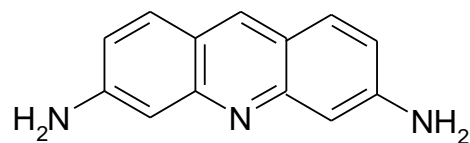
-přímá interakce molekuly s na hranách páru bází malého nebo velkého žlábku



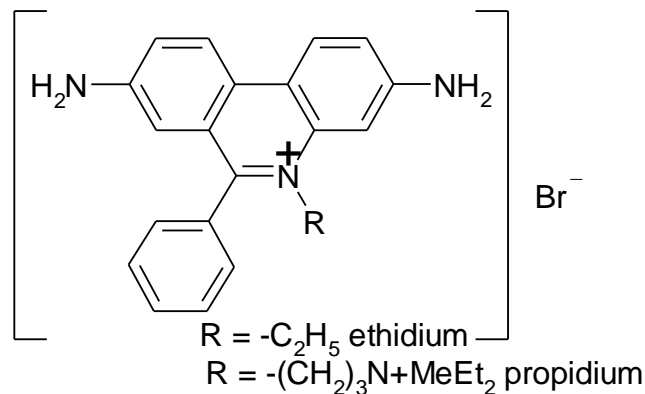
Distamycin  
Hoechst 33258  
SN 6999  
Cloroquine

## C. INTERKALÁTORY

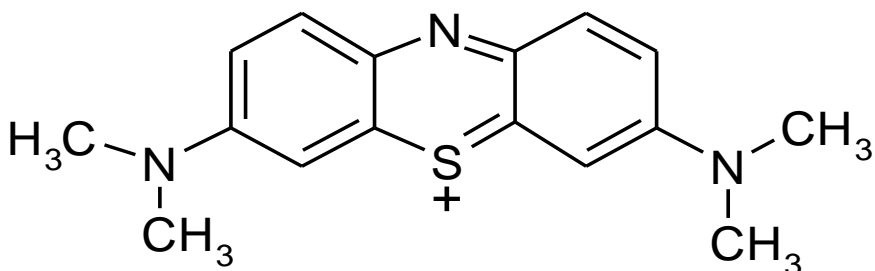
- planární aromatické struktury, které se vmezeřují mezi páry bází NK
- obecně jsou favorizovány G.C páry



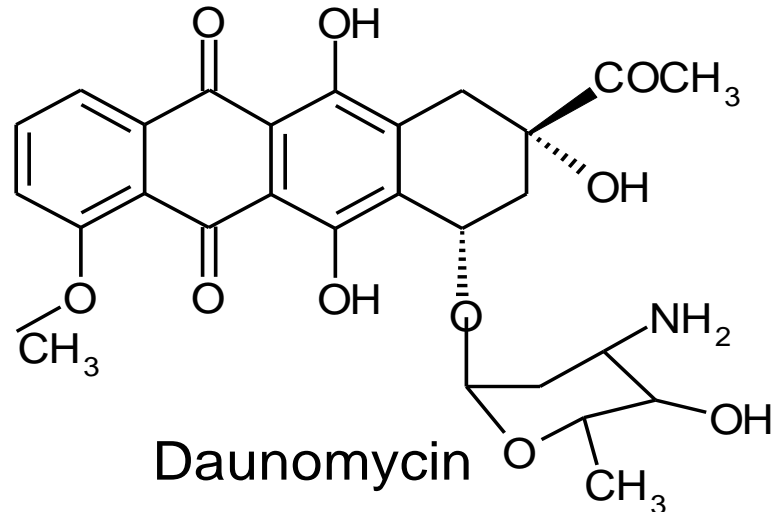
Proflavine



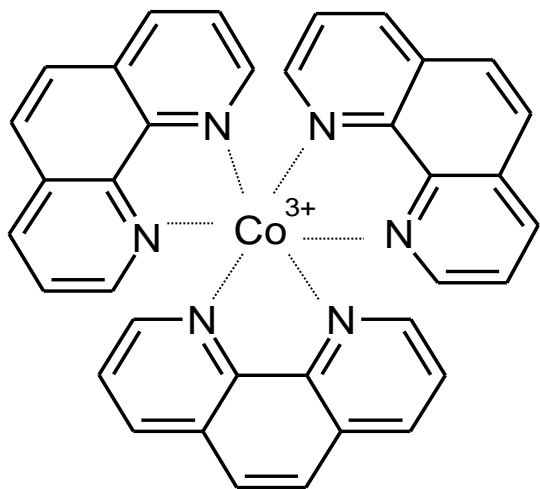
Ethidium bromid



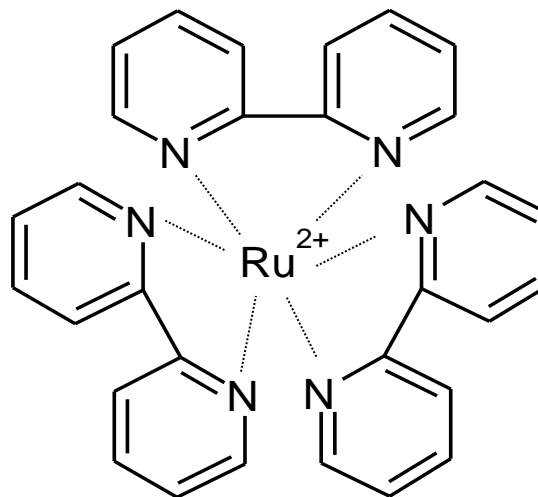
Methylene blue (MB)



Daunomycin



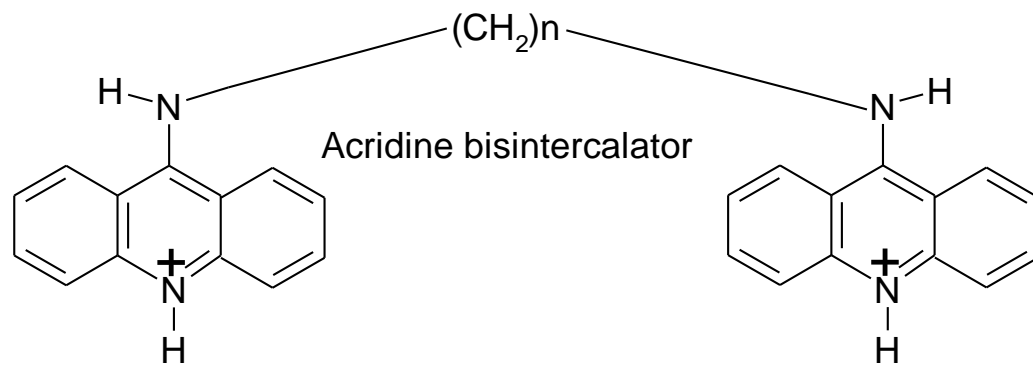
$\text{Co}(\text{phen})_3^{3+}$



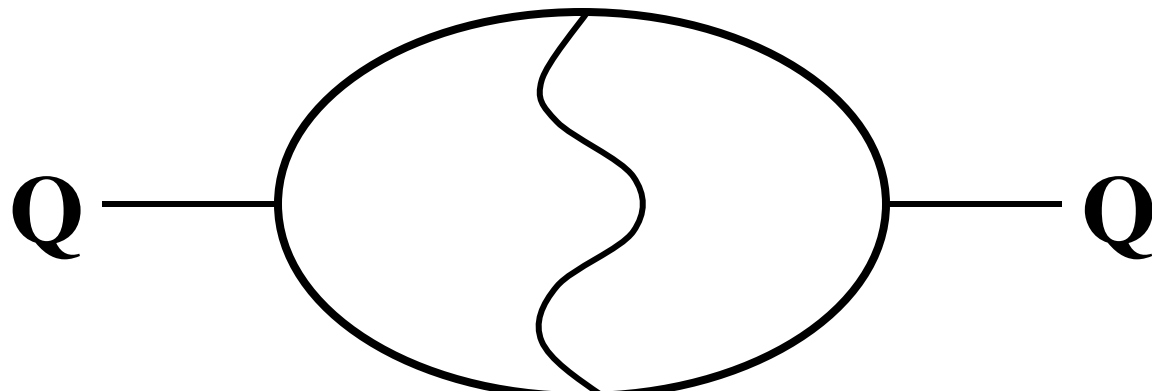
$\text{Ru}(\text{bipy})_3^{2+}$

## C.1 BIS- INTERKALÁTORY

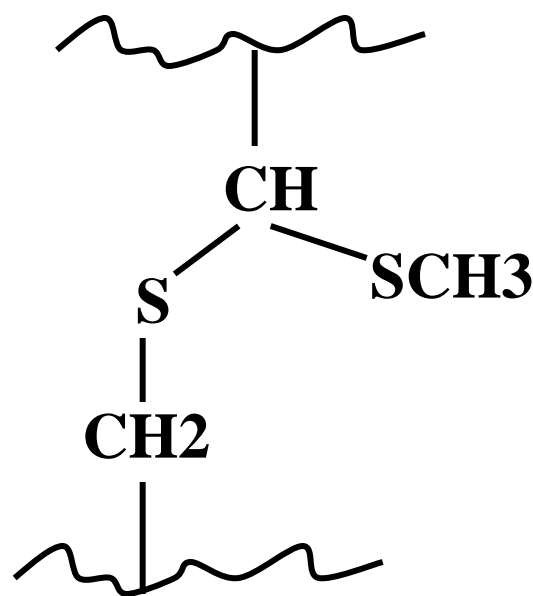
- dva planární aromatické struktury, které se vmezeřují mezi páry bází NK
- obecně jsou favorizovány G.C páry
- délka spojovacího linkeru určuje vzdálenost vazby
- přírodní bis-interkalátory – chinoxalinová protinádorová antibiotika



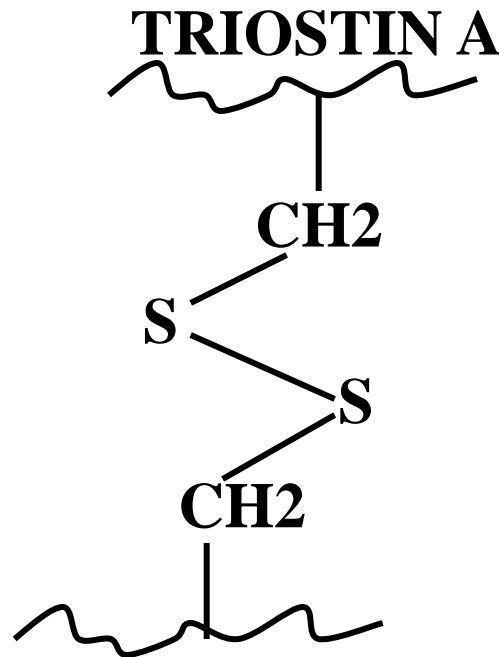
# CHINOXALINOVÁ ANTIBIOTIKA



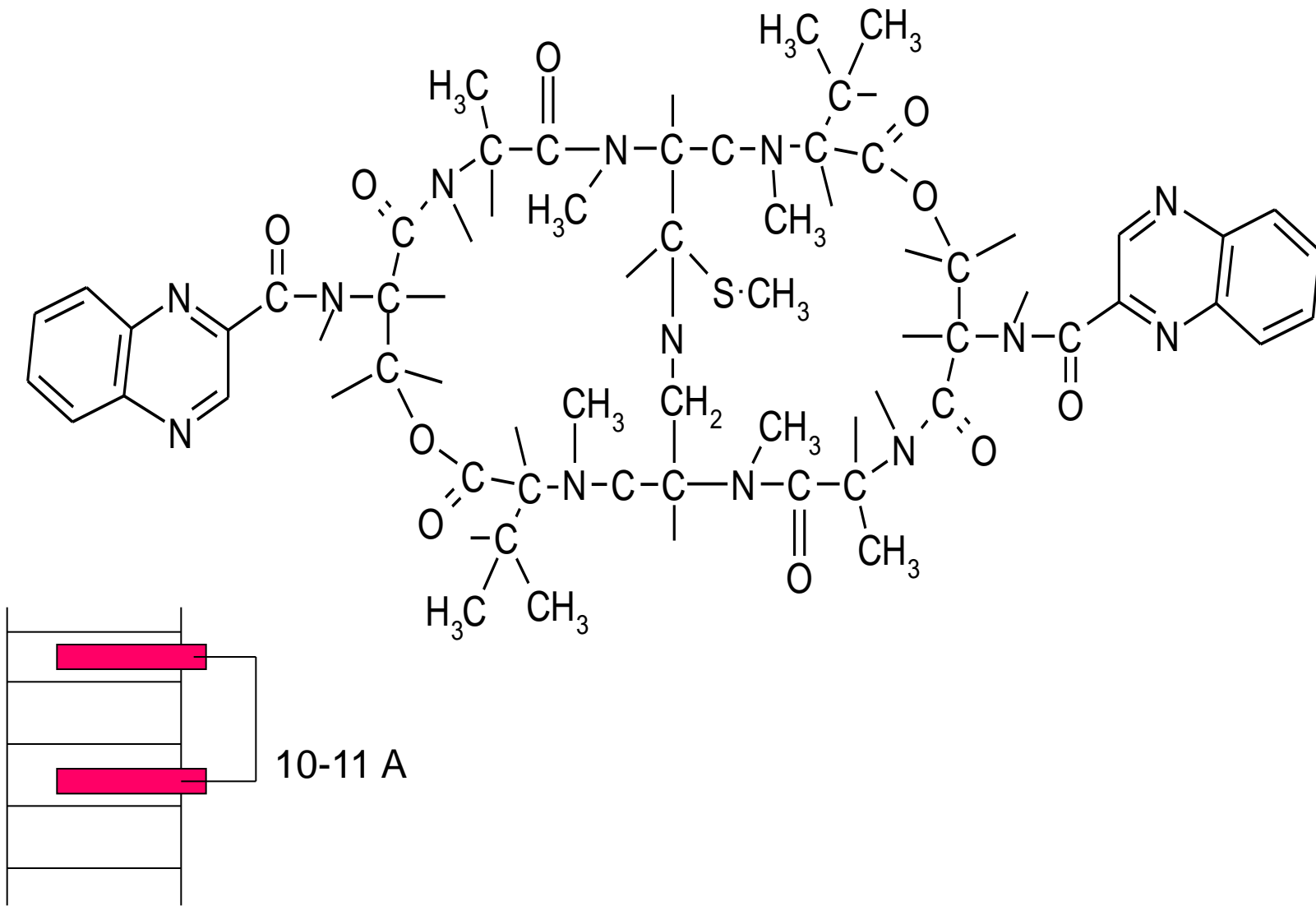
ECHINOMYCIN



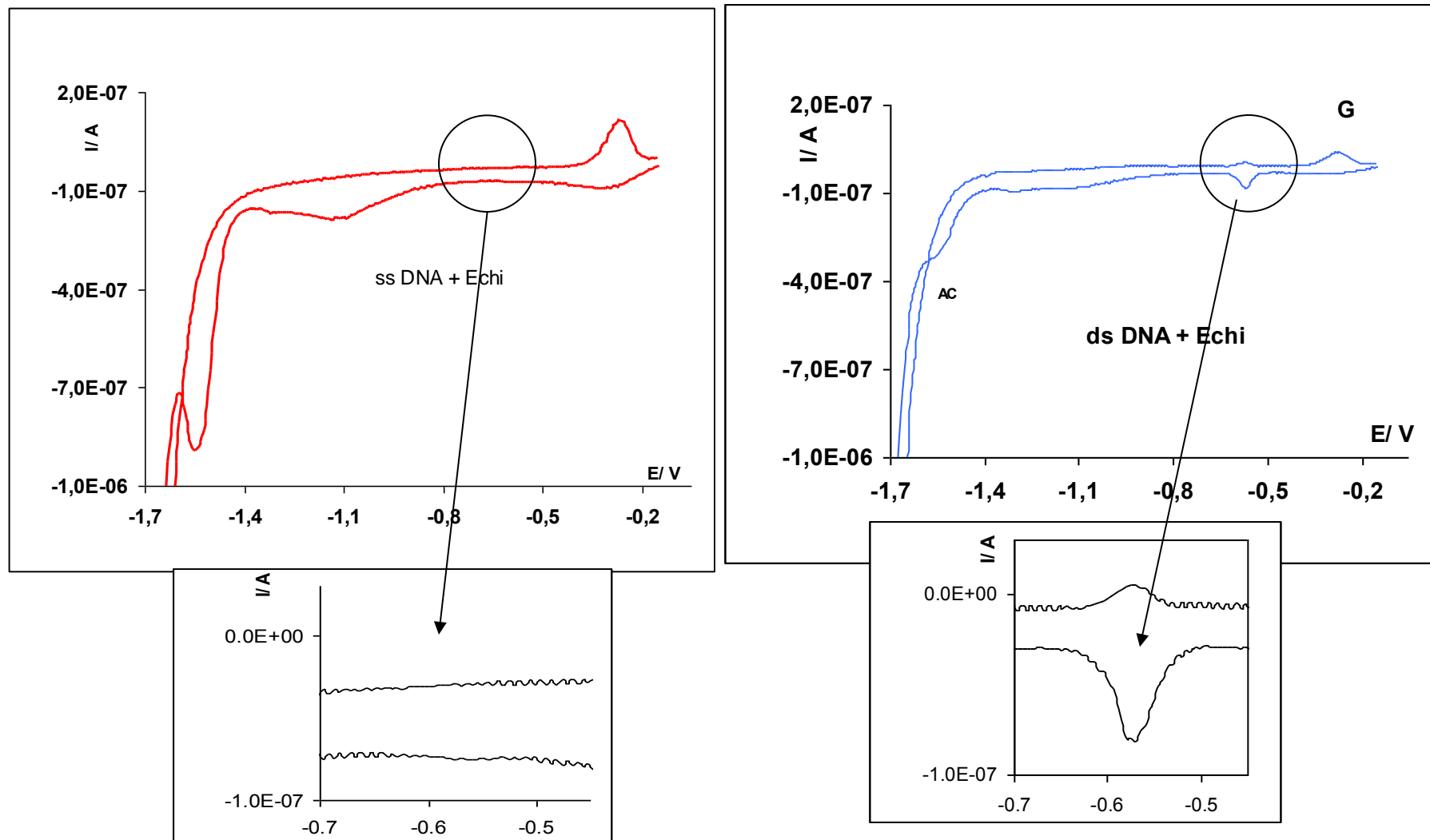
TRIOSTIN A

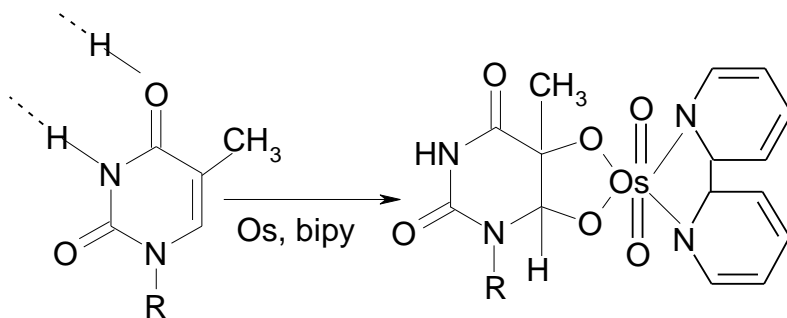
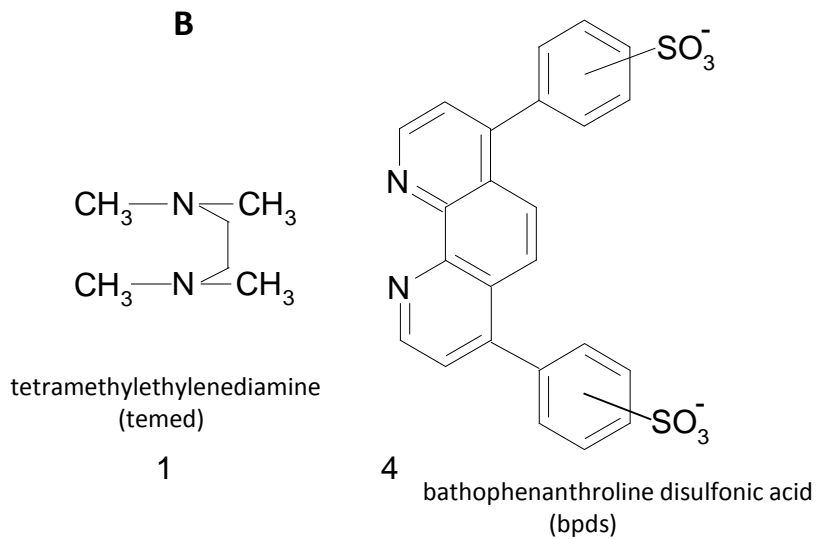
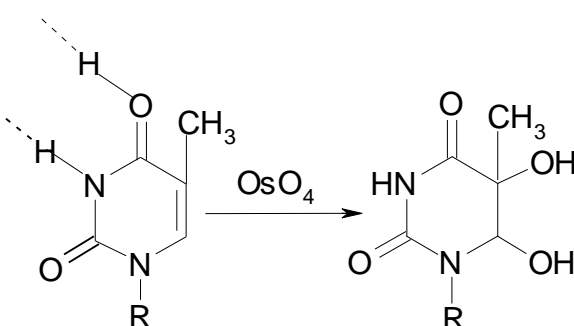


# Echinomycin

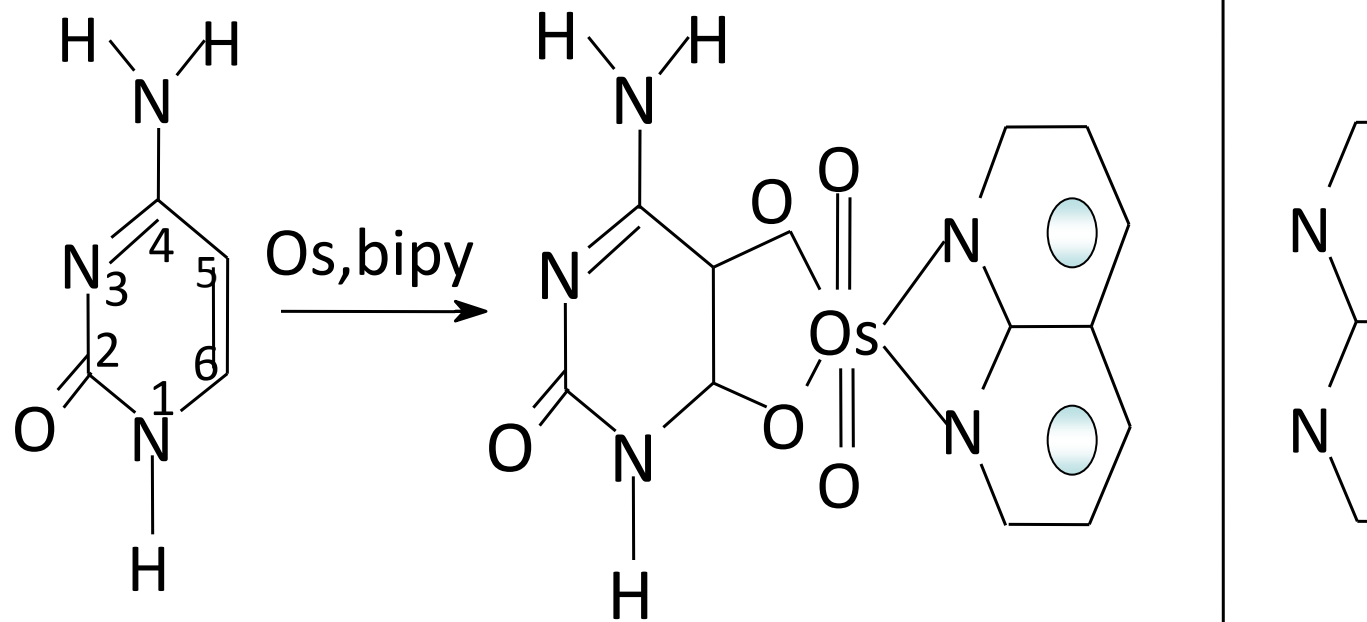


## ssDNA, dsDNA - echinomycin

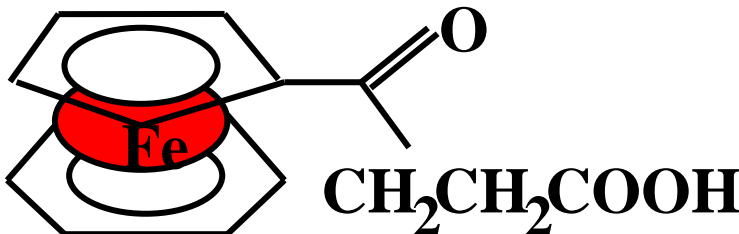
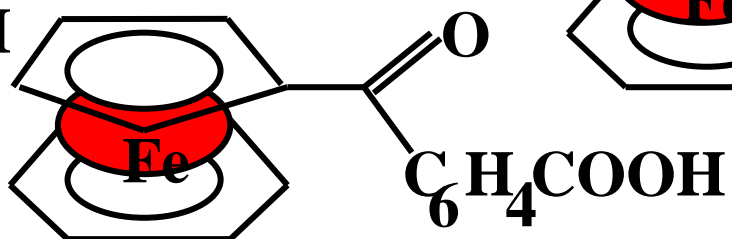
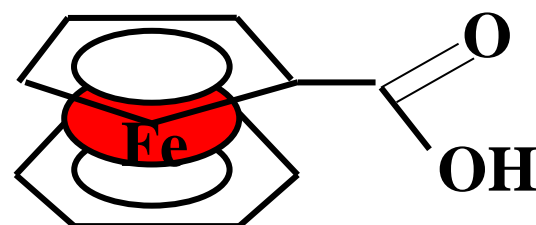
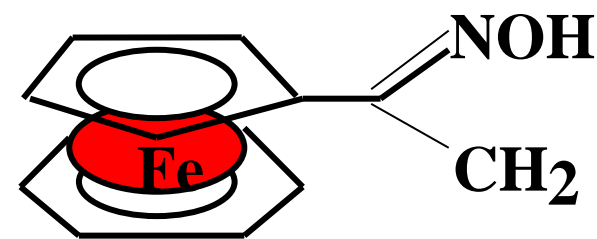
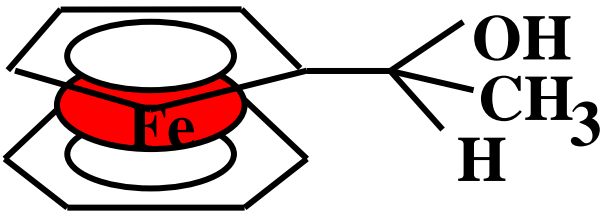
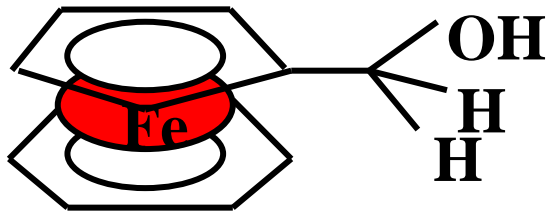
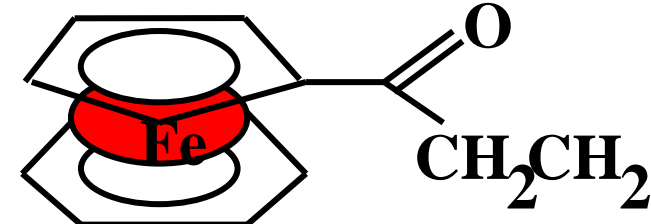
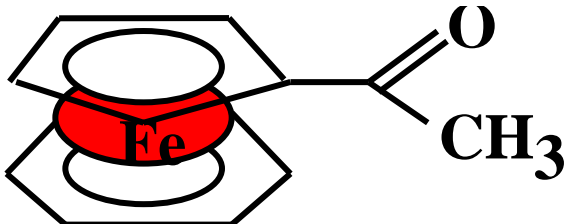
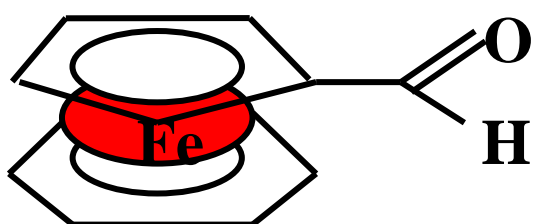


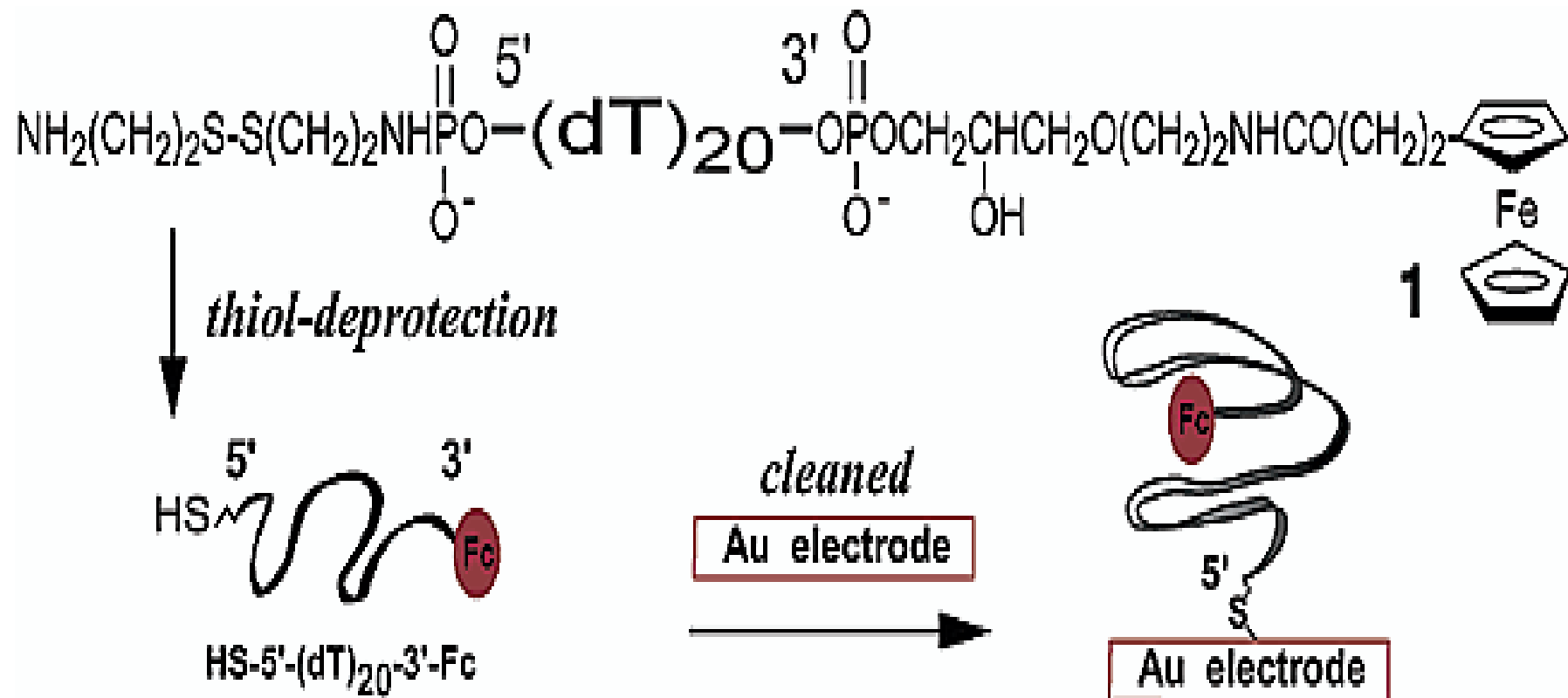


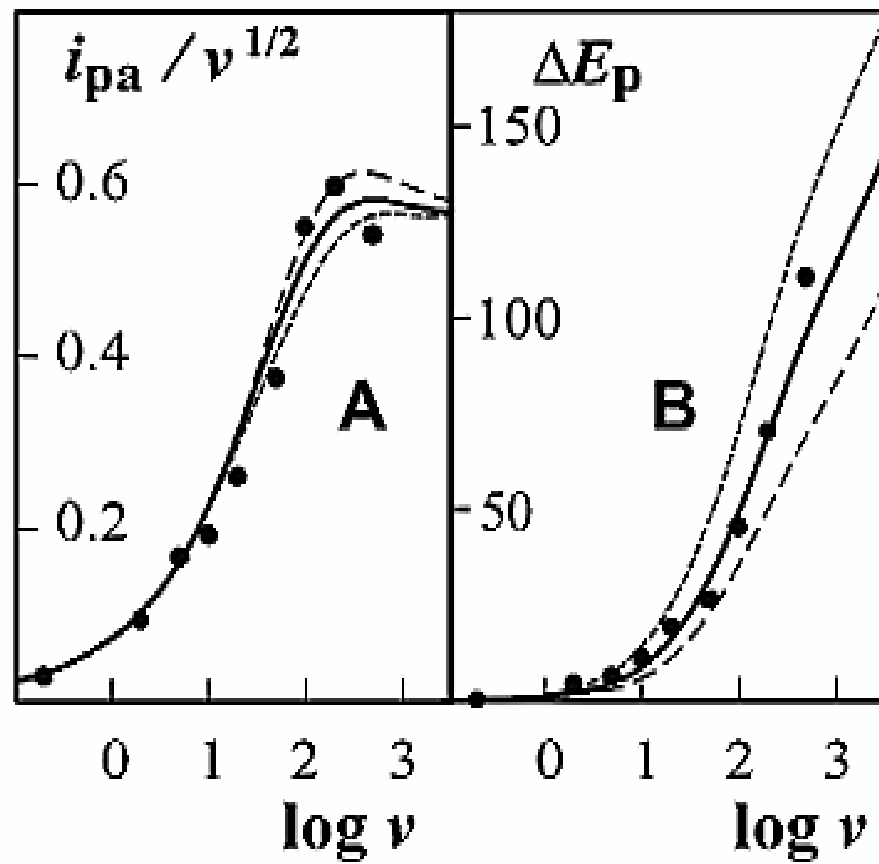
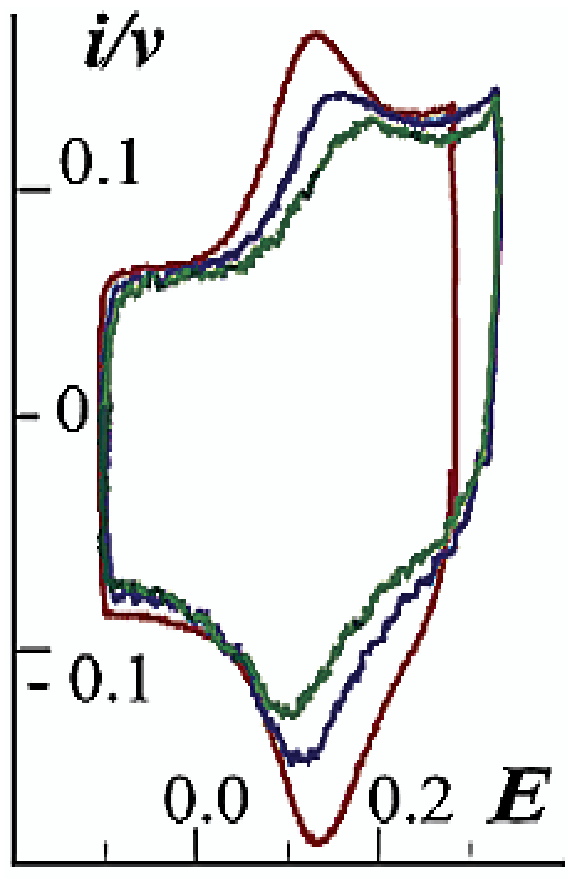
## Osmium oxide-bipyridin adukt

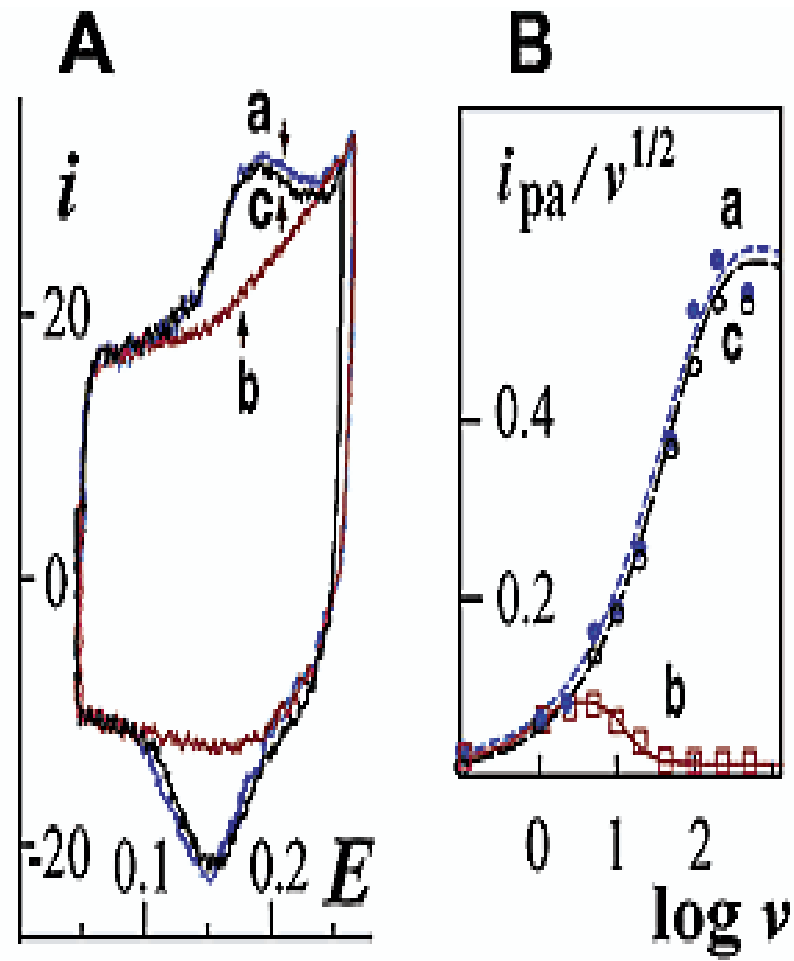
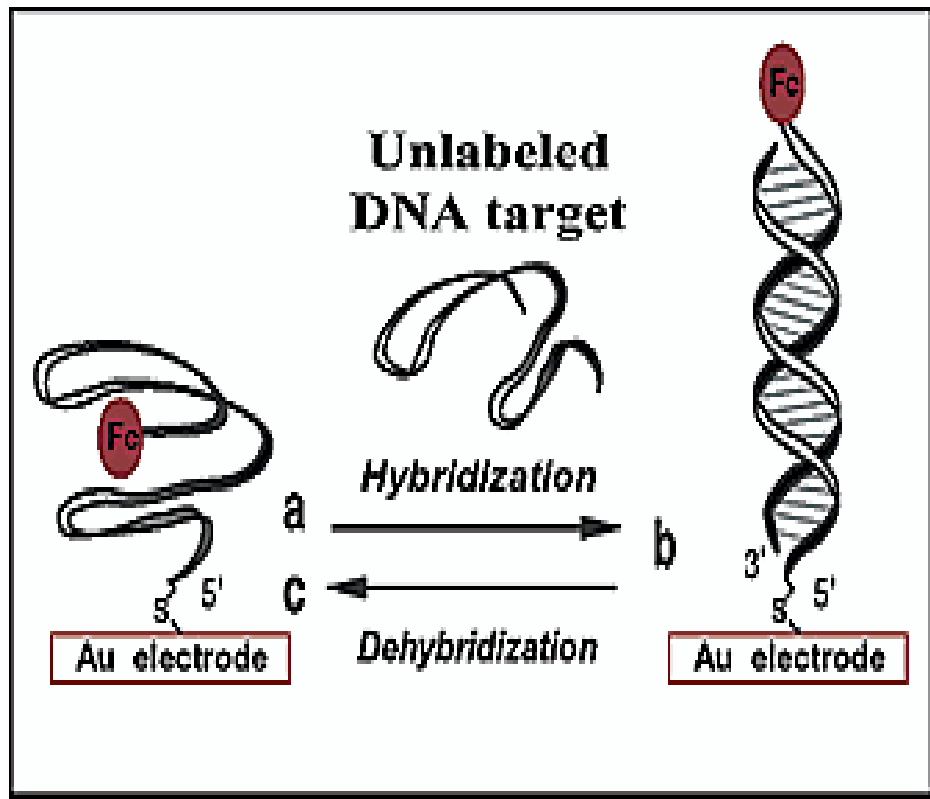


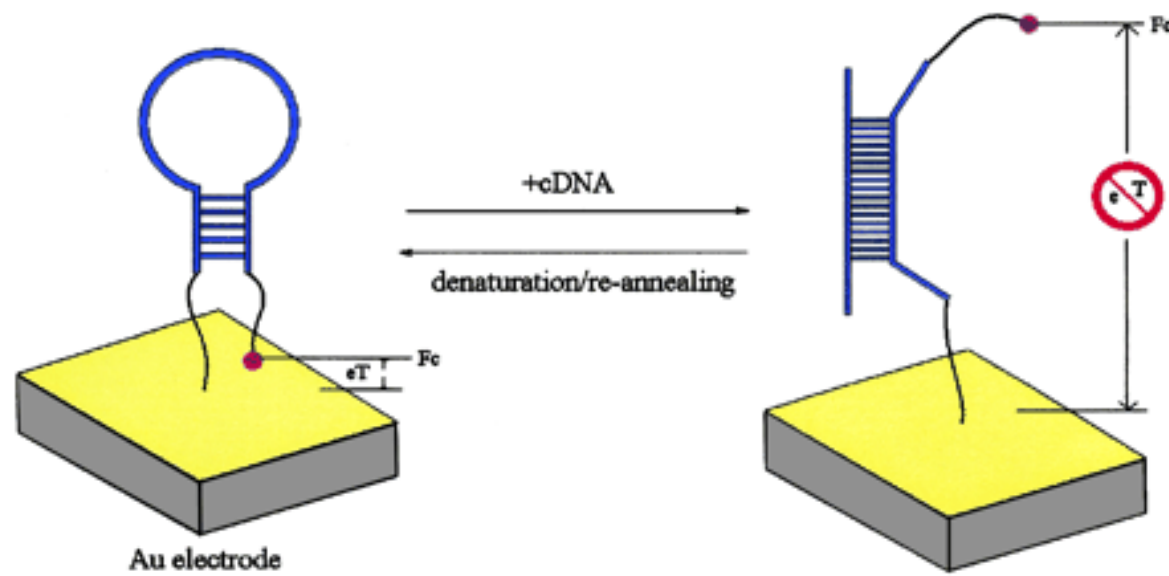
## DERIVÁTY FEROCENU

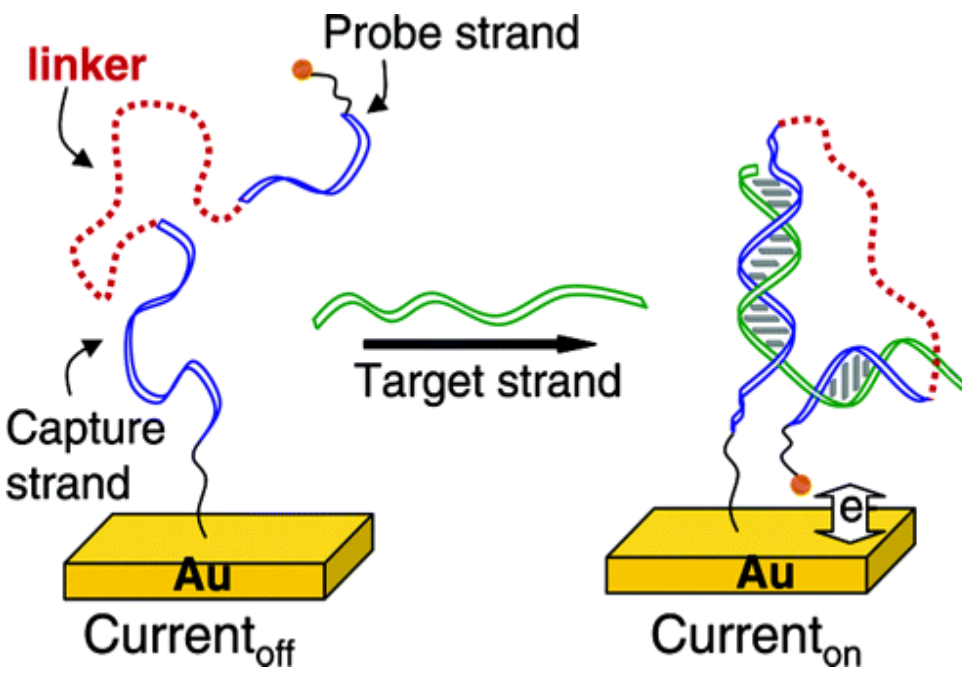












Scheme 1. Electrochemical Detection of Target Nucleic Acid Sequences  
Using a DNA Wrap Assay as Opposed to a Conventional  
Sandwich Assay

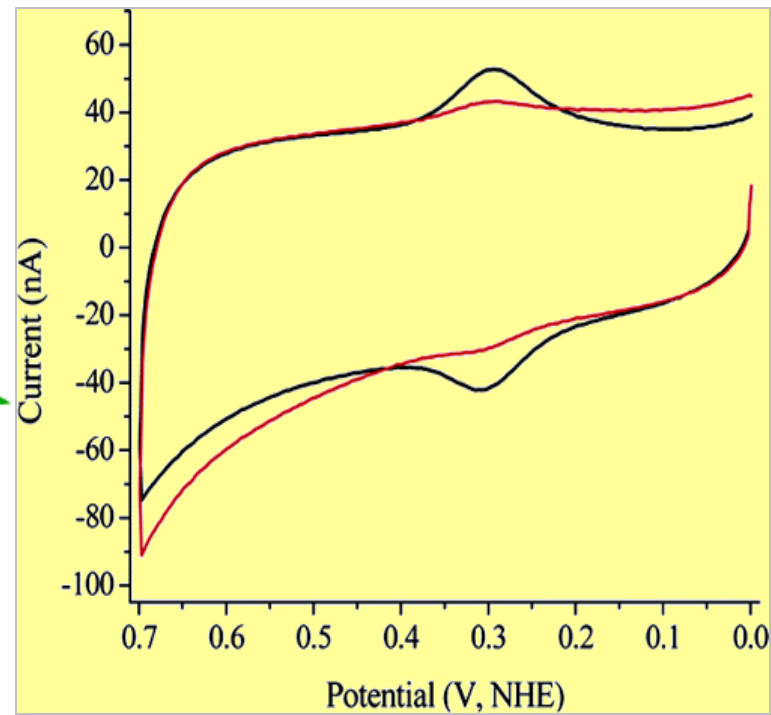
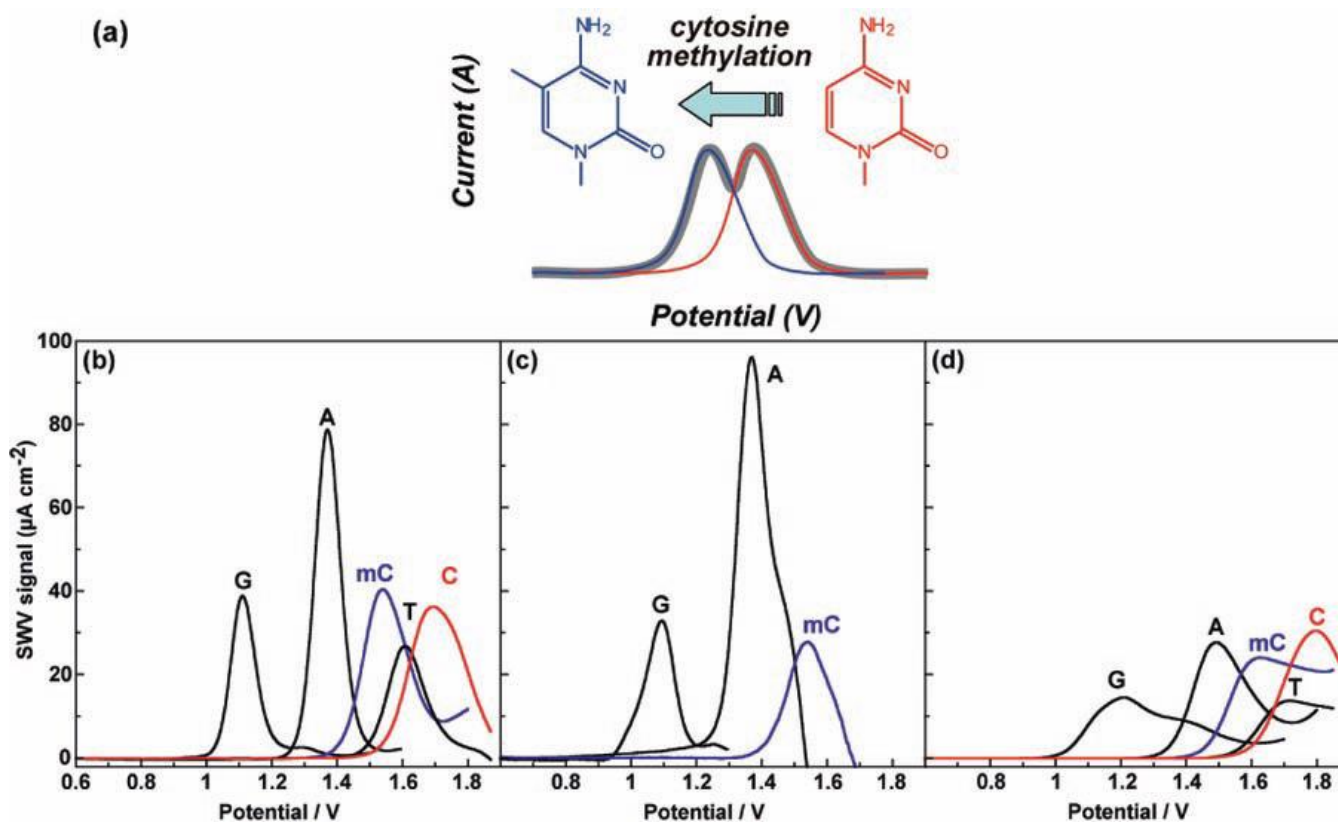


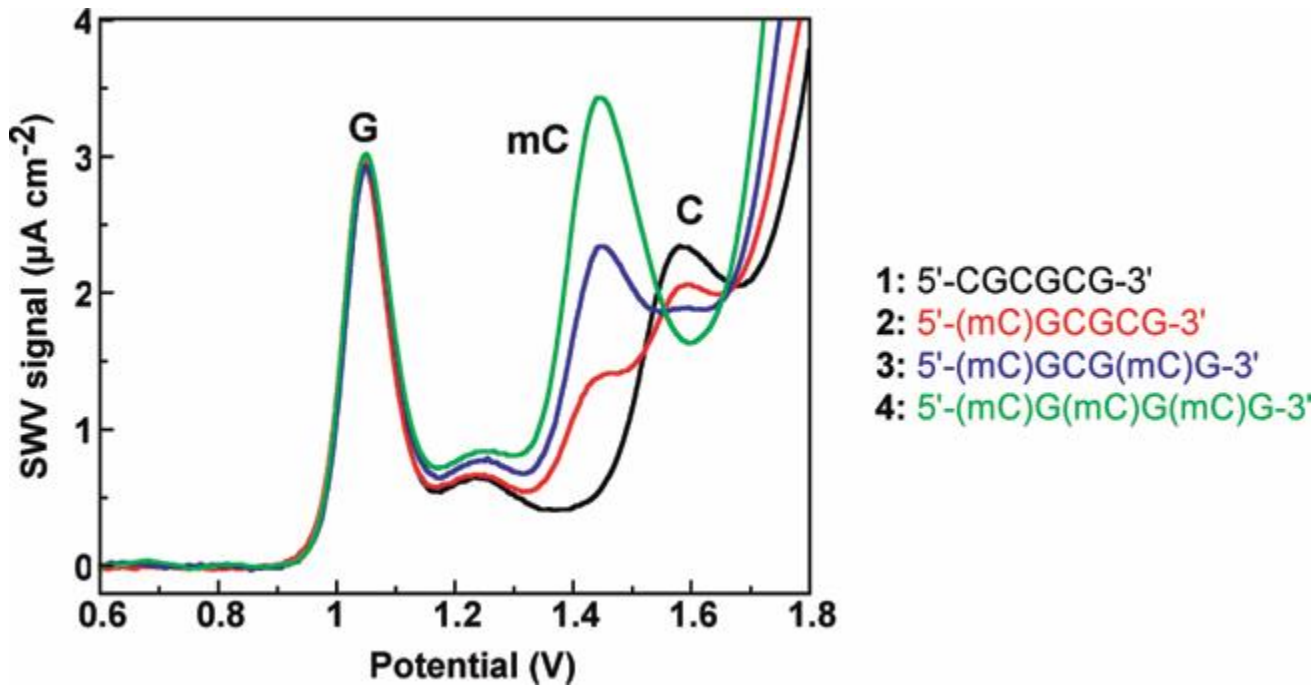
Figure 1 Cyclic voltammograms of 5'-Fc-DNA-PEG-DNA-SH-3' modified gold ball electrodes in the absence (red) and presence (black) of target DNA (200 nM). (Conditions: 100 mV/s, 25 mM phosphate buffer, 100 mM NaCl, pH 7.0).



#### A Nanocarbon Film Electrode as a Platform for Exploring DNA Methylation

Dai Kato,<sup>†,^</sup> Naoyuki Sekioka,<sup>†,‡</sup> Akio Ueda,<sup>†,§</sup> Ryoji Kurita,<sup>†</sup> Shigeru Hirono,<sup>jj</sup> Koji Suzuki,<sup>#,^</sup> and Osamu Niwa<sup>\*</sup>

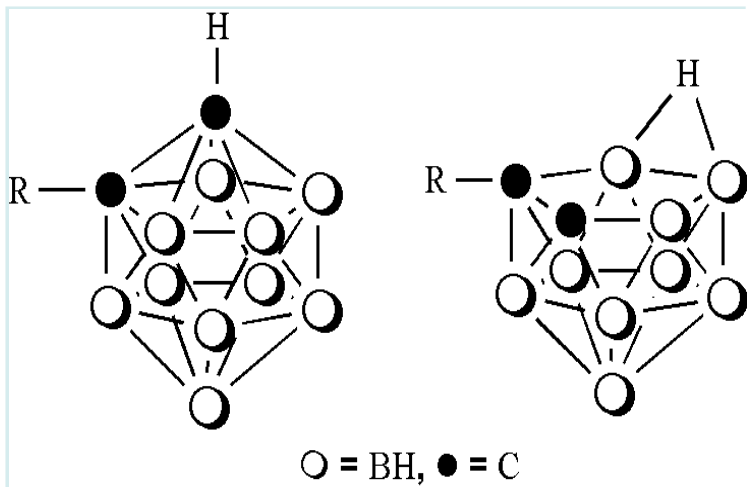
J. AM. CHEM. SOC. 9 VOL. 130, NO. 12, 2008 3717



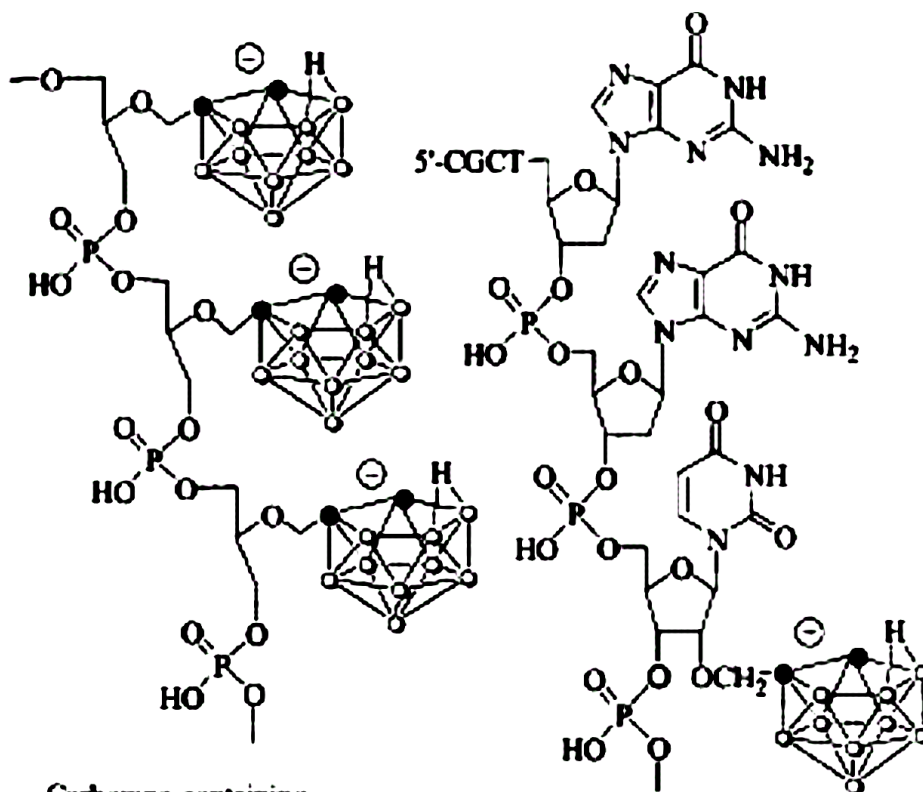
**A Nanocarbon Film Electrode as a Platform for Exploring DNA Methylation**

Dai Kato,<sup>†,‡</sup> Naoyuki Sekioka,<sup>†,‡</sup> Akio Ueda,<sup>†,§</sup> Ryoji Kurita,<sup>†</sup> Shigeru Hirono,<sup>jj</sup> Koji Suzuki,<sup>#,‡</sup> and Osamu Niwa<sup>\*</sup>

J. AM. CHEM. SOC. 9 VOL. 130, NO. 12, 2008 3717



*2'-O-(*o*-carboran-1-yl)methyloligonucleotides  
2'-CBM-oligonucleotide).*



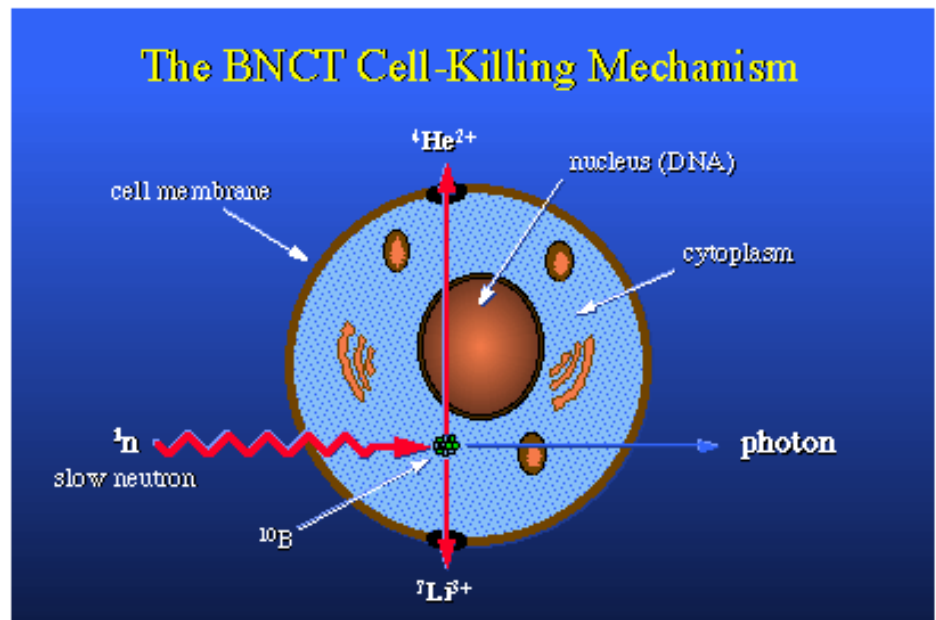
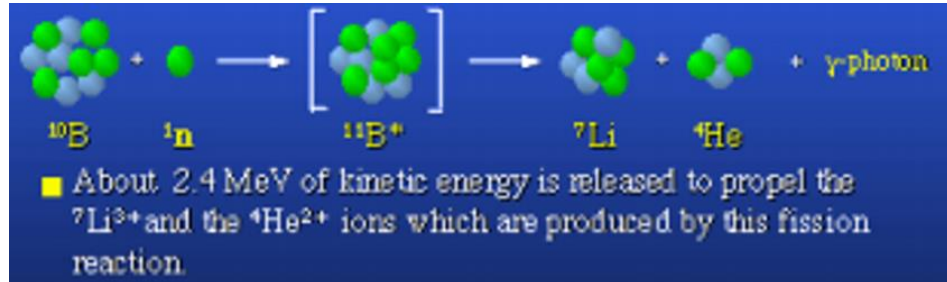
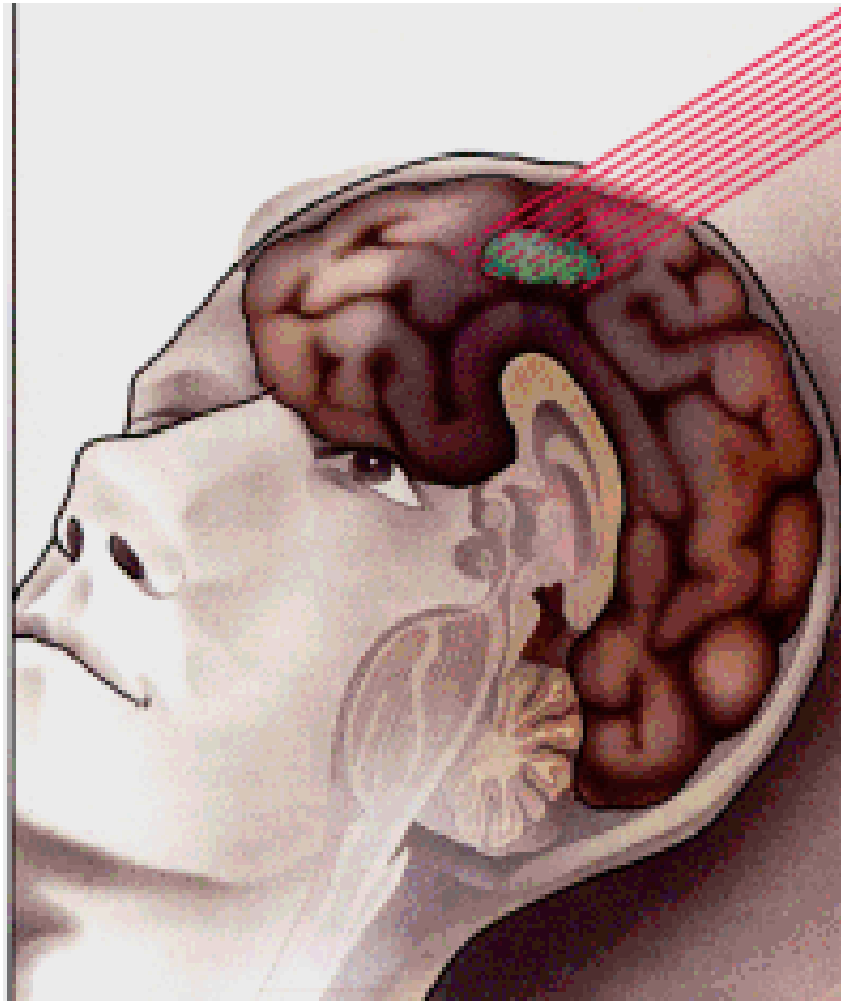
Carborane-containing  
oligomeric phosphate.

$\text{O} = \text{BH}$ ,  $\bullet = \text{C}$

Carborane-containing  
DNA-oligonucleotide  
(2'-CBM oligonucleotide)

Figure 2. Example of oligomeric *nido*-carborane phosphate diester (refs.[28,29]) and oligonucleotide containing *nido*-carborane group (ref.[53]).

# BNCT nádorů



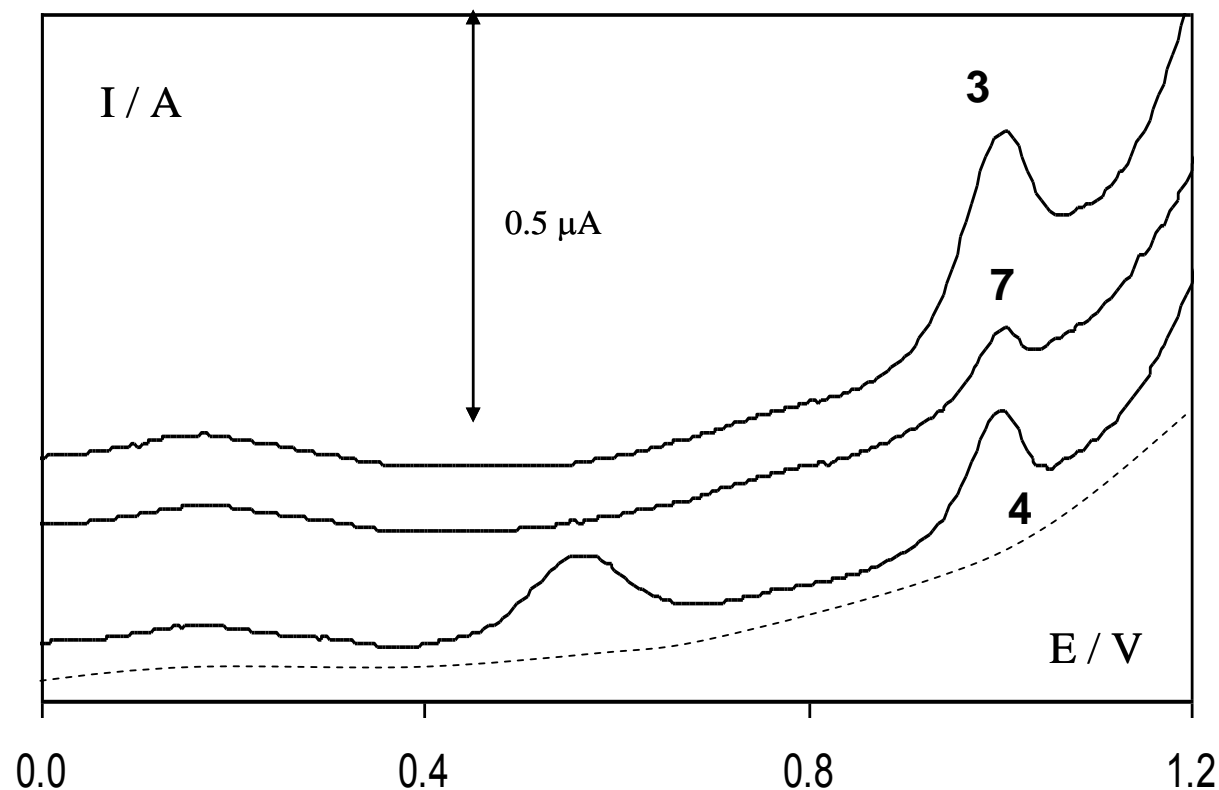
A

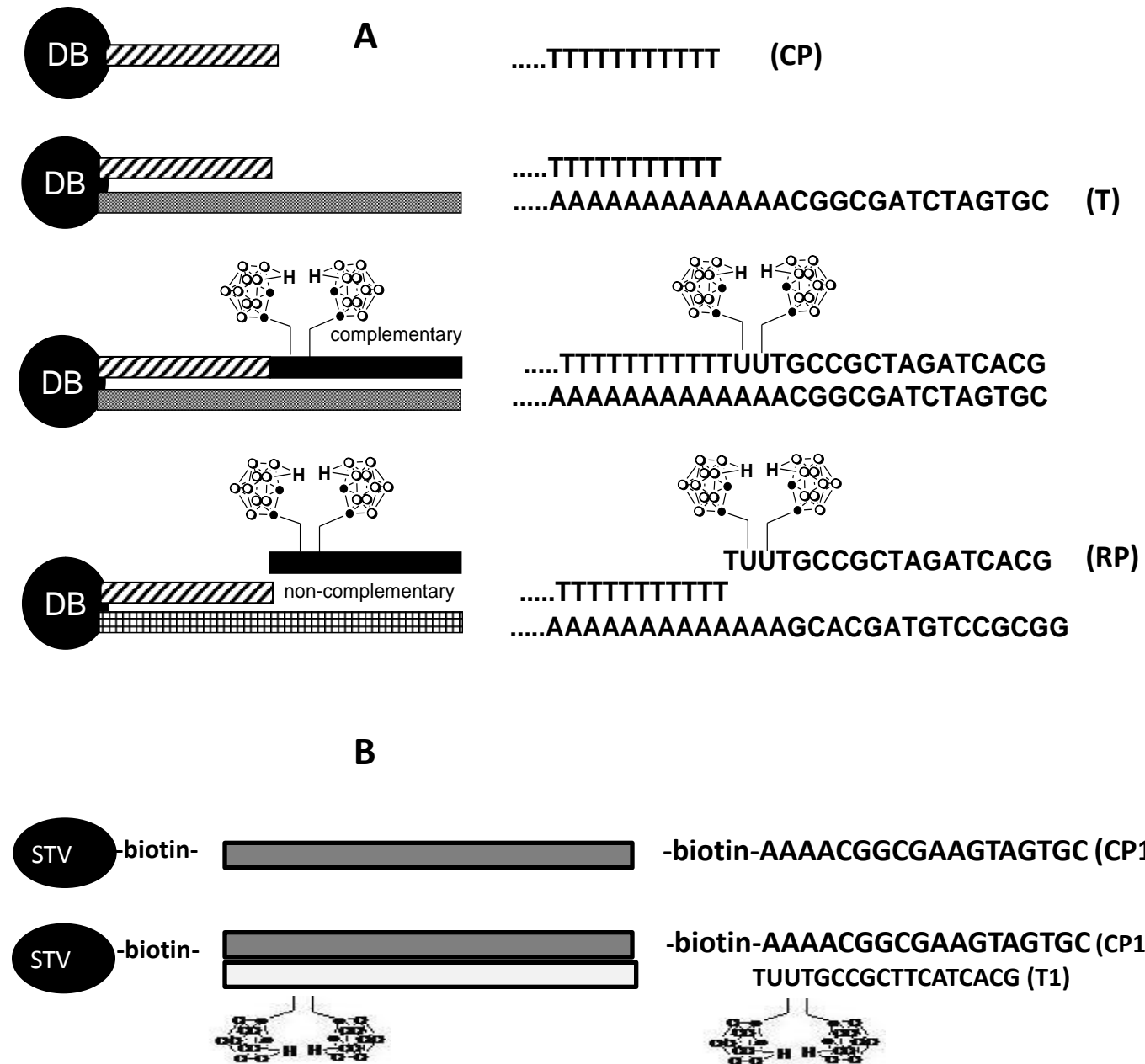
### *Number of bases*

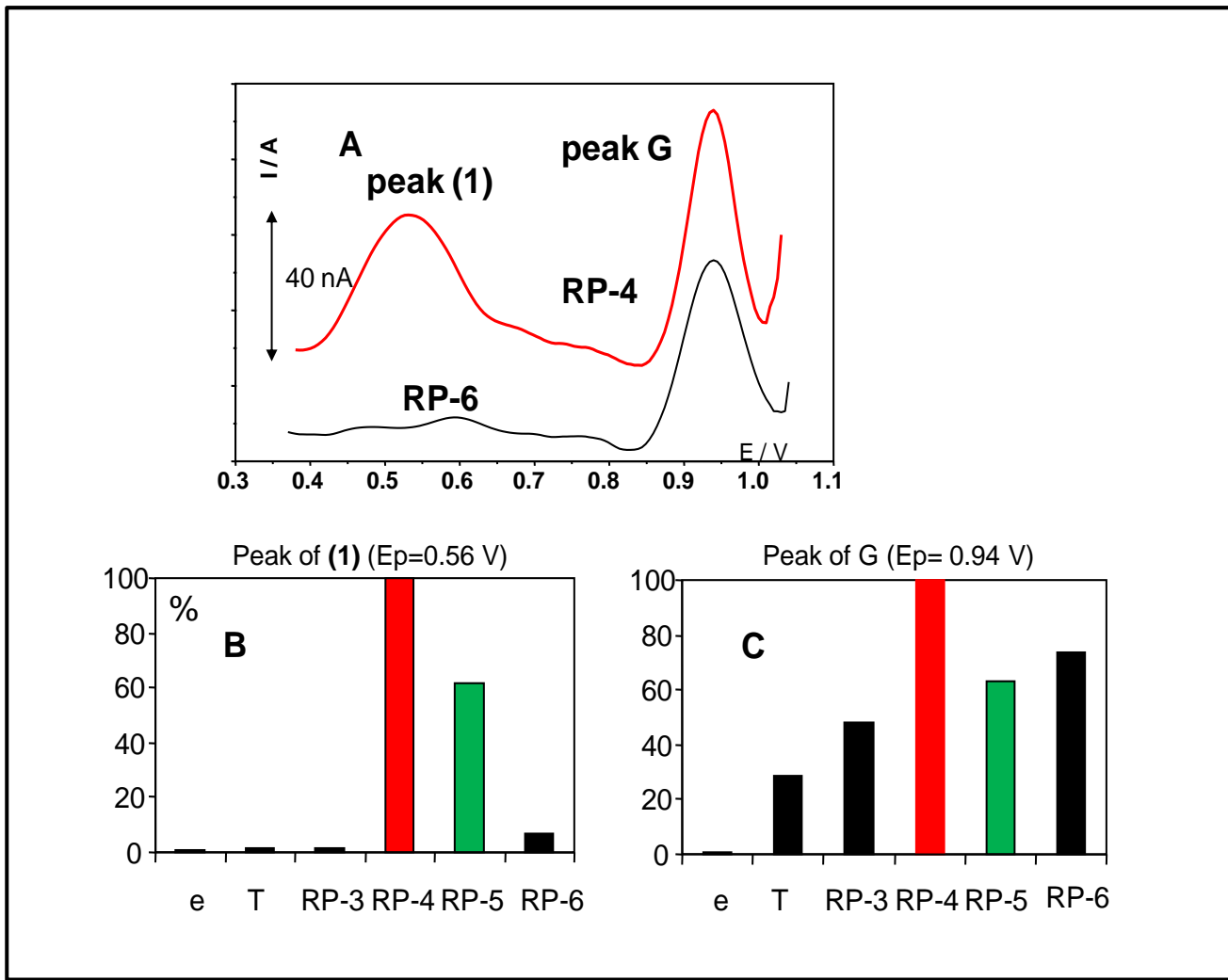
<i>ODN</i>		1	2	3	4	5	6	7	8	9	10	11	12	13	14	15	16	17	18	
T	5'-(A) <sub>25</sub>	A	A	A	C	G	G	C	G	A	T	C	T	A	G	T	G	C	-3'	
RP-3	5'-	G	C	A	C	T	A	G	A	T	C	G	C	C	G	T	T	T	-3'	
RP-4	5'-	G	C	A	C	T	A	G	A	T	C	G	C	C	G	T	<span style="color: blue;">U-L1</span>	<span style="color: blue;">U-L1</span>	T	-3'
RP-5	5'-	G	C	A	C	T	A	<span style="background-color: #cccccc; color: red;">C</span>	<span style="background-color: #cccccc; color: red;">T</span>	T	C	G	C	C	G	T	<span style="color: blue;">U-L1</span>	<span style="color: blue;">U-L1</span>	T	-3'
RP-6	5'-	C	C	G	C	G	G	A	C	A	T	C	G	T	G	C	<span style="color: blue;">U-L1</span>	<span style="color: blue;">U-L1</span>	T	-3'
RP-7	5'-	L <sub>2</sub> -G	C	A	C	T	A	G	A	T	C	G	C	C	G	T	T	T	T	-3'

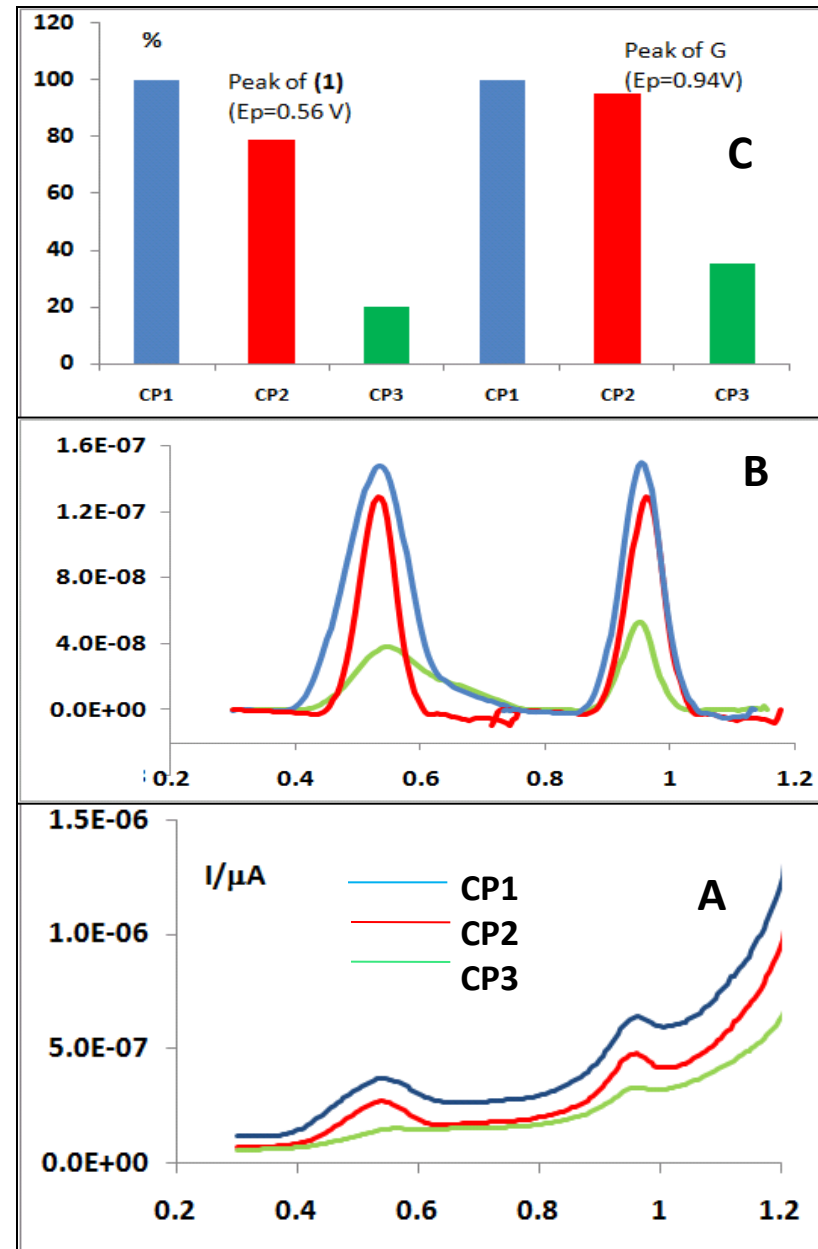
B

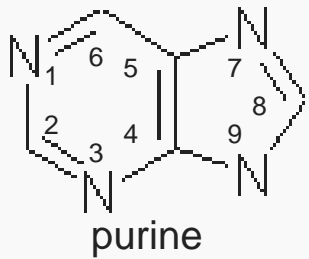
### ***Number of bases***









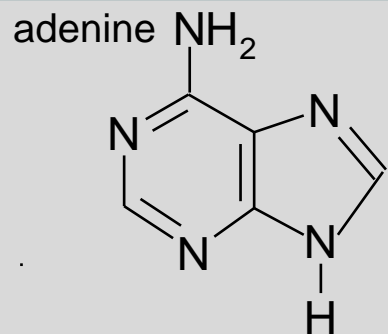


## Elektrochemie purinových derivátů

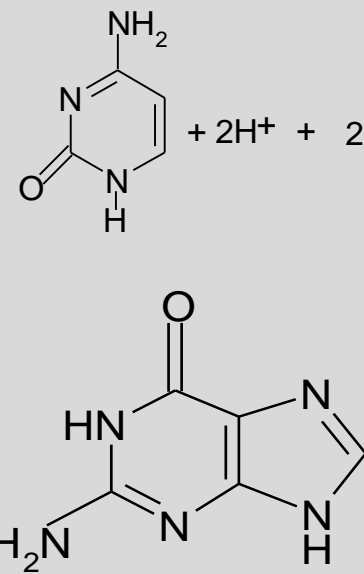
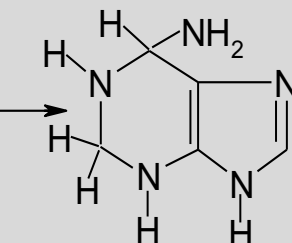
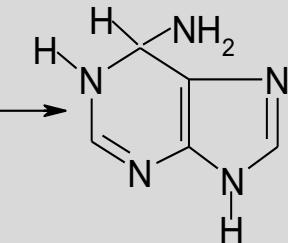
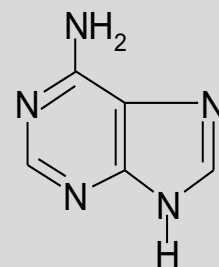
- elektroanalytické vlastnosti (kvantitativní analýza)
- elektrochemické vlastnosti (redox mechanismy, adsorpce)
- druhy elektrod

Elving, Dryhurst, Janík, Zuman, Paleček, Goyal, Czochralska,  
Nurnberg, Malfoy, Sequareis, Vetterl, Retter, Brabec, DeLevie  
Wang, Florence, Sawamoto, Brett, Trnková.....

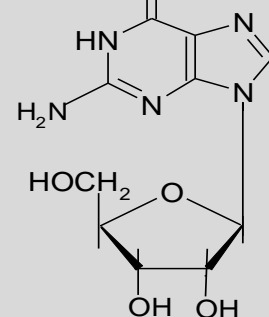
## REDUKCE



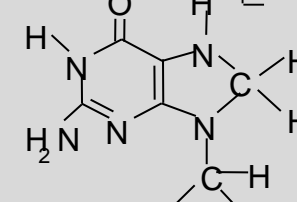
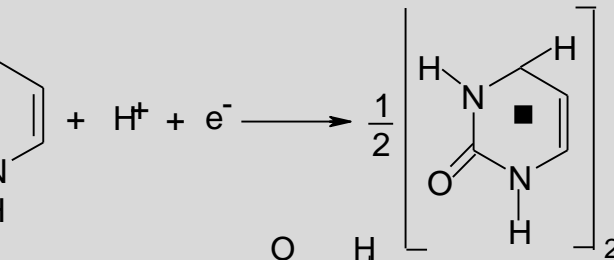
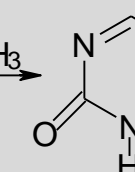
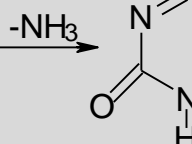
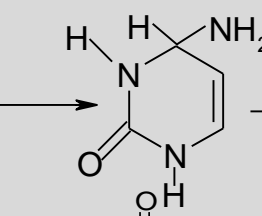
**C -CYTOSIN**



**G -GUANINE**



guanosine



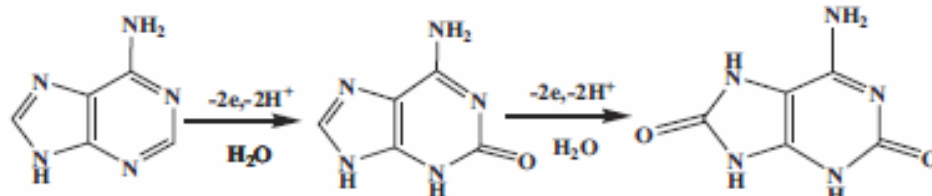
**7,8-dihydroguanosine**



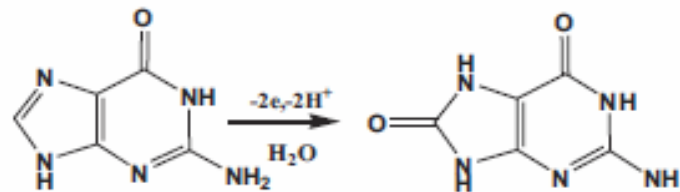
TABLE 3-2 Half-Wave Potentials for Purine DC Polarographic Reductions at DME in Aqueous Solutions

Name	Wave <sup>a</sup>	pH Range	$E_{1/2}$ (V versus SCE)	Reference
Purine	I	0 to ca. 11 <sup>b</sup>	-0.697 - 0.083 pH	71, 72
	II	0 to ca. 11	-0.902 - 0.080 pH	71, 72
Adenine	I	1-6	-0.975 - 0.090 pH	71
Hypoxanthine	I	5.7 <sup>c</sup>	-1.61	71
Guanine	NR <sup>d</sup>			
6-Methylpurine	I	1.0-3.9	-0.820 - 0.079 pH	73
		3.9-6.0	-0.745 - 0.091 pH	73
	II	2.5-6.0	-0.915 - 0.082 pH	73
		3.9-5.9	-0.765 - 0.162 pH	73
	III	6.0-7.4	-0.785 - 0.095 pH	73
		7.4-7.8	-0.080 - 0.209 pH	73
6-Methoxypurine	I	2.5-4.2	-0.825 - 0.105 pH	73
		4.2-5.5	-0.535 - 0.174 pH	73
6-Methylaminopurine	I	1.0-6.5	-0.995 - 0.081 pH	73
6-n-Hexylaminopurine	I	1.0-2.5	-0.995 - 0.076 pH	73
		2.5-3.7	-1.105 - 0.047 pH	73
		3.7-6.5	-0.995 - 0.076 pH	73
		2.0-4.8	-0.995 - 0.067 pH	73
6-Benzylaminopurine	I	4.8-6.4	-0.805 - 0.106 pH	73
		2.5-4.7	-0.915 - 0.072 pH	73
6-Phenylaminopurine	I	4.7-7.9	-0.640 - 0.131 pH	73
		2.0-4.5	-1.025 - 0.068 pH	73
6-Dimethylaminopurine	I	4.5-6.4	-0.930 - 0.089 pH	73
		1.0-4.0	-0.300 - 0.072 pH	73
2-Oxy-6-aminopurine (isoguanine)	I	4.6-7.2	-0.820 - 0.109 pH	73
		7.2-9.6	-1.210 - 0.055 pH	73
		8.5-9.1	-0.705 - 0.104 pH	73
		0-5	-0.79 - 0.116 pH	84
6-Thiopurine (6-mercaptopurine)	II	0-2.3	-1.00 - 0.048 pH	84
	III	5-8	-1.29 - 0.027 pH	84
	IV	9.1 <sup>e</sup>	-1.74	84
Purine-6-sulfonic acid	I	1-9.1	-0.37 - 0.094 pH	84
	II	8-12.3	-0.79 - 0.075 pH	84
	III	3.6-9	-0.99 - 0.080 pH	84
		1-7	-0.45 - 0.078 pH	84
Purine-6-sulfonic acid	II	3.6-12.5	-0.675 - 0.079 pH	84
	III	1-9	-0.98 - 0.064 pH	84
	IV	9.1 <sup>e</sup>	-1.45	84
Purine-2,6-disulfonic acid	I <sub>a</sub> <sup>f</sup>	0-4.75	-0.53 - 0.103 pH	84
	II	0-3.5	-0.68 - 0.084 pH	84
	III	0-3.5	-0.82 - 0.077 pH	84
	IV <sub>a</sub>	0-4.75	-1.01 - 0.062 pH	84
	I <sub>b</sub>	6.8-12.75	-0.89 - 0.058 pH	84
	IV <sub>b</sub>	6.8-10.7	-0.86 - 0.086 pH	84

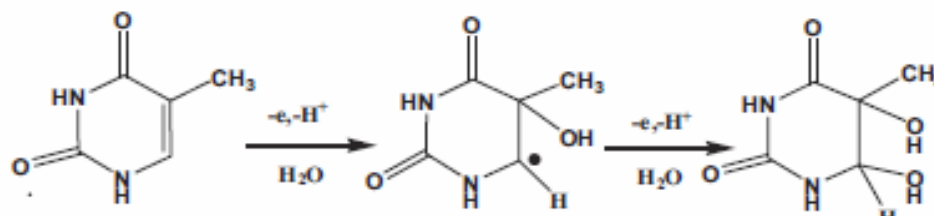
# OXIDACE



A

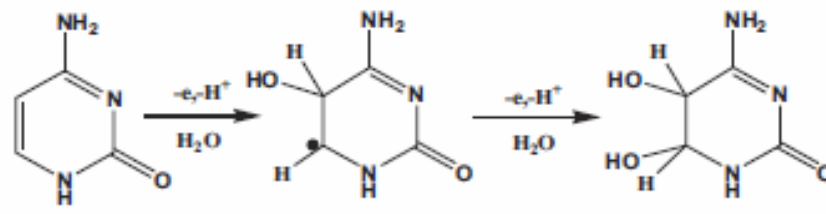


G



T

Thymine glycol



C

Cytosine glycol

TABLE 3-10 Linear  $E_p$  versus pH Relationships for Oxidation of Some Purines at the Stationary Pyrolytic Graphite Electrode<sup>a</sup>

Compound	Peak	pH Range	$E_p$ (V versus SCE)	Reference
Purine		0–14	NO <sup>b</sup>	116
Theobromine (3,7-dimethyl- xanthine)	I	2.3–5.5	1.67 – 0.064 pH	121, 170
Caffeine (1,3,7-trimethyl- xanthine)	I	2.3–5.5	1.59 – 0.042 pH	121, 170
Adenine	I	3.6–10	1.39 – 0.051 pH <sup>c</sup>	190
	I	0–12	1.338 – 0.063 pH <sup>d</sup>	192
Theophylline (1,3-dimethyl- xanthine)	I	4–9	1.35 – 0.069 pH <sup>e</sup>	121, 172
	II	2.3–8.5	1.45 – 0.056 pH	
1,7-Dimethyl- xanthine	I	0–12.5	1.31 – 0.059 pH	121
Hypoxanthine	I	0–5.7	1.27 – 0.067 pH <sup>f</sup>	116
3-Methylxanthine	I	5.5–12.5	1.20 – 0.056 pH <sup>e</sup>	121
	II	0–11.9	1.27 – 0.050 pH	
7-Methylxanthine	I	7–12.5	1.19 – 0.049 pH <sup>e</sup>	121
	II	0–12.5	1.22 – 0.042 pH	
Guanine	I	0–12.5	1.12 – 0.065 pH	207
Xanthine	I	0–12.5	1.07 – 0.060 pH	121
Isoguanine	I	2 M H <sub>2</sub> SO <sub>4</sub>	1.05 <sup>f,g</sup>	116
1-Methylxanthine	I	0–12.5	1.05 – 0.049 pH	121
6-Thiopurine	I	2–8	0.51 – 0.047 pH <sup>e</sup>	
	II	0–12	0.81 – 0.052 pH	218
	III	2–10	1.88 – 0.136 pH	
2,6-Dithiopurine	I	1–8	0.61 – 0.057 pH <sup>e</sup>	226
	II	4.7–9	1.26 – 0.062 pH	
	III	4.7–12.5	1.86 – 0.100 pH	
Uric acid	I	2.3–5.7	0.59 – 0.073 pH <sup>f,h</sup>	116
	I	0–12	0.76 – 0.069 pH	119
2-Thiopurine	I	0–9	0.36 – 0.049 pH	225
	II	4–13	1.83 – 0.082 pH	

<sup>a</sup> Except where otherwise stated the scan rate was 3.3 mV sec<sup>-1</sup>.

<sup>b</sup> Not oxidized.

<sup>c</sup> Scan rate, 60 mV sec<sup>-1</sup>.

<sup>d</sup> Scan rate, 5 mV sec<sup>-1</sup>.

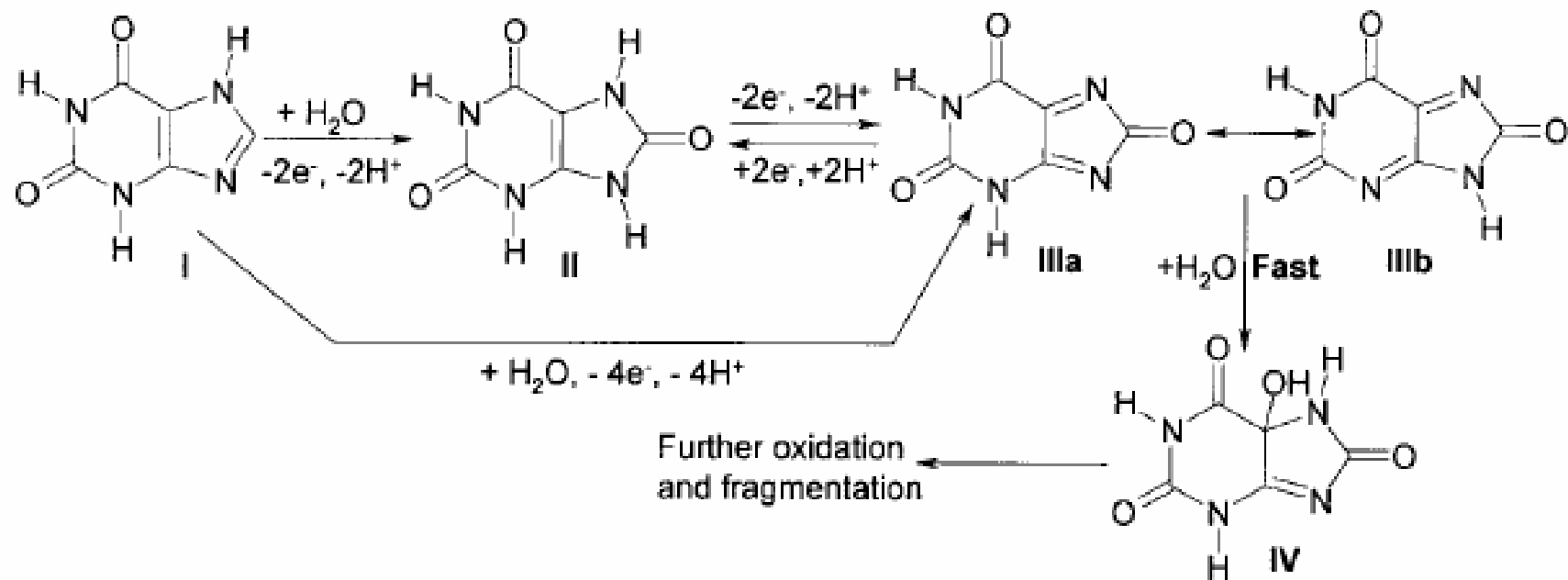
<sup>e</sup> Adsorption peak.

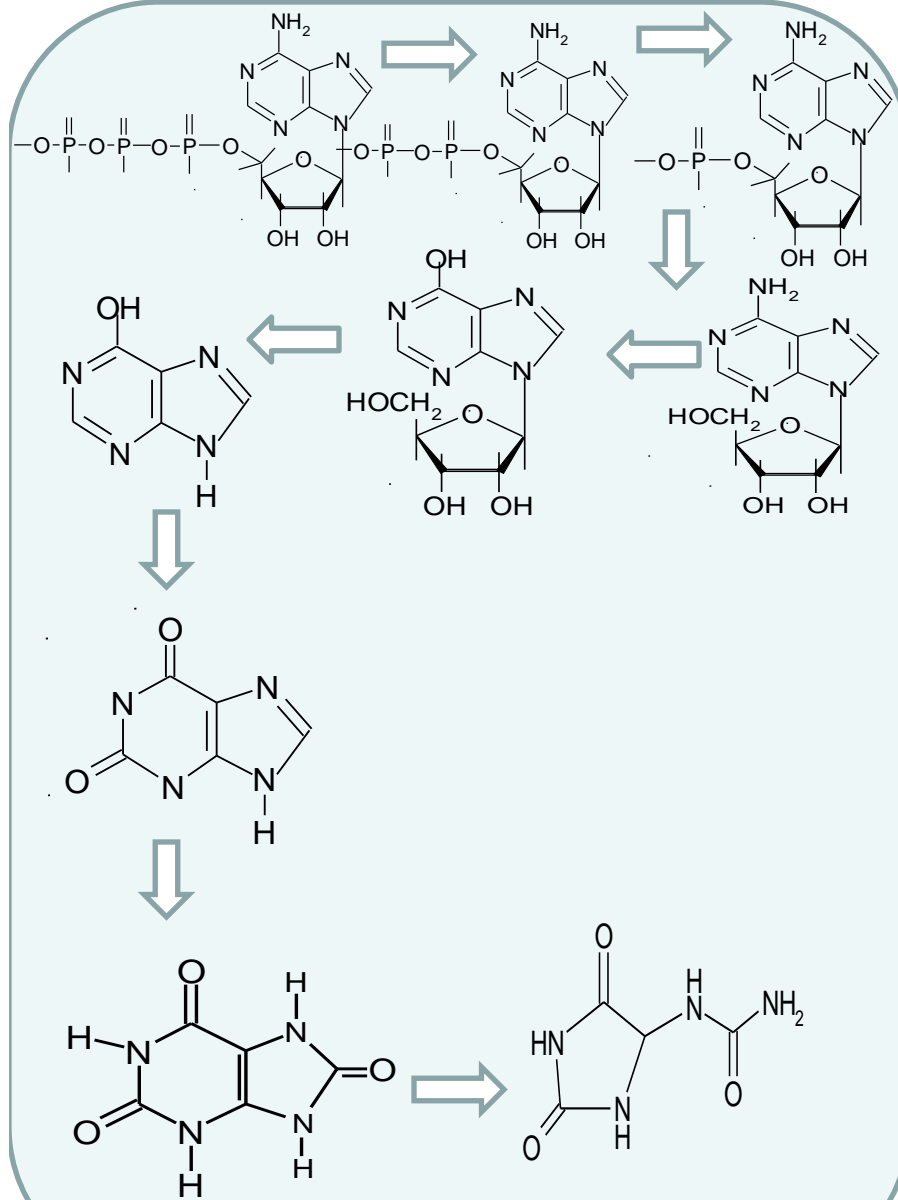
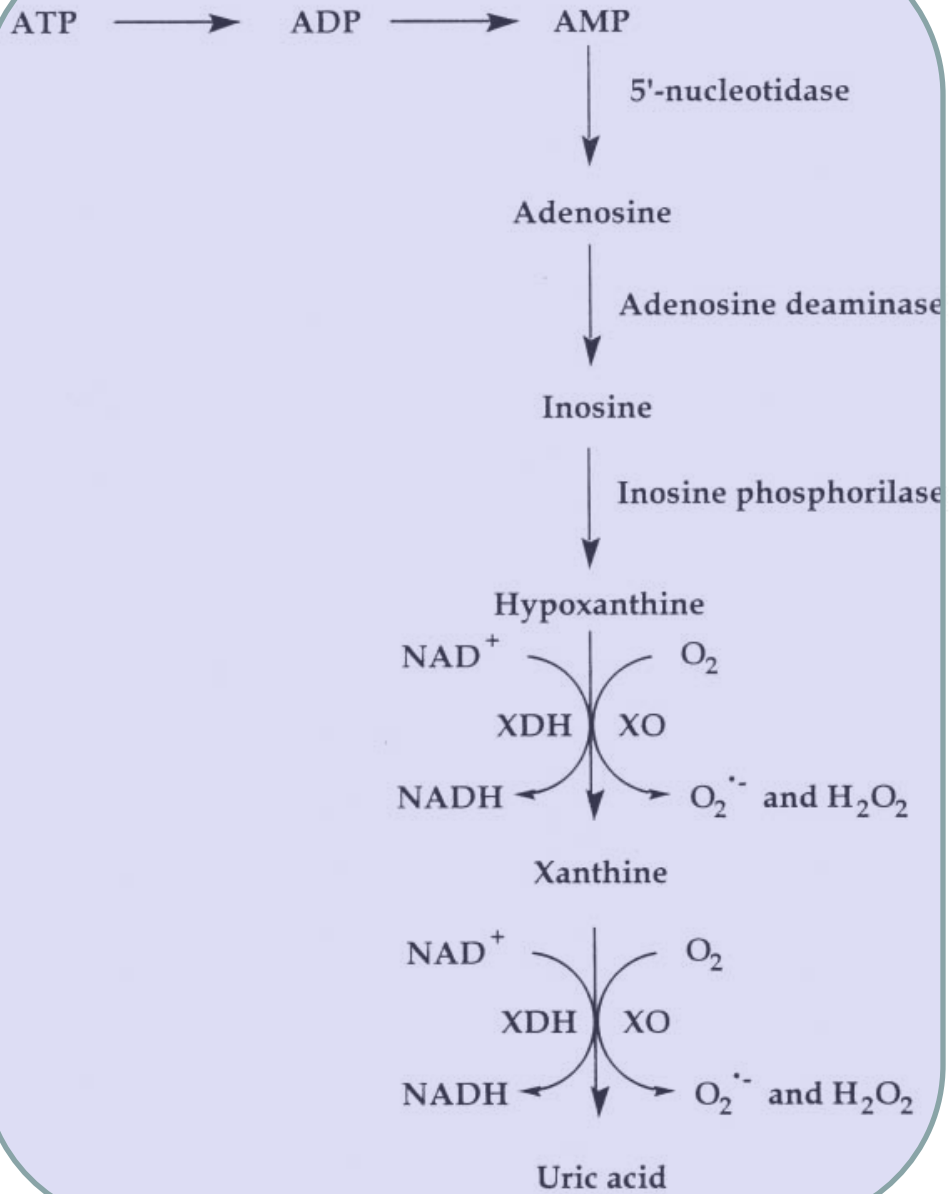
<sup>f</sup> Equation for the half-peak potential,  $E_{p/2}$ , at wax-impregnated spectroscopic graphite electrode.

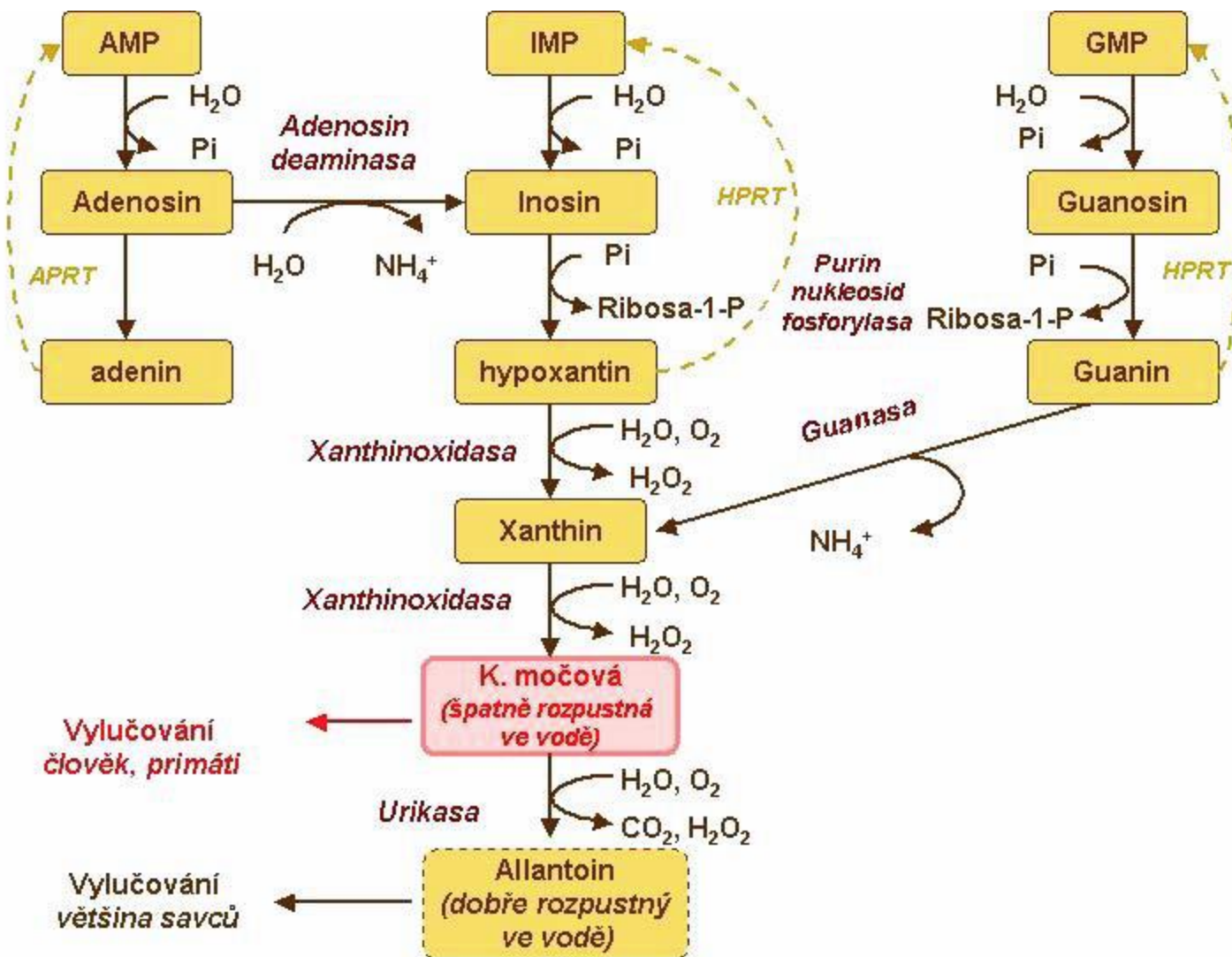
<sup>g</sup> Only one data point available.

<sup>h</sup> Equation based on three data points.

## Xanthine oxidation





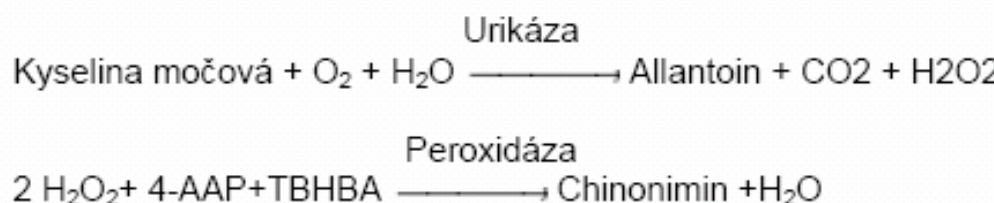


Deficit hypoxanthin-fosphoribosyltransferázy ( <b>HPRT</b> ), částečný = Kelley-Seegmillerův syndrom, kompletní= Lesch-Nyhanův syndrom
Deficit adeninosfornosforyltransferázy ( <b>APRT</b> ), 2,8 - dihydroxyadeninová litiáza
Deficit xanthinoxidázy ( <b>XOD</b> ), dědičná xanthinurie
Deficit adenosindeaminázy ( <b>ADA</b> )
Zvýšená aktivita adenosindeaminázy ( <b>ADA</b> )
Deficit purinnukleosidfosforylázy ( <b>PNP</b> )
Deficit myoadenyládeaminázy ( <b>M-AMPDA</b> )
Deficit adenylosukcinátlyázy ( <b>ASase</b> )
Deficit molybdenového kofaktoru – deficit sulfitoxidázy SO, xanthinoxidázy XOD
Familiární juvenilní hyperurikemická nefropatie ( <b>FJHN</b> )
Zvýšená aktivita fosforibosyldifosfátsynthetázy ( <b>PRPPs</b> )
Primární dna
Dědičná renální hypourikémie
Deficit inosintrifosfát pyrofosfohydrolázy ( <b>ITP</b> )

Kyselina močová je hlavním produktem katabolismu purinových nukleosidů, adenosinu a guanosinu. Puriny z katabolismu nukleových kyselin přijímaných potravou jsou přímopřeměňovány na kyselinu močovou. Denní syntéza kyseliny močové je asi 400 mg, zdroje z potravy přispívají dalšími 300 mg. Nadměrná produkce kyseliny močové může mít zanásledek zvýšenou syntézu prekurzorů purinu. Asi 75 % vylučované kyseliny močové odchází močí. Většina zbývajícího množství je vylučována do zažívací soustavy, kde se působením bakteriálních enzymů rozkládá na allantoin a další sloučeniny. Prevalence hyperurikémie je vysoká, zvláště v západní Evropě a Severní Americe. Životní styl má vliv na míru hyperurikémie; určujícím faktorem jsou především stravovací návyky, pravidelná konzumace alkoholu, nedostatečná tělesná aktivita a užívané léky. Hyperurikémie se dělí na dva typy - primární a sekundární: nadměrná produkce kyseliny močové a snížené vylučování kyseliny močové ledvinami. Hyperurikémie má následující komplikace: akutní záchvat dny, chronickou dnu postihující měkké tkáně a onemocnění ledvin. Ke dně dochází při precipitaci urátu sodného z přesycených tělesných tekutin.

### **PRINCIP POSTUPU**

Kyselina močová je oxidována na allantoin enzymem urikázou za vzniku H<sub>2</sub>O<sub>2</sub>. Peroxid reaguje se 4-aminoantipyrinem (4-AAP) a kyselinou 2,4,5-tribrom-3-hydroxybenzoovou (TBHBA) za přítomnosti peroxidázy a vytváří chinoniminové barvivo. Výsledná změna absorbance při 510 nm (500 - 550 nm) je přímo úměrná koncentraci kyseliny močové ve vzorku. (3, 4).

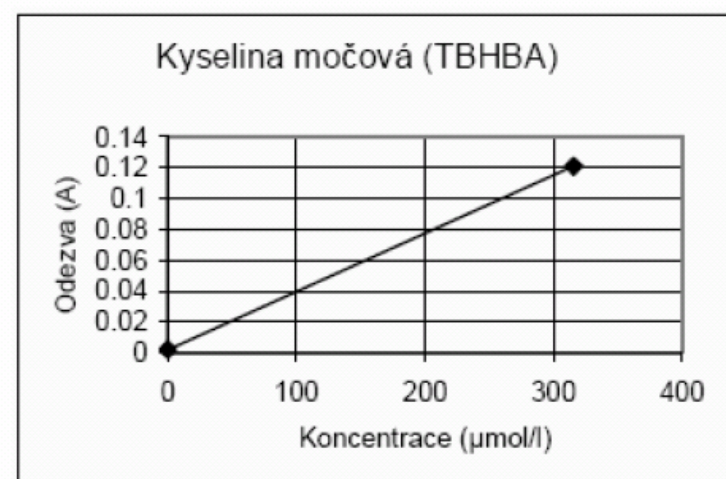


### **PŘEDPOKLÁDANÉ HODNOTY (1)**

Sérum, dospělí:

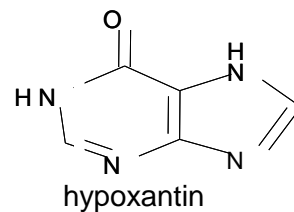
Muži: 210 – 420 µmol/l (3.5 – 7.2 mg/dl)

Ženy: 150 – 350 µmol/l (2.6 – 6.0 mg/dl)



DPV, CPE

5  $\mu$ A

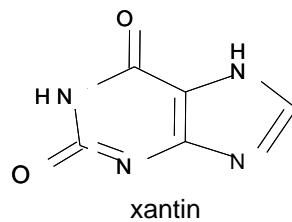


0,20 0,45 0,70 0,95 E / V 1,10

el

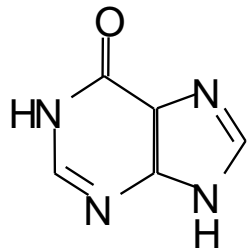
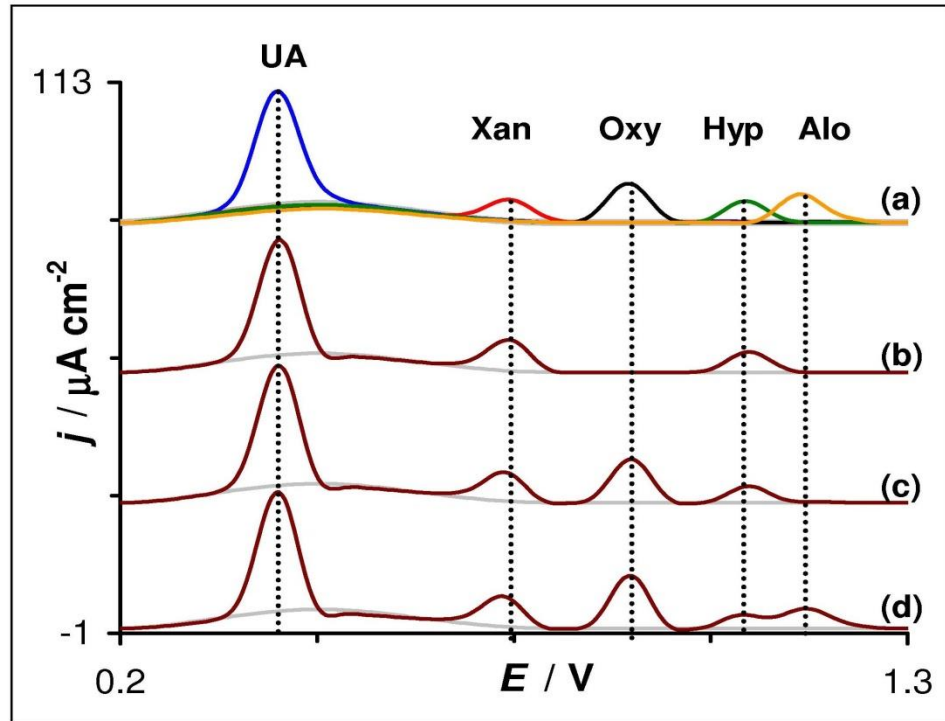
DPV, CPE

5  $\mu$ A

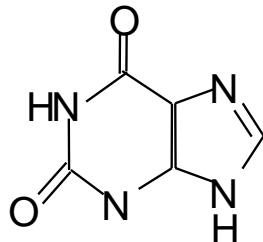


0,20 0,45 0,70 0,95 E / V 1,10

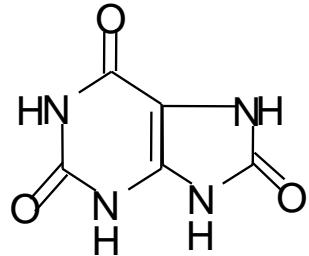
el



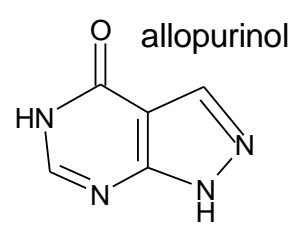
hypoxanthine



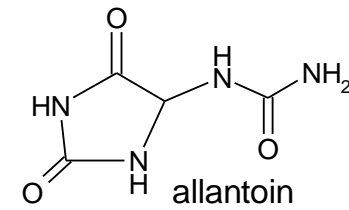
xanthine



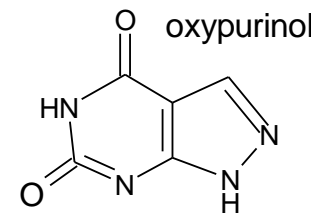
2,6,8 - trihydroxypurin



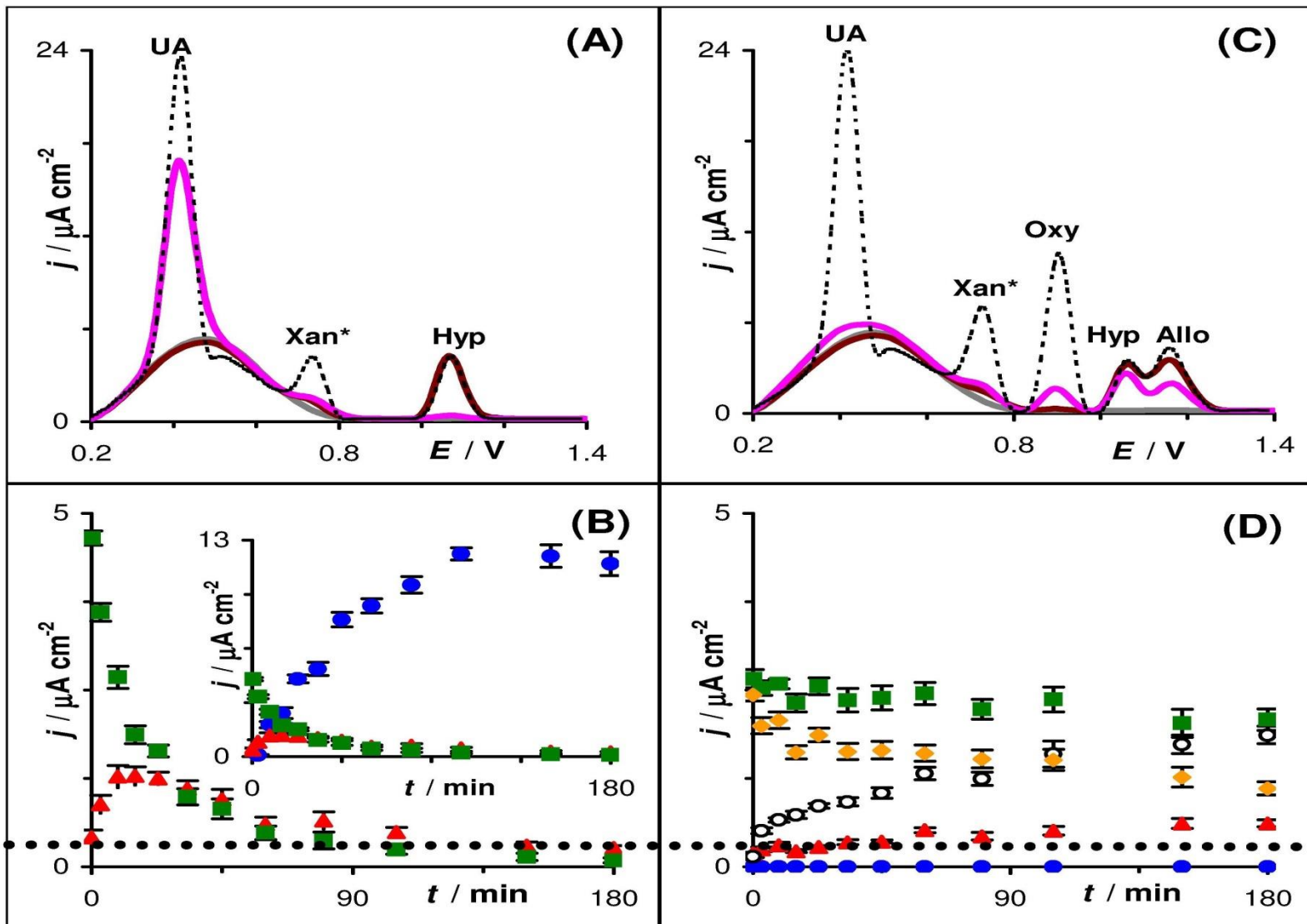
allopurinol

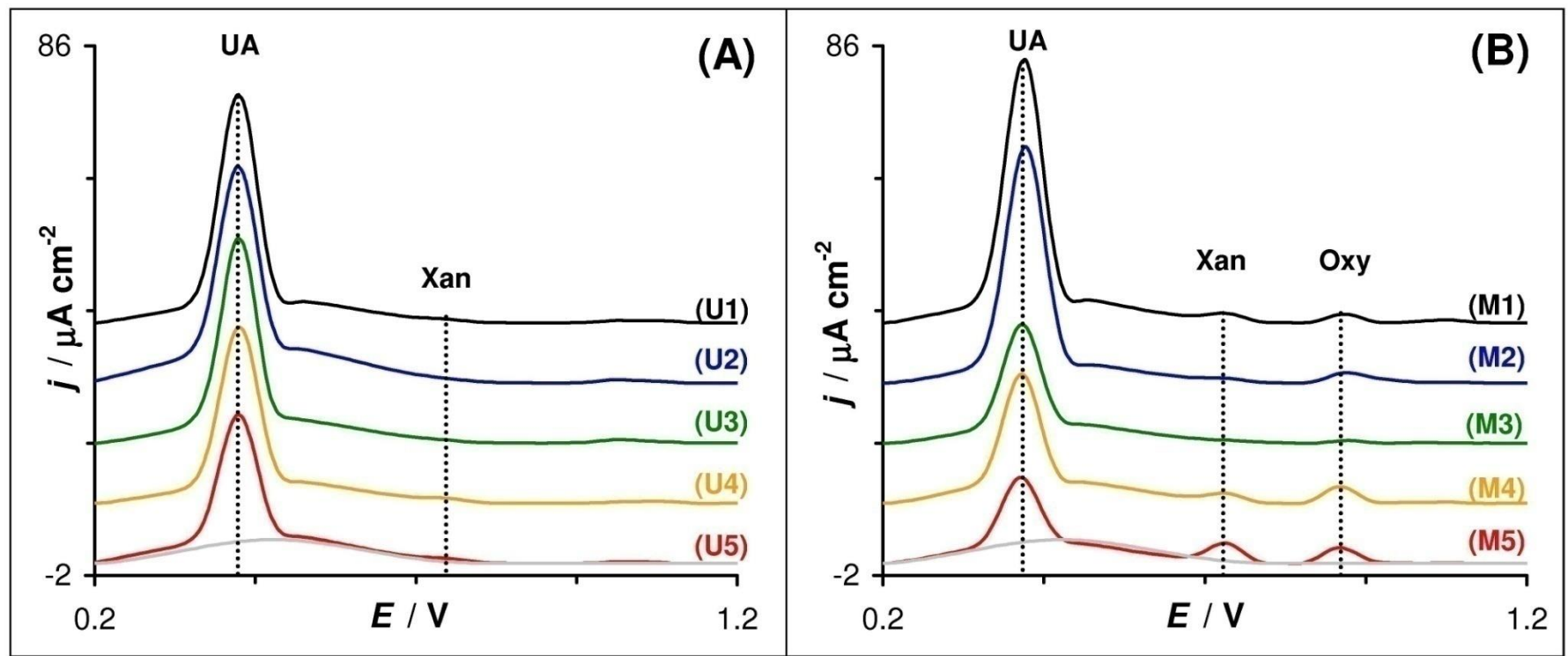


allantoin



oxypurinol





Potraviny	Obsah purinů (mg/100g)	Potraviny	Obsah purinů (mg/100g)
Maso, uzeniny		Celozrnný chléb	14
Hovězí	40	Bílé pečivo	8
Telecí	40	Ovesné vločky	30
Vepřové	48	Brambory, luštěniny, zelenina	
Skopové	46	Brambory	6
Kuřecí	40	Čočka	70
Králičí	38	Hrách	45
Zvěřina	35-39	Fazole	44
Šunka	24	Celer	10
Anglická slanina	25	Cibule	1
Vnitřnosti		Fazolové lusky	5
Játra	95	Zelený hrášek	80
Ledvinky	80	Chřest	14
Jazyk	55	Kapusta	6
Telecí brzlík	400	Kedlubny	5
Ryby		Květák	10
Kapr	54	Mrkev	2
Losos	22	Okurky	3
Pstruh	56	Pór	3
Sardinky	120	Rajčata	4
Sled'	69	Reveň	4
Štíka	48	Ředkvičky	6
Mléko, vejce		Řepa červená	5
Mléko	1	Salát hlávkový	5
Vejce	2	Špenát	23
Bílek	1	Zeli bílé	5
Žloutek	5	Zelí červené	8
Tuky, ořechy, kakao		Houby	5
Kakaový prášek	1900	Ovoce	
Mandle	9	Borůvky	2
Lískové ořechy	10	Hrušky	1
Vlašské ořechy	8	Jablka	1
Mouka, pekárenské výrobky		Jahody	5
čokoláda		černá růže	

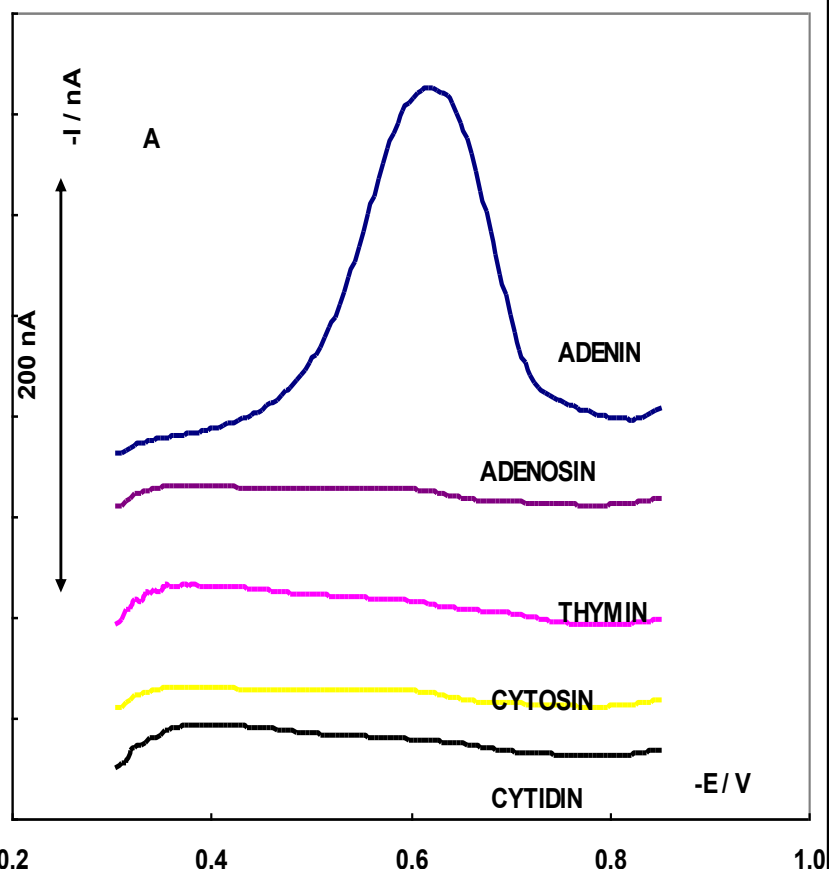
## ANALÝZA BÁZÍ V PŘÍTOMNOSTI Cu(II)

Je-li Cu(II) redukována na Cu(I) v přítomnosti **purinových bází** jako je adenin nebo guanin, Cu(I) reaguje s těmito bázemi a tvoří komplexy, které se akumulují na povrchu rtuťové nebo uhlíkové elektrody.

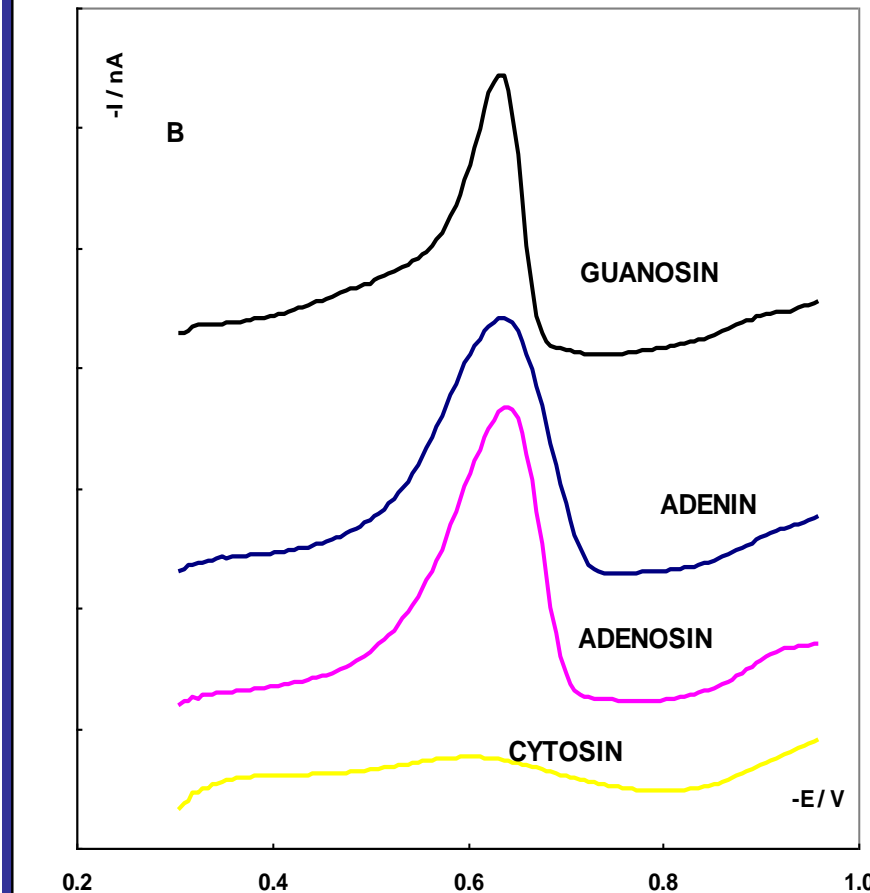
Cu(I) v komplexu se může **redukovat na Cu(0)** za použití katodické rozpouštěcí voltametrie a rtuťové elektrody, nebo **oxidovat na Cu(II)** za použití anodické rozpouštěcí voltametrie a uhlíkové elektrody.

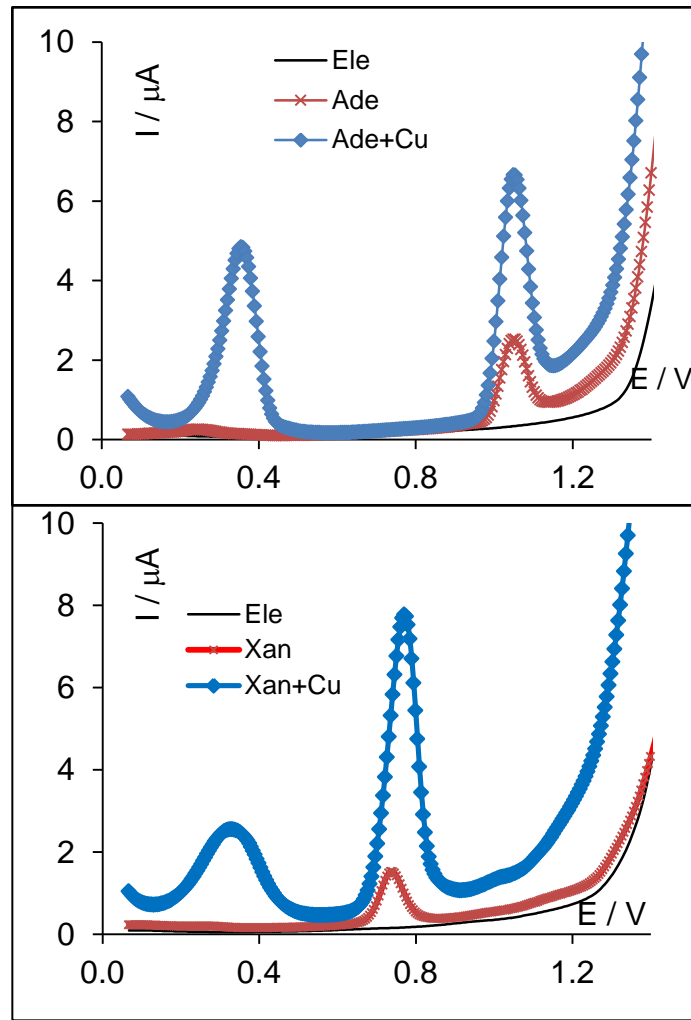
V obou případech výška voltametrického signálu je závislá na množství purinových bází v roztoku, koncentraci Cu (II), akumulačním potenciálu a době akumulace.

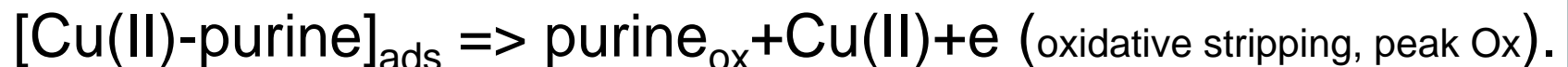
### NEHYDROLYZOVANÉ BÁZE A NUKLEOZIDY



### HYDROLYZOVANÉ BÁZE A NUKLEOZIDY

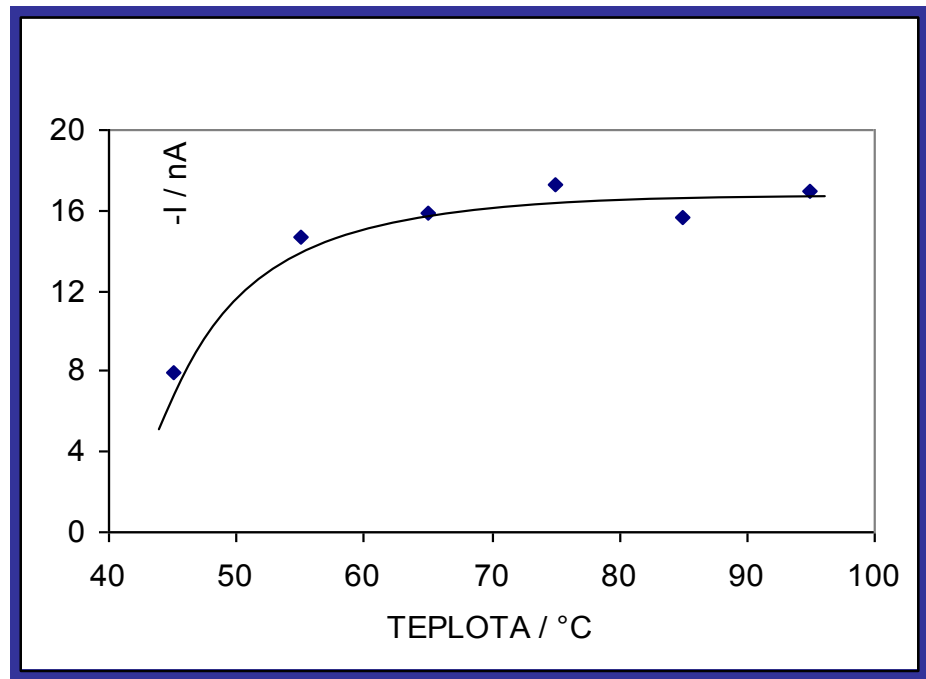
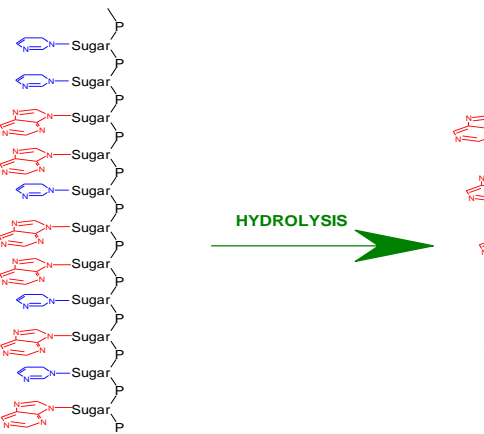




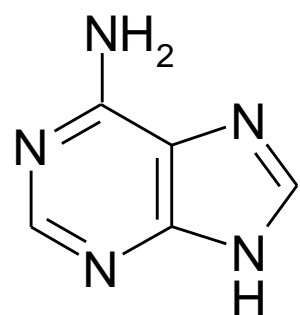


## HYDROLÝZA DNA, OLIGONUKLEOTIDŮ, NUKLEOTIDŮ A NUKLEOSIDŮ

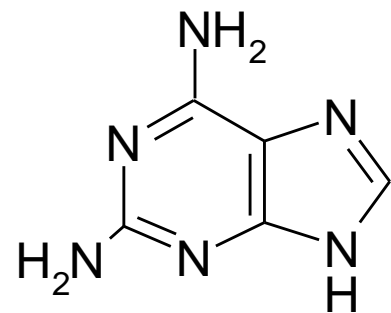
Hydrolýza DNA, oligonukleotidů a nukleozidů se provádí přidáním 20  $\mu\text{l}$  of 1 M kyseliny chloristé ke stejněmu objemu těchto láték, jejichž koncentrace byla 4  $\mu\text{M}$  (vztaženo na monomerní jednotku) a zahřátím na 75 °C po dobu 30 min. Po vychlazení, jsou vzorky neutralizovány NaOH a přídavky smíchány se základním elektrolytem a provedeno voltametrické měření. Závislost voltametrického signálu na teplotě je ukázána níže.



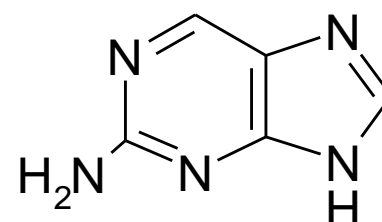
## Deriváty PUR



6-amino-purine

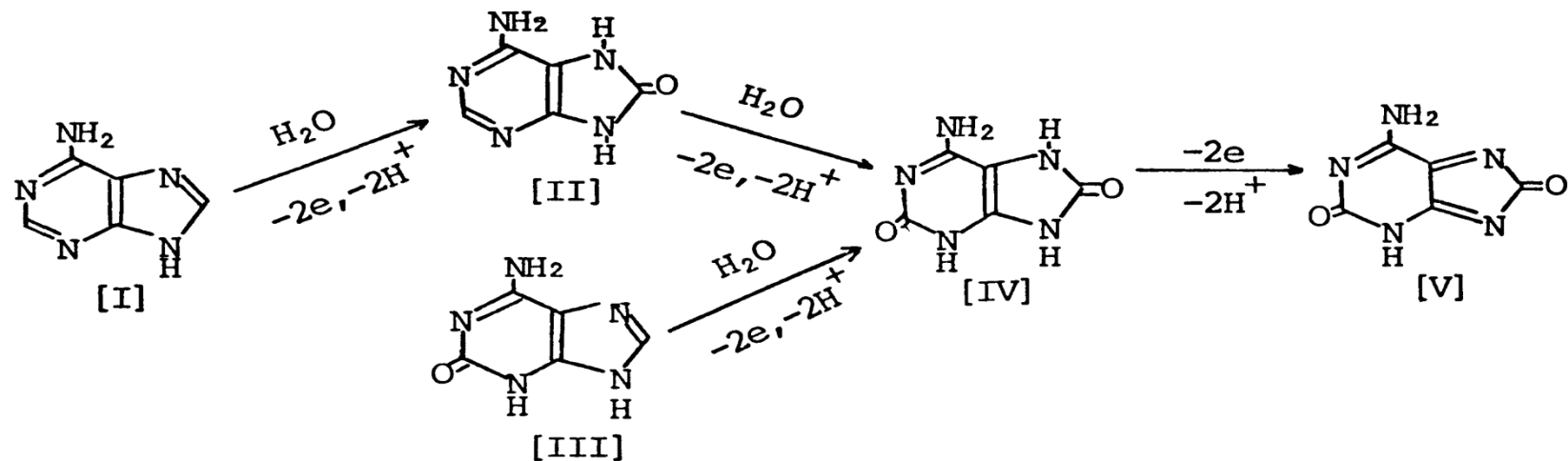


2,6-diamino-purine

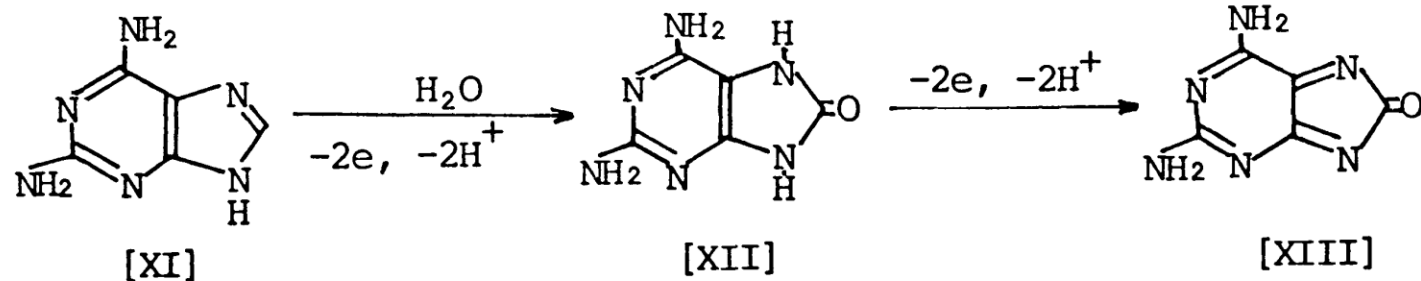


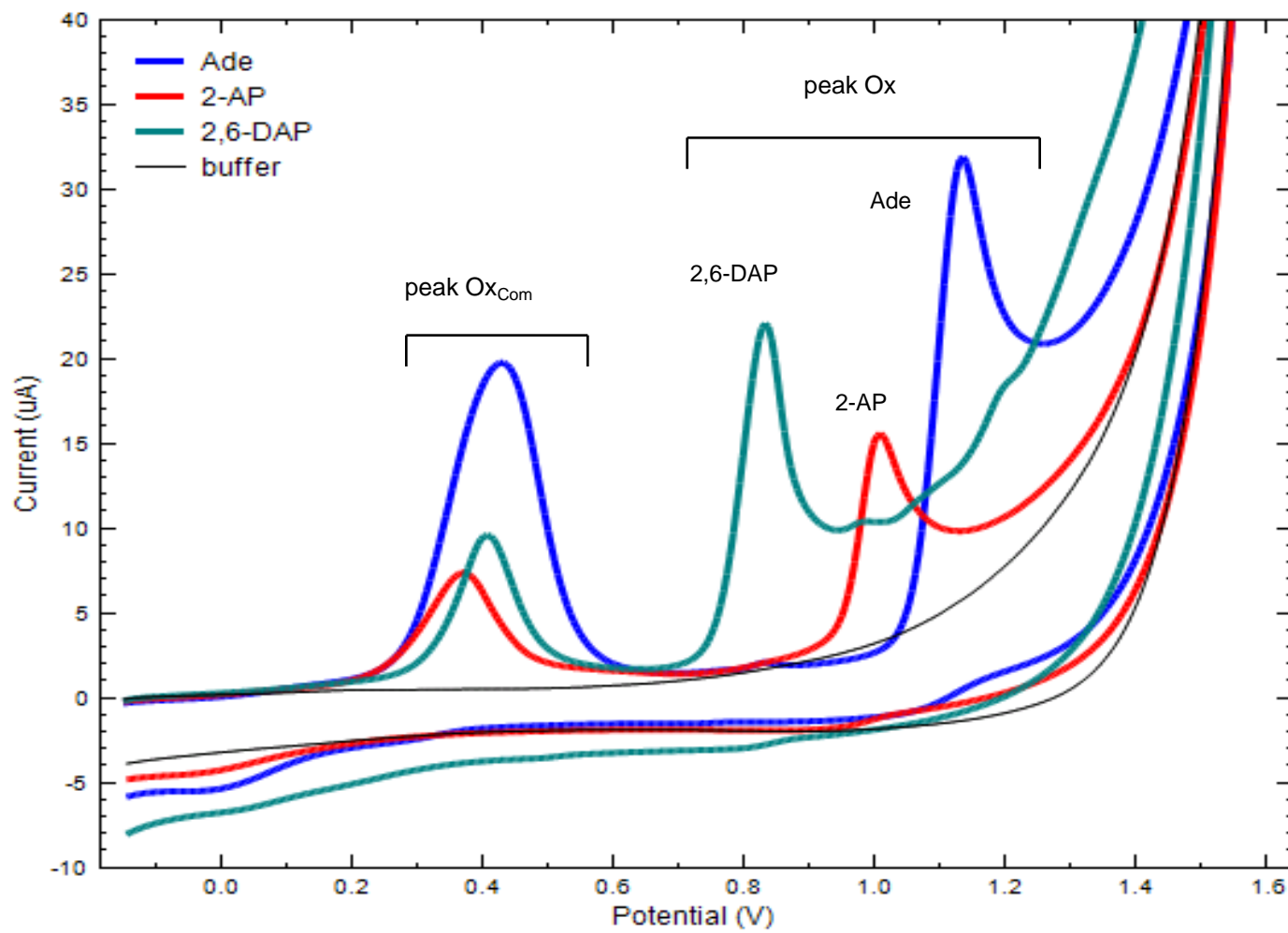
2-amino-purine

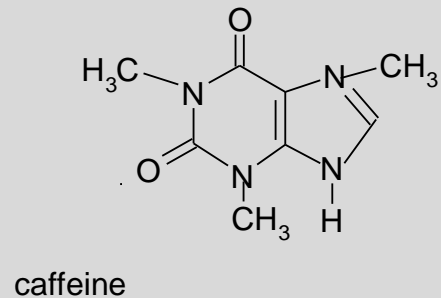
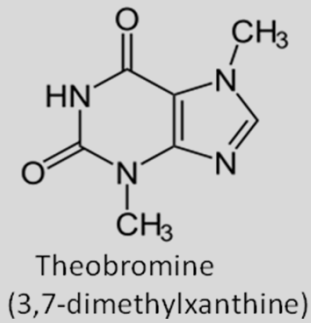
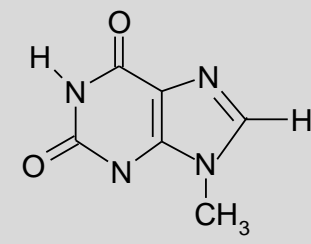
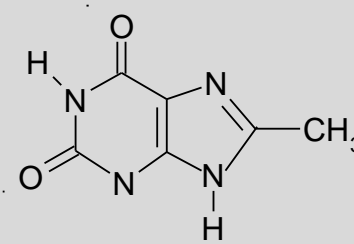
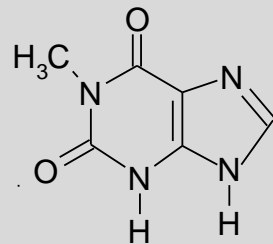
C



[VIII]







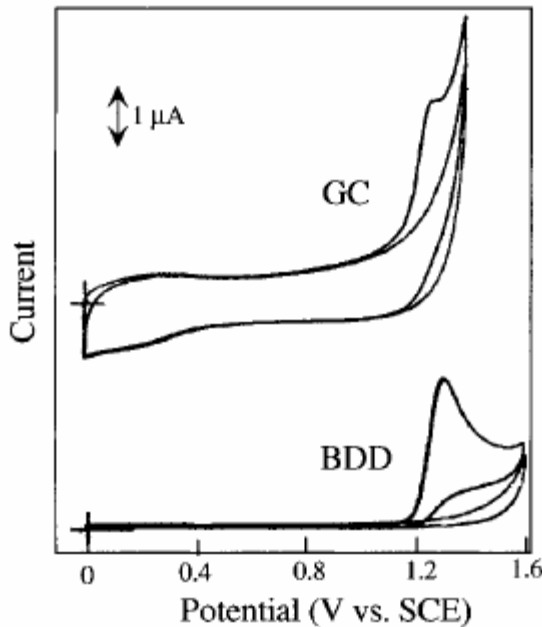
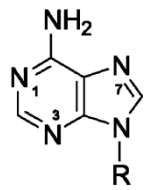
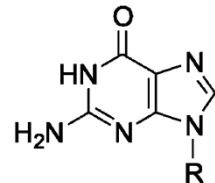


Fig. 1. Cyclic voltammograms for theophylline at a) BDD electrode and b) GC electrode at pH 1.8. Concentration, 50  $\mu\text{M}$ ; sweep rate, 20  $\text{mV s}^{-1}$ .

Compound	pH range	$E_p$ [V vs. SCE]	$R^2$
Xanthine	1.8–8.0	1.18–0.071 pH	0.9811
	9.0–12.0	0.65–0.043 pH	0.9819
Theophylline	1.8–9.0	1.3–0.052 pH	0.9763
	9.0–12.0	0.93–0.040 pH	0.9765
Theobromine	1.8–8.9	1.47–0.032 pH	0.9791
Caffeine	1.8–7.5	1.47–0.19 pH	0.9788



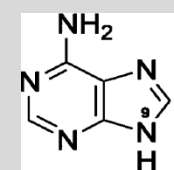
A



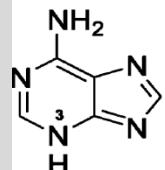
G

$$\Delta G = -RT \ln K_t$$

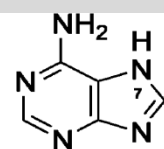
$$\Delta G = -nFE$$



9H – amino

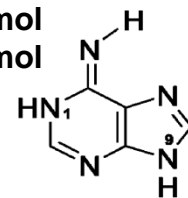


3H – amino



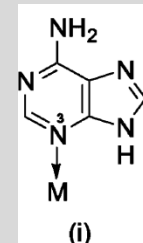
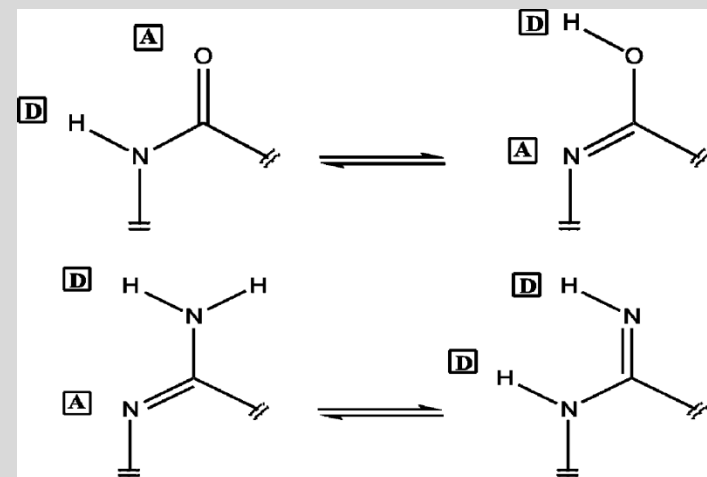
0  
~31 kJ/mol  
~ 35 kJ/mol  
~ 52 kJ/mol

7H – amino

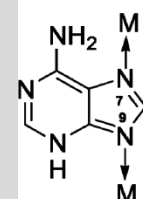


1H, 9H – imino (*anti*)

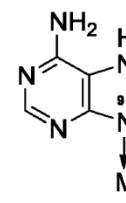
U nukleobazí je běžná prototropní tautomerie typu **keto - enol a amin - imin**



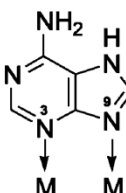
(i)



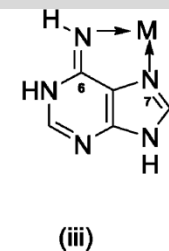
(iv)



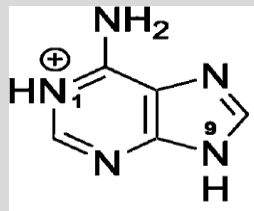
(ii)



(v)



# ADENIN



1H, 9H

0

(i)



3H, 7H

1.9 kJ/mol

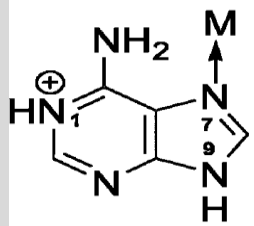
(ii)



3H, 9H

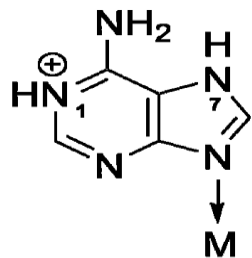
8.2 kJ/mol

(iii)



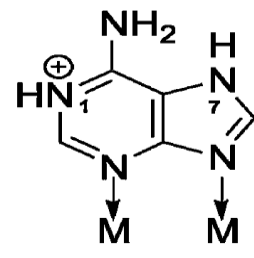
1H, 9H

(iv)



1H, 7H

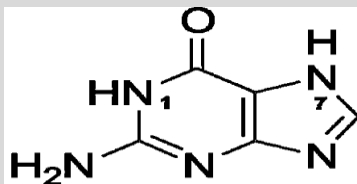
(v)



1H, 7H

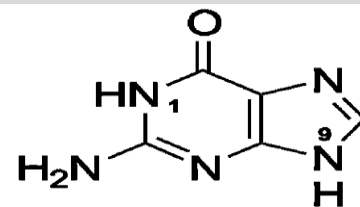
(vi)

## GUANIN



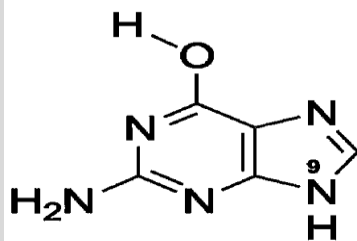
1H, 7H – keto

(i)



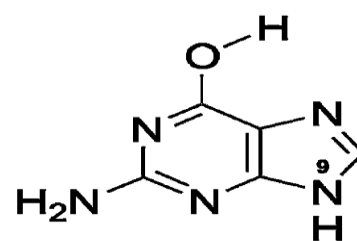
1H, 9H – keto

(ii)



6H, 9H – enol (*trans*)

(iii)

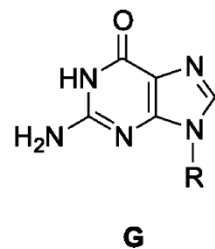
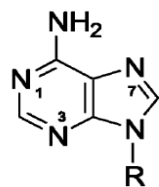


6H, 9H – enol (*cis*)

(iv)

## Protonace vs deprotonace

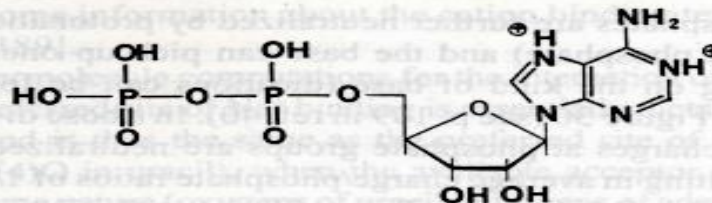
BÁZE	POLOHA	pKa	
ADENIN	N1	4.1	
	N9	9.8	
HYPOXANTIN	N7	1.9	
	N1	8.8	
GUANIN	N7	3.3	
	N1	9.4	



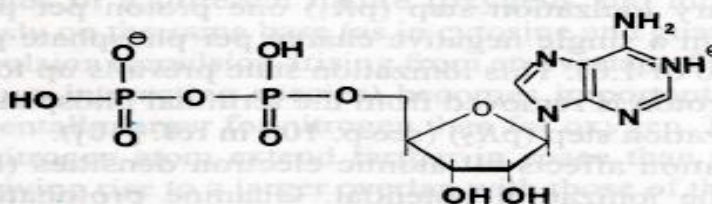
Base	Dication	pK <sub>1</sub>	Cation	pK <sub>2</sub>	Neutral
Ade	N1, N7	-0.35	N1	4.19	
Gua		0	N7	3.2	
Cyt		-	N3	4.5	
Thy		-	C4O	0	
Ura		-	C4O	0.5	

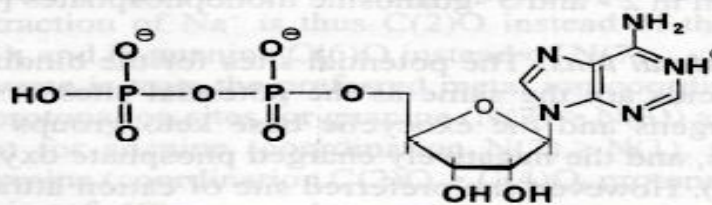
	Neutral	pK <sub>3</sub>	Anion	pK <sub>4</sub>	Dianion
Ade		9.8	N9	-	
Gua		9.6	N1/C6O	12.5	N1/C6O, N9
Cyt		12.2	N1/C2O	-	
Thy		9.8	N1/C2O or N3/C4O	13	N1/C2O and N3/C4O
Ura		9.5	N1/C2O or N3/C4O	13	N1/C2O and N3/C4O



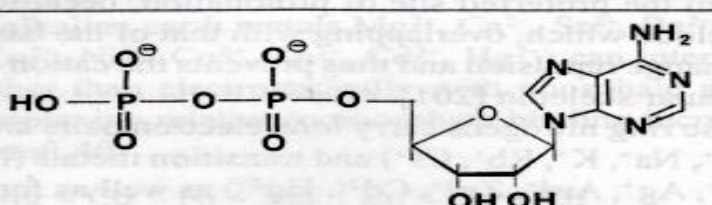
pH < 1



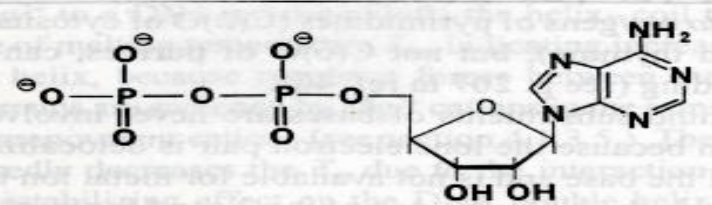
pH < 2



pH 3.8



pH 6.8



pH ~12.5